

## О б о з н а ч е н и я

УДК 530

$e$	- заряд электрона,	$e = 4,8 \cdot 10^{-10}$ ед. СИ
$\hbar$	- постоянная Планка,	$\hbar = 1,05 \cdot 10^{-27}$ эрг.сек
$c$	- скорость света,	$c = 3 \cdot 10^{10}$ см/сек
$\alpha$	= $e^2/hc = 1/137$ - постоянная тонкой структуры	
$A_e$	= $\hbar/mc = 3,8 \cdot 10^{-11}$ см - комptonовская длина волны электрона	
$M_B$	- магнетон Бора;	$J_B = \frac{e\hbar}{2mc} = 0,57 \cdot 10^{-8}$ Гаусс
$M_A$	- ядерный магнетон,	$M_A = \frac{m}{M_p} J_B$
$a_B$	= $\hbar^2/mc^2$ - Боровский радиус, $a_B = 0,5 \cdot 10^{-8}$ см	
$U(\vec{r})$	- масса частиц $m$ , $M$ , (электрона $m$ , протона $M$ )	
$U(r)$	- потенциал, $\vec{K}, \vec{S}, \vec{A}$ - электромагнитные поля	
$H$	- оператор энергии (гамильтониан) и энергия	
$\Gamma$	- матрица Паули	
$L; P; J$	- оператор момента или его собственное значение	
$S_i$	- импульс (оператор или собственное значение)	
$\varphi$	- момент и четность состояния (частины)	
$\vec{r}$	- сферические координаты	
$\chi_m(\vec{r})$	- единичный вектор	
$C_{ij}^{JM}$	- сферические функции	
$\delta_{ik}$	- символ Кронекера	
$\varepsilon_{ijk}$	- единичный антисимметричный тензор $\epsilon_{ijk}, \epsilon = 1,2,3$	
$\varepsilon^{ijk}$	- то же в четырехмерном случае ( $\varepsilon^{ijk} \neq 0,1,2,3$ )	
$\chi = mc^2/h^2$	- константа (используется в § 3)	
$\rho_0, \varepsilon_0$	- импульс и энергия ферми (в § 9)	
	В § 4 момент измеряется в единицах $t_1$ .	

Сборник задач по квантовой механике,  
учебное пособие для студентов физико-  
математического факультета, ИГУ, 1974, I-16.

В этом выпуске собраны задачи, которые рассматривались на семинарах и предлагались (как задания) для самостоятельного решения студентам Физического факультета ИГУ в 1963-1973 гг. Чтобы сохранить эти задачи для самостоятельной работы и в дальнейшем, мы отказались от традиции приводить в сборнике развернутые решения и сделали сборник более цельным и некоторыми указаниями. Чтобы неарх, в него включены также некоторые задачи из уже ставших классическими (и редких) задачников Котана и Галицкого, Гольдмана и Крыжановского. Тем не менее, мы надеемся, что часть задач носит оригинальный характер, хотя и здесь говорить об авторстве трудно. Сборник подготовили Альстуль Л.Н., Зелевинский В.Г., Котан Г.Л., Сербо В.Г., Хейфер С.А., Хриллович И.Б., Черняк В.Л.

Предполагалось, что читатель знаком с квантовой механикой по книгам Ландау и Лифшица, Давыдова или "Квантовая лекция по квантовой механике" (изд. ИГУ, 1970) Б.Г. Зелевинского.

© Новосибирский государственный университет . 1974

## ОТЛАВЛЕНИЕ

			Задачи	Ответы
Ангтул § 1.	Основные принципы квантовой механики.	5	60	
Хайфуз § 2.	Операторы, теория представлений.	8	62	
Кофгин § 3.	Уравнение Шредингера (одномерный случай)	II	65	
Зеффински § 4.	Литовой момент и спин	19	69.	
Альфун § 5.	Уравнение Шредингера (трехмерный случай)	24	81	
Сербо § 6.	Приближенное метод (теория возмущения, квазиклассическое приближение, вариационный метод)	26	83	
Чирикис § 7.	АТОМ. МОЛЕКУЛА	31	87	
Чернум § 8.	Излучение	35	91	
Зеффин § 9.	Системы многих тел.	40	99	
Хайроп § 10.	Рассеяние	44	105	
Хричев. § 11.	Уравнение Дирака.	52	112	
Хричев. § 12.	Изотопический спин, различные правила отбора, простейшие сценки в квантовой электродинамике	55	114	
Литература			115	

## § I. Основные принципы квантовой механики

1. Найти красную границу фотoeffекта для калия, если работа выхода электронов  $A = 2,15 \text{ эВ}$ .
2. Оценить относительную величину  $\Delta\omega/\omega$  красного смещения излучения, приходящего на Землю с а) поверхности Солнца; б) поверхности нейтронной звезды, имеющей массу такого же порядка, как Солнце, и радиус  $R \sim 10 \text{ км}$ .
3. В опытах Планда и Ребеко по исследованию смещения частоты излучения в гравитационном поле Земли источник располагался на расстоянии 22 м от приемника по вертикали. Оценить величину смещения  $\zeta$  - линии Fe 57 (14,4 кэВ) в этих условиях.
4. Используя принцип соответствия, оценить время жизни возбужденного атома водорода в нижних состояниях, из которых возможны дипольные переходы.
5. Как изменяется энергия медленных ( $E < 0,01 \text{ эВ}$ ) нейтронов при их рассеянии в ядровом гелии в зависимости от угла рассеяния?
6. Быстрые электроны при движении в среде могут излучать электромагнитные волны (эффект Вавилова-Черенкова). Найти зависимость частоты излучения от угла, если начальная скорость электрона имеет определенное значение.
7. Считая, что частота излучаемых системой квантами совпадает с частотой её периодического движения по классической траектории, и учитывая соотношение  $E = \frac{1}{2}m\omega^2 r^2$ , связывающее энергию и частоту квантов, показать, что адизватический инверсиянт  $J = \hbar P d\phi / dr$  должен отличаться на различных орбитах на величину, кратную  $2\pi k$ .
8. С помощью правил квантования Бора - Зоммерфельда найти энергетический спектр:
  - а) одномерного осциллятора;
  - б) частицы в сфереически симметричной потенциальной яме;
  - в) атома водорода.
9. Оценить число связанных состояний в потенциале Рене  $U = -\frac{q^2}{r} e^{-r} (-\frac{r}{r_0})$ .

10. В одном из опытов Дэвиссона и Джонса по отражению электронов от монокристалла никеля максимум 4-го порядка наблюдался в направлении, составляющем угол  $\vartheta = 55^\circ$  к нормальному направлению.

В чистоте, при нормальном падении электронов с энергией 180 эв. Вычислить соответствующее минимальное расстояние. Под каким углом к поверхности ориентирована плоскость? Насколько монодромичным должен быть пучок, чтобы этот максимум можно было разрешить?

II. "Траектории" электронов с энергией 1 кэв очертиваются в камере Вильсона цепочкой малых капель тумана с диаметром порядка 1 мк. Не противоречит ли это утверждению об отсутствии траекторий у квантовой микрочастицы?

12. При коллимиации пучка монодромических частиц с импульсом  $p$  возникает неопределенность поперечной составляющей импульса  $\Delta p_x$ . Как эта неопределенность зависит от ширины щели? Рассмотреть предельные случаи очень широкой и очень узкой щели.

13. Лазерный луч с поперечным сечением  $S \sim 1 \text{ см}^2$  направлен в сторонуближайшей звезды  $\lambda$ -Центавра, находящейся на расстоянии  $\ell \sim 4$  световых лет. Предполагая, что луч имеет минимальное расхождение, оценить вероятность, с которой фотон попадает на звезду, если её диаметр  $d \sim 10$  км.

14. Иглу, массой 1 г и длиной  $\ell \sim 1 \text{ см}$ , имеющей острие толщиной  $d \sim 1 \text{ мк}$ , устремили вертикально острием не плоское основение и отпустили. Оценить, в течение какого максимального времени игла может удерживаться в вертикальном положении.

15. Может ли электрон стационарно находиться внутри ядра?

16. Оценить относительную ширину  $\Delta \omega / \omega$  линии Лейманновской серии в атоме водорода.

17. Объяснить, почему некоторые спектральные линии, излучаемые нагретым газом, исчезают по мере увеличения плотности газа. Определить, при какой плотности водорода в его эмиссионном спектре исчезнут линии, обусловленные квадрупольными и магнитодипольными переходами, если температура  $T \sim 1000^\circ$ .

18. Подобно тому, как кванты электромагнитного поля - фотоны, ответственные за электромагнитные взаимодействия, кванты поля ядерных сил -  $J$ -мезоны, обуславливают ядерные взаимодействия. Радиус действия ядерных сил  $r \sim 10^{-13} \text{ см}$ . Оценить массу  $J$ -мезона.

19. Доказать, что в одномерной потенциальной яме произвольной глубины существует хотя одно связное состояние, в

то время, как в трехмерном случае - лишь при достаточноной глубине ямы.

20. Объяснить, почему пучок нейтронов в неоднородном магнитном поле расщепляется на два пучка с различными проекциями магнитного момента, а пучок протонов не расщепляется. Как в этом отношении ведут себя ионы?

21. Найти средний импульс и неопределенности координат и импульсов у частицы в состояниях с волновыми функциями:

$$\text{а) } \psi = C \exp(i\kappa x - x^2/\alpha^2);$$

$$\text{б) } \psi = C/(x^2 + \alpha^2);$$

$$\text{в) } \psi = \begin{cases} C & \text{при } |x| < \alpha/2 \\ 0 & \text{при } |x| > \alpha/2 \end{cases}.$$

22. Оценить с помощью состояния неопределенности энергии основного состояния для:

$$\text{а) частицы в одномерном потенциале } U = d \times x^4;$$

б) осциллятора;

в) атома водорода.

23. Определить уровни энергии и нормированные волновые функции частицы, находящейся в одномерной потенциальной яме с бесконечными стенками. Объяснить, таким образом происходит переход к описанию движения частицы по траектории в квазисистеме предела (построить пример соответствующего состояния).

24. Для частицы, находящейся в стационарном состоянии в одномерной глубокой прыгательной потенциальной яме, найти:

а) распределение вероятности по импульсам;

б) средние значения координаты и импульса;

в) неопределенности координат и импульсов.

25. Частица находится в стационарном состоянии в бесконечно-глубокой прыгательной одномерной потенциальной яме. Найти, по глубине, с которой она действует на стенки ямы.

26. Найти изменения со временем волнового пакета, описываемого свободной нерелятивистской частицей и имеющего в начальный момент вид:

$$\text{а) } C \exp(i\kappa x - x^2/\alpha^2);$$

$$\text{б) } \begin{cases} C & |x| < \alpha/2 \\ 0 & |x| > \alpha/2 \end{cases}.$$

Найти изменение неопределенности координат.

27. Найти закон пребразования волновой функции при преобразовании Галилея.

28. Определить потенциал  $U_a(x)$  соотношением:

$$U_a(x) = \begin{cases} U(x), & |x| < a, \\ \infty, & |x| > a. \end{cases}$$

Показать, что энергия основного состояния частицы в поле  $U_{a_1}$  не больше, чем в поле  $U_{a_2}$ , если  $a_1 > a_2$ .

29. Доказать, что из двух стационарных состояний, отвечающих одномерному движению частицы в потенциальном поле, большей энергией обладает то, волновая функция которого имеет больше нулей (осцилляционная теорема).

## § 2. Операторы, теория представлений

I. Указать, каким из операторов: энергии  $H$ , момента  $\vec{P}$ , импульса  $\vec{p}$ , четности  $L_z$ , будут соответствовать интегралы движения в следующих полях:

- а) свободное движение;
- б) поле однородного шара;
- в) поле бесконечного однородного цилиндра;
- г) поле бесконечной однородной плоскости;
- д) однородное переменное поле.

? Коммутирует ли гамильтониан, описывающий движение частицы в бесконечно глубокой прымогутной яме с оператором импульса? Будет ли собственная функция гамильтониана собственной функцией оператора импульса?

? Показать, что свойство эрмитовости операторов и их коммутационные соотношения не зависят от представления.

4. Является ли оператор  $\frac{d}{dx}$  эрмитовым на классе непрерывных, квадратично интегрируемых с весом единице функций на интервале  $-\infty < x < \infty$ ?

5. а) операторы  $\ell_x$ ;  $\ell_y$  не коммутируют. Однако в состоянии момента  $\ell = c$   $\langle \ell_x \ell_y \rangle = \langle \ell_y \ell_x \rangle$ . Есть ли здесь противоречие?

б) коммутатор  $\{\ell_x \ell_y\} = -\ell_z$ . В то же время в состоянии с определенной проекцией момента  $\ell_z$  неопределенность  $\Delta \varphi \leq 2\pi$ .

Если ли здесь противоречие с соотношением неопределенностей?

6. Операторы  $A$ ,  $B$ ,  $C$  попарно коммутируют  $[A, B] = [B, C] = 0$ . Будут ли коммутировать операторы  $A$ ,  $C$ ?

7. Коммутатор двух эрмитовых операторов равен  $AB - BA = C$ . Как связаны их средневзвешенные средние значения?

8. Доказать тождество:

$$e^{i\theta \vec{B}\vec{a}} = C_{\theta}(\vec{a}) + i\vec{B}C_{\theta}(\vec{a}),$$

$|B| = 1$ ,  $C_{\theta}(\vec{a})$  — интегриал Пуассона;

$$6) \quad e^A B e^{-A} = B + [A, B] + \frac{i}{2} [A [A, B]] + \dots;$$

$$v) \quad e^A e^B = e^{A+B+C}, \text{ где } C = \frac{i}{2} [A, B],$$

если  $[A, C] = [B, C] = 0$ .

9. Доказать тождество

$$\vec{R} e^{i\varphi \vec{n} \vec{S}} \vec{p} e^{-i\varphi \vec{n} \vec{S}} = (\vec{p} \vec{n})^2 + (\vec{p} \times \vec{n})^2 \cos \varphi,$$

где  $\vec{n}$  — единичный вектор,  $\vec{S}$  — оператор момента. Каков геометрический смысл этого тождества?

10. Представить следующие операторы в виде ряда по  $\vec{B}$

$$a) (\hat{A} + \hat{B})^{-1}; \quad b) \exp \{-i(\hat{A} + \hat{B})\}.$$

II. б) Доказать дипольное правило суммы

$$\rho'_1 \equiv \frac{2\pi}{\hbar^2} \sum_n | \langle n | \chi / \omega \rangle |^2 / (E_n - E_0) = 1, \text{ где } \chi / \omega = \chi / \omega_0;$$

б) вычислить строку

$$S_2 \equiv \frac{2\pi}{\hbar^2} \sum_n | \langle n | \chi / \omega \rangle |^2 (E_n - E_0)^2.$$

Для потенциала  $U = \epsilon \vec{z}^{-m}$  выразить ответ через энергию состояния  $E_n$ .

12. В координатном представлении найти оператор  $P^{-1}$ , обратный оператору импульса  $P$  (в одномерном случае).

13. Частица движется в периодическом поле  $U(x+\alpha) = U(x)$ . Коммутирует ли оператор сдвига  $T_{\alpha}$  на период поля  $T_{\alpha}$  с гемимультиплоном?

Определить возможные собственные значения оператора сдвига  $T_{\alpha}$ .

14. Построить квантовый аналог вектора Рунге-Ленца  $\vec{A} = -\sqrt{\epsilon} (\vec{p} \times \vec{r}) - \epsilon \vec{r} / 2$ , сохраняющегося в классической механике при движении в кулоновском поле  $U = -\epsilon / r$  (Ландau Л.Д., Лиф-

шиц Е.М., Механика [2], стр.53]. Получить коммутационные соотношения компонент этого оператора между собой и с оператором момента. Доказать  $\hat{U}\hat{A} = 0$ .

15. В центрально-симметричном поле построить оператор, соответствующий радиальному компоненту импульса. Проверить его арифметичность.

16. Построить явное выражение для операторов а) пространственной четности; б) обмена координат двух частиц.  $\hat{Z}_{1,2} \leftrightarrow \hat{Z}_{3,4}; \hat{P}_{1,2} \leftrightarrow \hat{P}_{3,4}$  через операторы координат и импульсов.

Указание: сначала доводить для операторов

$$a_n = \frac{1}{\sqrt{2}} (Z_{n+1} + i P_n), \quad a_n^* = \frac{1}{\sqrt{2}} (Z_{n-1} - i P_n), \quad n = 1, 2, 3,$$

утверждение: если некоторое унитарное преобразование  $\hat{O}$  преобразует  $a_n \rightarrow a'_n = \hat{O} a_n \hat{O}^{-1} = R_{kk'} a_{k'}$ , то

$$\hat{O} = e^{i \hat{K} \delta - i \int \sin \theta d\theta}, \quad \hat{K} = \int \omega_0 = \int \omega_0 d\theta.$$

17. Гамильтониан частицы в электромагнитном поле имеет вид  $H = \frac{1}{2m} (\vec{P} - e\vec{A})^2 + e\phi(\vec{r})$ ,  $\vec{P} = -i\vec{\nabla}$ . Найти

а) выражение для оператора скорости  $\vec{J}_1$ ;

б) коммутационные соотношения для компонент скорости  $\vec{V}_1$

в) уравнение для  $\omega_0$  (операторный аналог уравнения Ньютона);

г) показать, что в однородном магнитном поле  $\vec{J}_1$  оператор

$$x_0 = x + \frac{i}{\omega_0} \omega_0 t, \quad j_0 = j - \frac{i}{\omega_0} \omega_0 t, \quad \omega_0 = eK/kc.$$

сохраняется величину.

18. Гамильтониан заряженной частицы с учетом взаимодействия ее магнитного момента с внешним электрическим полем (релятивистический эффект) имеет вид

$$H = \frac{p^2}{2m} + q(\vec{r}) + k_e \vec{r} \cdot \vec{S}, \quad \vec{p} = -i\vec{\nabla}, \quad \vec{S} = \text{оператор спина.}$$

Пусть  $\psi = \psi(x)$ . Найти такое, что в задаче 17. п. а.б.з.

19. Найти  $\vec{J}_1$  и зависимость дисперсии  $\langle \vec{p}_1 \vec{p}_2 \rangle$  от времени в гейзенберговской представлении. В начальный момент форма пакета  $\psi(x, 0) = (2\pi a)^{-1/2} \exp(-\frac{(x-x_0)^2}{2a^2}) + \dots$ . Рассмотреть:

При какой глубине ямы в ней есть  $n$  связанных состояний?

шиц Е.М., Механика [2], стр.53]. Получить коммутационные соотношения компонент этого оператора между собой и с оператором момента. Доказать  $\hat{U}\hat{A} = 0$ .

20. Описать движение частицы в однородном магнитном поле в гейзенберговском представлении.

21. Найти собственные функции оператора  $i\vec{z}/\vec{r}$  в  $x, p$  представлениях.

22. Вычислить  $\langle (\rho x)^n \rangle$ ;  $\langle (\rho p)^n \rangle$  для  $n$ -го состояния гармонического одномерного осциллятора.

23. а) Построить из собственных функций одномерного осциллятора  $|n\rangle = (\hat{a})^n |0\rangle$  собственные функции оператора

$$a = \frac{1}{\sqrt{2m\omega_0}} (mc\hat{x} + \hat{p}),$$

(так называемые когерентные состояния);

б) найти среднее значение гейзенберговского оператора координаты  $\hat{x}(t)$  по этим состояниям;

в) доказать полноту полученной системы функций (хотя функции неортогональны);

г) показать, что вероятности найти систему, находящуюся в когерентном состоянии, в состояниях с определенной энергией распределены по закону Гуассона.

24. Проконтролировать  $\hat{L}_z$  — цепочку с распределенными параметрами.

25. Получить одновременные коммутационные соотношения между квантовыми операторами компонент электрической и магнитной напряженности свободного электромагнитного поля.

### § 2. Уравнение Шредингера (одномерный случай)

1. Найти уровни энергии связанных состояний частицы в поле

$$U(x) = \begin{cases} 0 & \text{при } x < 0 \text{ или } x > a, \\ -V & \text{при } 0 < x < a. \end{cases}$$

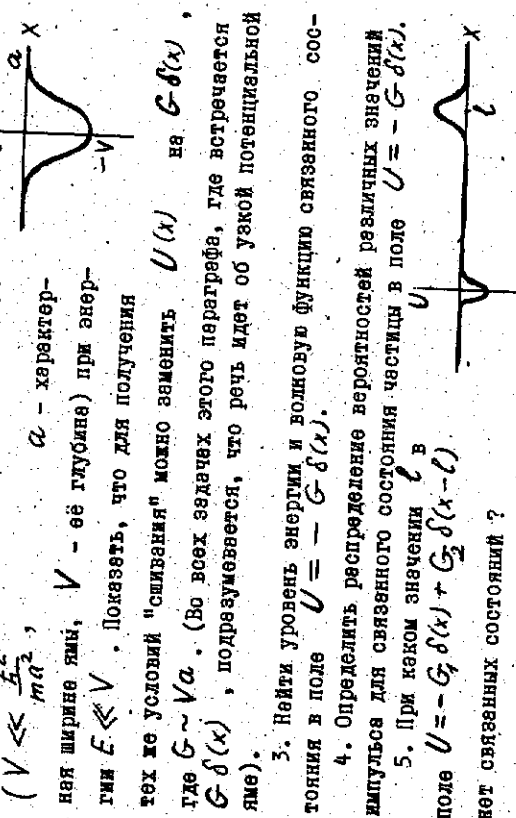
Рассмотреть, в частности, случай  $V \ll \frac{k^2}{ma^2}$ .

При какой глубине ямы в ней есть  $n$  связанных состояний?

Рассмотреть, в частности, случай  $V \ll \frac{k^2}{ma^2}$ .

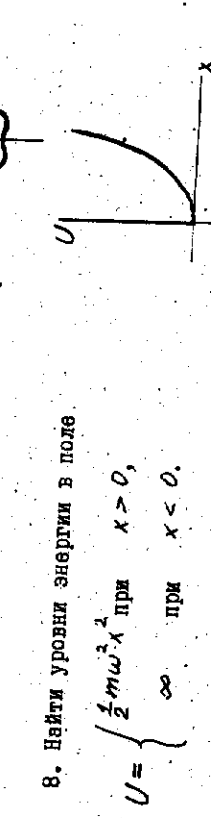
При какой глубине ямы в ней есть  $n$  связанных состояний?

2. Определить правило "сливания" производной волновой функции на краях узкой потенциальной ямы  $U(x)$ ,  
 $(V < \frac{\hbar^2}{m a^2}, \quad V - \text{ её глубина})$  при энергии  $E \ll V$ . Покажете, что для получения
- так же условий "сливания" можно заменить  $U(x)$  на  $G\delta(x)$ , где  $G \sim Va$ . (Во всех задачах этого параграфа, где встречается  $G\delta(x)$ , подразумевается, что речь идет об узкой потенциальной яме).
3. Найти уровень энергии и волновую функцию связанных состояний в поле  $U = -G\delta(x)$ .
4. Определить распределение вероятностей различных значений импульса для связанных состояний частицы в поле  $U = -G\delta(x)$ .
5. При каком значении  $\ell$  в поле  $U = -G_1\delta(x) + G_2\delta(x-\ell)$



6. Частица движется в поле, потенциал которого  $U(x)$  изображен на рисунке. При каком значении  $\ell$  количество связанных состояний в поле  $U$  уменьшается на одно по сравнению с тем, которое было при  $\ell \rightarrow \infty$ ?
- Могут ли быть "вытеснены" из ямы два уровня?
7. Какова четность основного состояния в симметричной потенциальной яме  $U_{-y} = U(y)$ ?

8. Найти уровни энергии в поле
- $$U = \begin{cases} \frac{1}{2}m\omega_x^2 x^2 & \text{при } x > 0, \\ \infty & \text{при } x < 0. \end{cases}$$
7. Какова четность основного состояния в симметричной потенциальной яме  $U_{-y} = U(y)$ ?



9. Найти уровни энергии и волновые функции частицы в поле
- $$U = -G\delta(x+l) - G\delta(x-l)$$
- при
- $$\ell \Rightarrow \frac{\hbar^2}{mG}$$
- Найти силы, действующие на каждую из ям.
10. Определить  $\psi(x, t)$  (зад. 9), если при  $t < 0$  между ямами была непроницаемая перегородка и частица находилась в стационарном связанным состояниям обеих ям.
- Найти силу, действующую на левую яму, в зависимости от времени.
11. Определить распределение вероятностей различных значений импульса для связанных стационарных состояний в ямах.
12. Найти уровни энергии и волновые функции частицы в поле
- $$U = G\delta(x) + V(x)$$
- $V(x) = \begin{cases} \infty & \text{при } |x| > a, \\ 0 & \text{при } |x| < a. \end{cases}$
13. При какой ширине  $2a$  потенциального ящика исчезает отраженный уровень энергии в поле  $U = -G\delta(x) + V(x)$ ,
- $V(x) = \begin{cases} \infty & \text{при } |x| > a, \\ 0 & \text{при } |x| < a. \end{cases}$
14. Найти уровни энергии и волновые функции частицы в поле
- $$U = \begin{cases} \infty & \text{при } |x| > a+\ell, \\ 0 & \text{при } |x| < a. \end{cases}$$
- Ограничиться наименее уровнями.
15. Определить вид оператора  $\hat{U} = -G\delta(k)$  в импульсном представлении.
- Найти уровни энергии и волновые функции связанных состояний в поле  $U = -G\delta(x)$ , решая задачу в импульсном представлении.

16. Найти уровень энергии в поле  
 $U = -G\delta(x) - G\delta(x-\ell)$ ,

рассчитав в импульсном представлении.

17. Найти уровень энергии и волновые функции частицы в поле  
 $U = -G_1\delta(x) - G_2\delta(x-\ell)$ . При каких значениях  $G_1 - G_2$  частица в стационарном состоянии находится преимущественно вблизи одной из ям?

18. Нарисовать качественно  $\psi(x)$  для связанных состояний в поле трех небольших одинаковых ям (см. рис.). Ширина яи порядка  $Q$ ,

$$\sqrt{\frac{E_2}{m\omega^2}} \ll \sqrt{\frac{Q}{a}}$$

Найти энергию первого возбужденного состояния.  
Как изменится ответ, если средний яи примерно вдвое меньше краин?

19. При какой ширине барьера  $a$  в поле

$$U = -G\delta(x) + V(x), \quad V(x) = \begin{cases} V & \text{при } |x| < a, \\ 0 & \text{при } |x| > a. \end{cases}$$

нет связанных уровней?

20. Найти уровень энергии для частицы в поле

$$U = \begin{cases} \infty & \text{при } x < 0, \\ -\frac{\infty}{x} & \text{при } x > 0, \end{cases}$$

рассчитав в импульсном представлении.

21. Определить коэффициент отражения частицы от прямогоугольной стены

$$U(x) = \begin{cases} 0 & \text{при } x < 0, \\ V & \text{при } x > 0. \end{cases}$$

22. Найти коэффициент отражения частицы в поле

$$U = -G\delta(x).$$

Как на них уровне дискретного спектра, продолжая амплитуду отраженной волны в комплексной плоскости  $E$  в область отрицательных энергий?

23. Найти коэффициент отражения частицы от прямогоугольной потенциальной ямы.

При каких энергиях яи полностью прозрачна?

24. Показать, что решения уравнения Шредингера в поле  $U$  (таком, что  $U \neq 0$  при  $|x| > \ell$ ) могут быть выбраны в виде

при  $|x| > \ell$ )

$$\Psi_r(x) = A \begin{cases} \cos(kx + \delta_r) & \text{при } x > \ell, \\ \sin(kx - \delta_r) & \text{при } x < \ell, \end{cases}$$

зарезанть коэффициент отражения через  $\delta_{\pm}$ .

Появляется ли волновая функция, описывающая отражение частицы, падающей на барьер в положительном направлении, осях  $x$ , взаимно ортогональными?

25. Найти коэффициент прохождения частицы в поле  $U = -G\delta(x) - G\delta(x-\ell)$ .

Оценить  $|\psi(x)|$  в области  $0 < x < \ell$ .

26. При каких условных коэффициентах отражения частицы от барьера в поле (просветленной оптике)?

27. Частице, волновую функцию которой в начальном момент времени задает с собой волной барьер  $U = G\delta(x-\ell)$ ,

$$\psi(x, 0) = f(x)e^{ikx}/\delta k,$$

представляет собой волной барьера  $U = G\delta(x-\ell)$ , падает на потенциальный барьер  $U = G\delta(x-\ell)$ , при  $t < \frac{\ell}{v}$ ,  $t > \frac{\ell}{v}$ .

Зарезанть  $\psi(x, t)$  через  $a(\kappa)$  при  $t < \frac{\ell}{v}$ .

Каким образом выражается время залежки волнового пакета при прохождении барьера через эмпилитуду прохождения?

28. Найти время залежки волнового пакета при прохождении прямогоугольной яи (зад. 23).

29. Волновой пакет падает на прямую потенциальную яму, промежущую в яме. Как оказывается, ширина волнового пакета,  $x > 0$ ?

30. Определить коэффициент отражения от потенциального барьера

$$U = \begin{cases} 0 & \text{при } x < 0, \\ ve^{-\frac{x}{\alpha}} & \text{при } x > 0. \end{cases}$$

31. Найти коэффициент отражения частиц от потенциала

$$U = \begin{cases} 0 & \text{при } x < a, \\ \frac{\alpha^2}{x^2} & \text{при } x > a. \end{cases}$$

32. Найти квазистационарные уровни энергии и их ширины для частицы в поле

$$U = \begin{cases} \infty & \text{при } x < 0, \\ G\delta(x-a) & \text{при } x > 0. \end{cases}$$

33. Найти квазистационарные уровни и их ширины в поле

$$U = \begin{cases} \infty & \text{при } x < 0, \\ 0 & \text{при } 0 < x < a, \\ 0 & \text{при } a + \beta < x, \\ 0 & \text{при } \alpha < x < a + \beta. \end{cases}$$

Рассмотреть случай малой прозрачности барьера.

34. Определить квазистационарные уровни и их ширины в поле

$$U = -G\delta(x) - G\delta(x-\ell),$$

рассматривая амплитуду прохождения частицы (см. зад. 25; зад. 22) в области комплексных значений  $E$ .

35. Определить время задержки волнового пакета при прохождении пары потенциальных ям (зад. 25) при энергии, лежащей вблизи квазистационарного уровня, принимая, что зависимость амплитуды прохождения от энергии определяется, главным образом, полисом

$$(E - E_n + \frac{i}{2}\Gamma_n)^{-1}$$

36. Определить квазистационарные состояния в поле

$$U = -G_1\delta(x) + G_2\delta(x-\ell).$$

Каково отношение вероятностей вылета частицы в положительном и отрицательном направлениях оси  $x$ ?

37. Найти волновые функции стационарных состояний частицы в поле (зад. 32).

Определить распределение вероятностей различных значений энергии в состоянии

$$\psi(x, \sigma) = \sqrt{\frac{m}{2}} \sin \frac{px}{\hbar}$$

Найти  $\psi(x, t)$ , ограничиваясь приближением, в котором зависимость волновой функции от энергии при  $0 < x < \ell$  определяется полисом

$$(E - E_0 + \frac{i}{2}\Gamma_n)^{-1}.$$

38. Определить волновую функцию частицы в однородном поле

$$U = -F_x,$$

используя импульсное представление. Почему при этом дифференциальное уравнение второго порядка (имеющее два линейных независимых решения) заменяется на дифференциальное уравнение первого порядка (имеющее только одно решение)?

39. При  $t < 0$  частица находится в основном состоянии в поле  $U(x, t) = -G_1\delta(x)$ . В момент  $t = 0$  поле скакком изменяется, так что при  $t > 0$

$$U(x, t) = -G_2\delta(x).$$

Найти вероятность того, что частица останется вблизи потенциальной ямы при  $t \rightarrow \infty$ .

40. Определить распределение вероятностей различных значений энергии для частицы, покинувшей потенциальную яму (зад. 39).

41. Волновой пакет, имеющий в начальный момент вид

$$\psi(x, 0) = A e^{-\frac{(x-\ell)^2}{2s^2}} + c \frac{e^{i\frac{px}{\hbar}}}{\pi},$$

движется в поле  $U(x) = -G\delta(x)$ . Определить вероятность того, что при  $t \rightarrow \infty$  частица окажется вблизи потенциальной ямы

$$\frac{mG^2t}{\hbar^2} \Rightarrow 1.$$

и что её энергия  $\psi(x, t)$  в  $t \ll \ell/\Gamma$  и  $t \gg \ell/\Gamma$ , где  $\Gamma = \frac{m\hbar^2}{\hbar^2}$

42. Потенциальная яма движется с постоянной скоростью  $V$ :

$$U(x, t) = U(x - Vt).$$

Доказать, что  $\psi_n(x, t) = \psi_n(x - Vt)e^{-i\frac{E_n t}{\hbar}} + e^{\frac{i m V x}{\hbar}} - \frac{m V^2 t}{2\pi}$ ,

где  $\psi_n(x)$  — волновая функция стационарного состояния для неподвижной потенциальной ямы  $U(x)$ , удовлетворяет уравнению Шредингера.

43. Потенциальная яма, двигавшаяся с постоянной скоростью  $V$ , мгновенно останавливается:

$$U(x, t) = \begin{cases} -G\delta(x - Vt) & \text{при } t < 0, \\ -G\delta(x) & \text{при } t > 0. \end{cases}$$

Какова вероятность того, что частица, находившаяся в основном состоянии (в системе координат, движавшейся с ямой), останется в основном состоянии вследствие неподвижной потенциальной ямы.

44. Определить распределения вероятностей различных значений энергии для частицы, улетевшей в положительном и отрицательном направлениях оси  $x$  после остановки потенциальной ямы (зад. 43). Подробно исследовать распределения в случае  $A$ .

45. Определить зоны разрешенной энергии для частицы, движущейся в периодическом потенциальном поле.

Исследовать случай  $\ell V = \omega \pi t$ ,  $V \rightarrow \infty$ ,  $\ell \rightarrow 0$ .

46. Найти волновые функции стационарных состояний в поле

$$U = -G \sum_{n=-\infty}^{\infty} \delta(x - na),$$

являющиеся одновременно собственными функциями оператора  $\hat{T}$  для ямы на расстояние  $a$ .

Для зоны  $E < 0$  найти явную зависимость  $E(q)$ , где  $q = \frac{qa}{\hbar}$  есть собственное значение оператора  $\hat{T}$  ( $\frac{m G a}{\hbar^2} \gg 1$ ).

47. Определить поток частиц в состояниях, найденных в зад. 46. Нормировать волновые функции на единичный поток.

48. В периодическом поле  $U = -G \sum_{n=-\infty}^{\infty} \delta(x - na)$  в одном из узлов потенциал заменен на  $-G_1 \delta(x)$ . Найти коэффициент отражения

от этой "примеси".

49. Найти энергию и волновую функцию частицы в периодическом поле, покинувший зону "примеси" (см. зад. 48).

50. Найти "поверхностный уровень" в поле

$$U(x) = -G \sum_{n=-\infty}^{\infty} \delta(x - na) + V(x), \quad V(x) = \begin{cases} \infty & \text{при } x < 0, \\ 0 & \text{при } x > 0. \end{cases}$$

$$\frac{m G a}{\hbar^2} \gg 1.$$



§ 4. Угловой момент и спин

1. Покажать, что для любого состояния  $\psi$  системы с моментом  $J = I$  справедливо тождество

$$\{(\vec{J}_n)^3 - (\vec{J}_n)\} \psi = 0,$$

$\vec{n}$  — фиксированный единичный вектор.

2. Исследовать качественно угловое распределение плотности вероятности для состояний, описываемых сферическими функциями  $Y_{\ell, m=\ell}$  и  $Y_{\ell, m=-\ell}$  (считая  $\ell \gg 1$ ).

3. Построить линейные комбинации  $\zeta$  — и  $\rho$  — состояний, отвечающие ортогональным волновым функциям с диоптическими моментами, направленными из центра к вершинам тетраэдра (модель велетных связей этого углерода).

4. Каноническая комбинация решений уравнения Шредингера с  $\ell = 0, 1$  может представлять электростатический потенциал в центре ячейки кубического кристалла? Для частицы, находящейся в центре ячейки, определите возможный вид угловой части волновой функции.

5. Определить возможные значения энергии  $E$ , момента  $\mathcal{J}$  и  
кратность вырождения  $N(E)$  состояний частицы в поле изотропного  
пространственного осциллятора частоты  $\omega$ . Чему равен вероятно-  
сти различных значений  $\mathcal{J}$  и  $\ell_z$  в состоянии с квантовыми числами  
в лейбнитовых координатах  $n_x = l$ ,  $n_y = 0$ ,  $n_z = 2$ ?

6. Исходя из геометрического смысла операторов момента  $\mathcal{J}$   
и импульса  $\vec{P}$ , найти первостаночное соотношение

$$[P_x, P_y] = [J_x, J_y], \quad [J_x, P_y] = [J_y, J_x].$$

7. Вычислить (исходя из геометрических соображений и непо-  
средственно) результат перемножения операторов

$$e^{-i\varphi J_x} J_y e^{i\varphi J_x}.$$

8. Частица находится в состоянии с импульсом  $\vec{P}$ , направлен-  
ным по оси  $x$ , и определенной спиральностью (проекция спина на  
направление импульса). Найти характеристики состояния, получен-  
ного из исходного действием оператора

$$R = e^{-i\varphi J_x} e^{-i\theta J_y} e^{i\varphi J_x}.$$

9. Система находится в состоянии с моментом  $\mathcal{J}$  и проекцией  
 $J_z = M$ . Найти среднее значение проекции момента на ось, имею-  
щую полярные углы  $\theta, \varphi$ .

10. Найти относительные интенсивности расщепленных пучков в  
опыте Штерна-Горлака (для частиц спина  $1/2$  и  $1$ ), если первоначаль-  
ный пучок поляризован под углом  $\theta$  к направлению магнитного поля  
 $\mathcal{J}_z$ .

11. Найти вероятности различных результатов измерения проек-  
ции момента на ось, имеющую полярные углы  $\theta, \varphi$ , для системы,  
находящейся в состоянии с моментом  $\mathcal{J}$  и максимальной проекцией

$J_z$ .  
12. Показать, что любая матрица  $2 \times 2$  может быть разложена по  
матрицам Паули согласно

$$A = \frac{1}{2} \Re A + \frac{i}{2} \Im A \cdot \vec{\sigma} \cdot (\vec{A} \vec{\sigma}).$$

13. Для системы двух частиц спин  $1/2$  построить операторы  
спинового объема и операторы проектирования из спиральных и  
тривиальных состояний.

14. Гамильтониана взаимодействия двух одинаковых частиц спинов  
 $1/2$  зависит от их относительного расстояния  $\vec{z}$  и спинов  $\vec{j}_1, \vec{j}_2$ .

Показать, что если момент и четность сохраняются, то наиболее обра-  
щенный вид такого оператора есть

$$\mathcal{H} = A(\vec{z}) + B(\vec{z}) \vec{j}_1 \vec{j}_2 + C(\vec{z}) \frac{(\vec{j}_1 \cdot \vec{z})(\vec{j}_2 \cdot \vec{z})}{z^2}.$$

Выразить этот оператор через полный спин  $\vec{S}$ .

15. Для частицы со спином  $1/2$  построить оператор поворота на  
угол  $\alpha_1$  вокруг оси  $j_1$ , а затем на  $\alpha_2$  вокруг  $j_2$ . Рас-  
смотреть те же повороты в обратном порядке.

16. Показать, что для частицы со спином  $1/2$ , находящейся в  
состоянии со спиновой волной функцией  $\psi$ , всегда существует не-  
прерывное, из которого проекция спина равна  $+1/2$ , с вероятностью,  
равной единице.

17. Для состояния электрона в центральном поле с квантовыми  
числами  $n, \ell, j, j_z = m$  найти вероятности различных значений  
проекций  $J_x$  и  $J_y$  и их средние значения.

18. Найти, как меняется направление ( $\theta_0, \varphi_0$ ) поляризации  
частицы со спином  $1/2$  (см. задачу 16) в зависимости от простран-  
ственных координат частицы, которая находится в состоянии с опре-  
деленными значениями  $\ell, j, j_z = m$ .

19. Разложить произведение двух сферических функций  
 $Y_{\ell_1 m_1}(\theta, \varphi) Y_{\ell_2 m_2}(\theta, \varphi)$  по сферическим функциям  $Y_{\ell' m'}$ .  
20. Доказать, что коэффициент векторного  
сложения  $G_{\ell_1 \ell_2}^{m_1 m_2}$

является произведением двух сферических функций  
Якоби состояний двух подсистем  $\Phi_{j_1 m_1}^{(\ell_1)}, \Phi_{j_2 m_2}^{(\ell_2)}$  с данными  $j_1, j_2$  состо-  
яния всей системы с полным моментом  $J$ . Выразить коэффициен-  
ты векторного сложения через матричные элементы этих проекцион-  
ных операторов в базисе  $\Phi^{(\ell') m'}$ .

22. Система состоит из двух спинов  $\frac{1}{2}$ , взаимодействие которых имеет вид  $K_1 K_2$ . Найти уровни энергии системы во внешнем магнитном поле  $\vec{H}$ , если гиромагнитные отношения равны  $g_1$  и  $g_2$ .

23. Найти основное и начальное возбужденные состояния замкнутой цепочки  $N$  спинов ( $J = \frac{1}{2}, \frac{3}{2}, \dots$ ), в которой ближайшие соседи взаимодействуют по закону  $H = -K_1 K_2 - K_3 K_4 - \dots$ ,  $K > 0$ .

24. Доказать, что скалярный оператор имеет правила отбора  $\Delta J = 0$ ,  $\Delta M = 0$  и его матричные элементы не зависят от  $M$ .  
 $\Delta J = 0, \pm 1$ .

25. Доказать, что векторный оператор имеет правила отбора  $\Delta J = 0, \pm 1$  для диагональных по величине полного момента  $J$  матричных элементов любого вектора  $\vec{V}$  спрведливо тождество ("векторная модель")

$$\langle \alpha' \vec{J} M' | \vec{V} | \alpha J M \rangle = \frac{\langle \alpha' J / \vec{J} M' | \vec{V} | \alpha J M \rangle}{J(J+1)} \langle \alpha M' | \vec{J} / \vec{J} M \rangle$$

( $\alpha$  — добавочные квантовые числа).

27. Найти правила отбора по орбитальному моменту  $\vec{l}$  для дополнительного кулоновского интеграла движения (вектор Рунге-Ленца), и с их помощью получить дискретный спектр атома водорода.

28. Дейtron является связанным состоянием протона и нейтрона, причем его волновая функция является суперпозицией  ${}^3S_1 + {}^3D_1$ . Оценить вес  $D$ -волны в этой суперпозиции, если магнитный момент дейтрома равен 0,85 я.н. (магнитные моменты протона и нейтрона равны соответственно 2,79 я.н. и -1,91 я.н.).

29. Определить магнитный момент ядра изотопа кислорода  ${}^{17}_8 O_3$ , имеющего сверхзаполненных оболочек один нейtron на уровне  $d_{5/2}$ .

30. Электрон находится в центрально-симметричном поле в состоянии с квантовыми числами  $n, \ell, j, \lambda^{*m}$ . Показать, что усреднение по всем квантовым числам, кроме проекции момента, значение магнитного поля, создаваемого им в центре, равно

$$\vec{H}(0) = \frac{e\hbar}{mc} \frac{\ell(\ell+1)}{j(j+1)} \left\langle \frac{1}{r^2} \right\rangle_{n\ell} \vec{J}.$$

31. Показать, что плотность электрического тока для нерелятивистской частицы со спином  $j$  и гиромагнитным отношением  $g$  носит добавочное спиновое слагаемое

$$\vec{J}_{\text{намагн.}} = c g \vec{r} \times (\psi^* \vec{\sigma} \psi).$$

32. Найти компоненты  $\vec{J}_{\text{намагн.}}$  для основного состояния ятна водорода.

33. Выразить диагональную по моменту  $J$  часть симметричного тензора  $Q_{ik}$  со следом, равным нулю, через операторы компонент  $\vec{J}_i$  (ср. задачу 26).

34. Найти зависимость от полного момента  $\vec{F} = \vec{J}_+ \vec{I}$  ( $\vec{J}$  — момент электронов,  $\vec{I}$  — момент ядра) сверхтонкого расщепления ятного ядра, если сверхтонкое взаимодействие электронной оболочки ядра постоянное.

35. Показать, что нормированная волновая функция дейтрана (см. задачу 28) может быть записана в виде ( $m = 0, \pm 1$  — проекция полного момента дейтрана)

$$\psi_m = \frac{1}{\sqrt{2\pi}} \frac{1}{\tau} \int u_0 + \sqrt{2} \left[ \frac{3}{2} \frac{(\vec{S} \cdot \vec{z})^2}{r^2} - 1 \right] u_1 \right\} \chi_m,$$

где  $\chi_m$  — нормированная спиновая функция для  $S=1$ ,  $S_z=m$ ,  $u_0(u_1)$  — радиальные функции  $S$ - и  $D$ -волн, нормированные согласно

$$\int dr \left[ |u_0|^2 + |u_1|^2 \right] = 1.$$

36. Частичка со спином  $1/2$  помещена в постоянное магнитное поле  $\vec{H} = H_z \hat{z}$ . В начальный момент времени частичка поляризована в направлении  $\vec{n}$ . Показать, что дальнейшее изменение средних зна-

Четырьмя компонентами  $\vec{J}$  отвечает классической картине прецессии вектора спина вокруг внешнего поля.

37. Частице со спином  $1/2$ , поляризованные при  $\vec{J} = \vec{0}$  в направлении  $\vec{n}$ , находится в переменном магнитном поле  $\mathcal{H}(t)$ , зависящем от оси  $\vec{x}$ . Найти зависимость от времени средних значений компонент спинов и матричных погоризоний частицы.

38. Частичка спина  $1/2$  помещена в постоянное поле  $\mathcal{H}_x$  и подвергнута действию другого постоянного поля  $\mathcal{H}'(t)$ , имеющего плоскость  $x'_y$  с частотой  $\omega$ . В начальный момент спин направлен по оси  $\vec{z}$ , а  $\mathcal{H}' = \mathcal{H}_x$ . Найти вероятность того, что в момент времени  $t$  спин перезернулся.

### § 5. Уравнение Шредингера (трехмерный случай)

1. Найти энергию и волновые функции стационарных состояний в потенциале

$$U(z) = A z^2 + B z^4.$$

2. Найти волновые функции и энергию стационарных состояний частицы в сферически-симметричной потенциальной яме с бесконечными стенками. Указать радиальные и орбитальные квантовые числа  $(\ell, m_\ell, \ell')$  для части низших уровней.

3. Взаимодействие между нуклонами можно приближенно описать потенциалом  $U(r) = -V \exp(-\gamma r)$ . Найти волновую функцию  $S$ -состояния. Определить  $V$ , полагая  $\alpha = 2 \cdot 10^{-13}$  см, если энергия связи деятона  $E = 2,2$  МэВ.

4. Амплитуда колебаний атомов в двухатомной молекуле обычно значительно меньше кинетического расстояния. Благодаря этому энергия может быть разделена на вращательную и колебательную части и представлена в виде

$$E = E_{\text{вр}} + E_{\text{кол}},$$

$$E_{\text{вр}} = \frac{\hbar^2}{2I} \ell(\ell+1), \quad E_{\text{кол}} = \hbar \omega \left(n + \frac{1}{2}\right).$$

Предполагается, что потенциал взаимодействия атомов имеет вид

$$U(z) = -\beta z - \beta' z^2,$$

наглядно изображенный спектр молекулы. В каком случае полученный спектр имеет описание выше колебательно-вращательную структуру?

5. Решить уравнение Шредингера с кулоновским потенциалом в парabolических координатах.

6. Найти средний электростатический потенциал, создаваемый атомом водорода в основном состоянии.

7. Найти распределение вероятности по импульсам электрона в атоме водорода в состоянии  $1S$ .

8. Вычислить среднее магнитное поле, создаваемое электроном в центре атома водорода в состояниях  $S_{1/2}, P_{1/2}$  (указание: см. задачу 30 § 4). 4. 54. 31 § 4

9. Доказать, что в кулоновском поле  $U = -\frac{e^2}{r}$  для средних значений степени  $z$  имеет место соотношение

$$2E(s+1)\langle z^s \rangle + d(2s+1)\langle z^{s-1} \rangle + \frac{sh^2}{4ml} (s^2 - 4s^2 - 4l^2 - l)\langle z^{s-2} \rangle = 0.$$

10. Заряженная частица движется в постоянном однородном магнитном поле. Найти волновые функции стационарных состояний, в которых определенное значение имеет проекция момента импульса на направление поля.

11. Для заряженной частицы в постоянном однородном магнитном поле некий оператор координат центра орбиты, квадрата радиуса-вектора этого центра и квадрата радиуса орбиты. Выяснить, является ли эти величины интегралами движения. Каждое из них имеет

определенное значение в стационарных состояниях с определенной проекцией момента импульса на направление поля и каковы эти значения?

12. Определить энергетический спектр и волновые функции зажатой частицы во взаимно перпендикулярных однородных электрическом и магнитном полях.

13. Найти волновые функции и уровни энергии плоского зажатого осциллятора в магнитном поле.

$$\omega/2\pi c = \mathcal{K}^{-1}$$

14. Найти энергетический спектр иастронного звяженного осциллятора в магнитном поле.

15. Найти энергетический спектр в случае трехмерного движение, которое описывается гамильтонианом

$$H = \frac{1}{2}(1+z^2)r^2(1+z^2)$$

Решить задачу а) в представлении Шредингера, б) в представлении Гейзенберга.

### § 6. Приближенные методы (теория возмущений, квазивинесическое приближение, вариационный метод)

1. Определить поправки к уровням энергии линейного осциллятора за счет малых ангармонических полтровок  $V = \alpha x^3 + \beta x^4$ . Учсть членов первого порядка по  $\beta$  и второго по  $\alpha$ . Используя полученный результат, показать, что частота классического нелинейного осциллятора зависит от амплитуды колебаний, и найти эту зависимость.

2. Вычислить в первом приближении теории возмущений сдвиг энергетического уровня  $1S$  основного состояния водородоподобного атома, обусловленный неточечностью ядра.

Ядро считать а) сферой радиуса  $R$ , по поверхности которой равномерно распределен заряд; б) шаром радиуса  $R$ , с равномерно распределенным по объему зарядом.

Оценить поправку для ятна водорода, считая  $R \sim 10^{-13}$  см.

Как изменится результат для состояния  $2 P$ ?

3. Определить поправки к трем нижним уровням энергии двухмерного осциллятора  $V = \frac{1}{2}m\omega^2(4x^2+4y^2)$  со слабой нелинейной связью  $V = \alpha x^3 + \beta x(y^2+z^2)$  со слабой нелинейной связью  $V = \alpha x^3 + \beta x(y^2+z^2)$  (модель резонанса Ферми в молекуле  $CO_2$ ).

Оценить коэффициент ангармоничности  $\beta$  по известным из эксперимента значениям частоты колебаний.

4. Найти энергетический спектр иастронного звяженного осциллятора в магнитном поле, находящийся при  $t \rightarrow -\infty$  в первом приближении теории возмущений.

5. Плоский рогатор с моментом инерции  $I$  и электрическим дипольным моментом  $d$ , помещен в однородное электрическое поле  $E$ , лежащее в плоскости вращения. Рассматривая поле  $E$  как возмущение, вычислить первые неисчезающие поправки к уровням энергии рогатора.

Найти поляризуемость системы  $\alpha = \frac{\partial E_m}{\partial \epsilon_m}$ . Объяснить с классической точки зрения различие в знаке  $\alpha$  для состояний с  $m = d$  и  $m \neq 0$ .

6. Ядро со спином  $\frac{1}{2}$ , гиромагнитным отношением  $g$  и квадрупольным моментом  $Q$  помещено в кристалл, где существует градиент электрического аксиально-симметричного поля  $\partial E_z / \partial z$  и приложено постоянное магнитное поле  $H$  под углом  $\alpha$  к оси  $z$ . Найти энергетическое расщепление мультиплета ядерных состояний  $|I, M\rangle$ , чем выделены уровни с полуклассами  $I$  и  $M = \pm 1/2$ ? Предполагается, что  $|Q| \partial E_z / \partial z | \gg H$ .

7. Линейный гармонический осциллятор, находящийся при  $t \rightarrow -\infty$  в основном состоянии  $E = E_0 e^{-E_0 t / \gamma}$ , подвергается действию однородного электрического поля  $E = E_0 e^{-E_0 t / \gamma}$ , рассматриваемого как возмущение.

Найти в первом приближении теории возмущений вероятность возбуждения осциллятора.

8. Атом водорода, находящийся при  $t \rightarrow -\infty$  в основном состоянии  $E = E_0 e^{-E_0 t / \gamma}$ , подвергается действию однородного электрического поля  $E = E_0 e^{-E_0 t / \gamma}$ .

Найти в первом приближении вероятность ионизации, т.е. вероятность обнаружить электрон в состоянии с импульсом от  $p \rightarrow p + dp$  (принять, что для больших значений  $p^2/2m \gg me^4/h^2$  электрон можно считать свободным).

Дать графики зависимости  $d^3W/d^3p$  от параметра  $\gamma$  и угла вылета электрона.

9. На атом водорода, находящийся при  $t = 0$  в основном состоянии, действует однородное периодическое во времени электрическое поле  $E = E_0 \sin \omega t$ . Определить минимальную частоту поля, необходимую для ионизации атома, и, пользуясь теорией возмущений,

вычислить отнесенный к единице времени вероятность ионизации. Электрон в конечном состоянии считать для простоты свободным.

10. Найти в квазиклассическом приближении уровень энергии для частицы, движущейся в потенциальном поле вида  $U(x) = \alpha |x|$  (рис. 1).

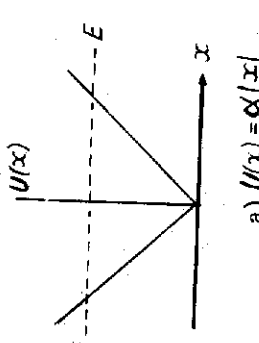


Рис. 1

III. Найти расстояние между соседними уровнями в квазиклассическом поле  $U(x)$ .

12. Найти в квазиклассическом приближении разность уровней энергии  $E_{n_2, l+1} - E_{n_1, l}$  для частицы, движущейся в центральном поле  $U(r)$  с заданным радиальным квантовым числом  $n_2$ .

13. Найти волновую функцию  $\psi_n(x)$  для гармонического осциллятора при  $n \gg 1$ . Дать график  $|\psi_n(z)|^2$  и сравнить его с графиком классической плотности вероятности  $dW(x) = \frac{dt}{\tau dx}$ , где  $dt$  — время пребывания осциллятора на участке от  $x$  до  $x + dx$  за период движения  $T$ . Сравнить также эти величины для состояния  $n = 0$ .

14. Для частицы в центральном поле  $U(r)$  найти в квазиклассическом приближении волновую функцию  $\psi_{n, l, m}(\gamma, \theta)$  с  $m = 0$ ;  $n, l \gg 1$ . Указать область применимости полученного результата (см. также задачу № 2 § 4).

15. Определить смещение  $n$ -го уровня ( $n \gg 1$ ) при мелком изменении потенциала  $U(x) \rightarrow U(x) + \delta U(x)$ .

Рис. 2

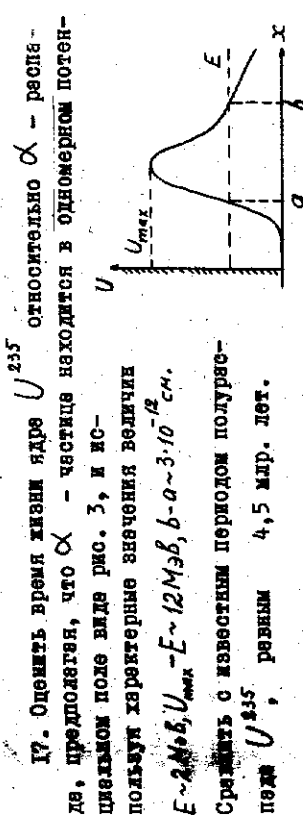


Рис. 3

17. Оценить время жизни ядра  $U^{235}$  относительно  $\alpha$  — распада, предполагая, что  $\alpha$  — частица находится в одномерном потенциальном поле вида рис. 3, и используя характеристическое значение величины  $U_{max}$ .

$$E \sim 2M_0 \cdot b, U_{max} \sim E \sim 12 \text{ МэВ}, b \sim 3 \cdot 10^{-12} \text{ см}.$$

Сравнить с известным периодом полуразложения  $U^{235}$ , равным 4,5 млрд. лет.

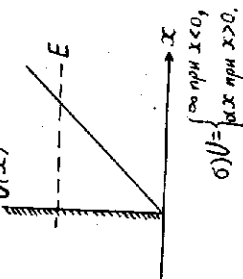


Рис. 3

18. "Помахай, самим ярким и удачительным свойством  $\alpha$  — распада — является очень сильная зависимость периода полуразпада  $T_{1/2}$  от энергии выпущенных  $\alpha$ -частиц  $E$ " (Ю.М. Егоров, Н.П.Дин. "Нuclear физика", Наука, 1972 г., стр. 208). Эта зависимость (эмпирический закон Гейгера-Нетто) имеет вид

$$\log T_{1/2} = A + \frac{B}{\sqrt{E}},$$

где  $A$  и  $B$  — константы, слабо зависящие от заряда ядра  $Z$  (для  $Z = 90$  известно  $A = -51,94$ ;  $B = 139,4 \text{ МэВ}^{1/2}$ ).

Показать, что для  $\alpha$ -частиц, движущихся в модельном потенциале вида рис. 4

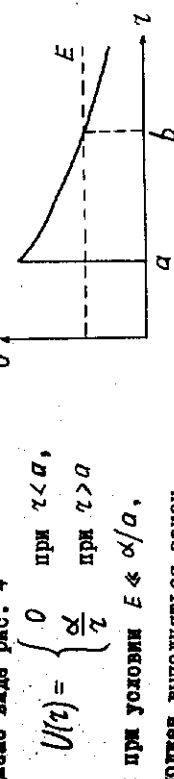


Рис. 4

Гейгер-Неттое, и найти вид коэффициентов  $A$  и  $B$  через параметры задачи.

19. Вычислить в кванумеханическом приближении коэффициент прохождения электронов через поверхность металла под действием сильного электрического поля  $\mathcal{E}$  (рис.5) ("Холодная эмиссия"). Найти границы применения расчета. Оценить плотность тока через поверхность металла при  $E \sim 2 \text{ эВ}$ ,  $\mathcal{E} \sim 10^6 \text{ В/см}$ .

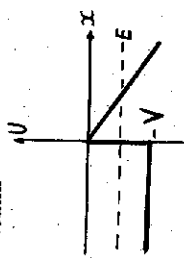


Рис. 5.

20. Определить в кванумеханическом приближении среднее значение кинетической энергии стационарного состояния в одномерном случае.

21. а) Симметричное поле  $U(x)$  представляет собой

две потенциальные ямы, разделенные барьером (рис.6). Считая выполненным условие кванумеханических расщепление  $\Delta E_h$  энергетических уровней отдельной ямы; (см. А.Л. § 50, 3) б) провести грубую оценку величины барьера  $U(x) - E$  на участке  $-a < x < a$  для аммиачного мазера, у которого  $\Delta E \sim 10^{-4} \text{ эВ}$  (переход между такими уровнями приводит к излучению радиоволн с  $\lambda \sim 1,25 \text{ см}$ );

в) путь в начальный момент частица находится в состоянии  $\psi_0(x)$ , соответствующем стационарному состоянию первой ямы. Найти время  $T$ , через которое частица окажется в состоянии  $\psi_0(-x)$ , соответствующем стационарному состоянию левой ямы. Выразить  $T$  через коэффициент прохождения барьера на участке  $-a < x < a$ .

### § 6. Применение метода

#### 22. а) Считая выполнены условия кванумеханическости, найти

кванумеханические уровни частицы в симметричном поле, изображенном на рис. 7. Найти также коэффициент прохождения  $D(E)$  для частиц с энергией  $E < U_0$ ;

б) как изменяется время жизни частицы в яме, если в центре ямы достичь непроницаемый барьер?

23. Сравнить зависимость расщепления уровняй  $\Delta E_h$  в задаче 21 и выражение  $\Gamma$  в задаче 22 от коэффициента прохождения и обосновать полученные результаты.

24. Используя вариационный принцип, найти приближенно энергию  $E_0$  основного состояния частицы в поле  $U(x) = \begin{cases} \infty & \text{при } x < 0, \\ Cx & \text{при } x > 0. \end{cases}$

В качестве волновой функции взять функцию вида  $\psi = A x e^{-\alpha x}$ . Сравнить полученный результат с точным значением  $E_0 = 2,34(c^2 h^2/2m)^{1/3}$  и оценить точность приближения.

25. Используя вариационный принцип, найти приближенно энергию  $E_0$  основного состояния дейтрана, если потенциал  $U(x) = -V e^{-\alpha/x}$ ,  $V = 32 \text{ МэВ}$ ,  $\alpha = 2,2 \cdot 10^{-13} \text{ см}$ .

В качестве волновой функции взять функцию вида  $\psi = A e^{-\alpha|x|/2a}$ . Сравнить полученный результат с экспериментальным значением энергии связи дейтрана  $E_0 = -2,296 \pm 0,003 \text{ МэВ}$  (определеняется по порогу реакции фоторасщепления дейтрана).

### § 7. Атом, молекуле

I. Оценить величины поправок к кулоновским уравнениям энергии ядероды, обусловленных:

- спин-орбитальным взаимодействием (тонкая структура),
- релятивистскими поправками к кинетической энергии электрона,

и.

- В) взаимодействием с магнитным моментом ядра (сверхтонкая структура),  
 Г) наличием у ядра гидрополного момента,  
 Д) учетом конечных размеров ядра.
2. Для  $J^M$  — мезоатома оценить (масса  $M$  — мезон  $\approx 200 m_e$ ):  
 а) кулоновские характеристики: единицы энергии, расстояния, времени, скорости,  
 б) величину интервалов тонкой и сверхтонкой структур,  
 в) зависимость вероятности захвата  $J^M$  — мезона (из  $S$  состояния) от заряда ядра  $Z$ .
- Указание: ядро считать сферой радиуса  $R = Z^{1/3} R_0$ ;  $R_0 \sim 10^{-13}$  см.
3. Для того, чтобы учесть отсутствие случайного кулоновского выражения по  $\ell$  в спектрах водородоподобных атомов, можно попытаться использовать потенциал видов
- $$U(r) = -\frac{Z_\alpha e^2}{r} - \beta r_\alpha \frac{Z_\alpha e^2}{r^2}, \quad r_\alpha = \frac{\hbar^2}{m Z_\alpha e^2},$$
- где второй член моделирует поляризуемость атомного остатка под действием валентного электрона.
- Найти уровни энергии в этом потенциале.
4. Найти электронные конфигурации атомов циркония и гадия и объяснить, почему трудно разделить эти два элемента химически-ми методами.
5. Определить основные термы элементов  $O, Cl, Fe, Co, As, La$ .
6. Указать возможные термы электронных конфигураций:  
 а)  $(nP)^3$ , б)  $(nd)^2$ , в)  $(n'd)^4$ .
7. На атомном уровне с орбитальным моментом  $\ell$  находится  $n$  электронов. Каков максимальный возможный орбитальный момент  $L$  всей системы, если её полный спин  $S$  имеет минимальное значение?
8. Оценить порядок следующих величин согласно модели Томеса-Ферми:  
 а) среднее расстояние между электронами и ядром,  
 б) средняя энергия кулоновского взаимодействия между двумя электронами в атоме,  
 в) средняя кинетическая энергия электрона.
9. Вычислить величину разности энергий основного состояния водорода и лейтерия (изотопическое смещение).
10. Найти квадрупольный момент атома водорода в состоянии  $S$  полным моментом  $j$ .
11. Найти расщепление уровней энергии атома во внешнем однородном магнитном поле, если расщепление мало по сравнению с интервалами тонкой структуры (эффект Зеемана).
12. Спектральная линия ртути с длиной волны  $\lambda_0 = 184 \text{ \AA}$  в магнитном поле напряженностью 1000 Гс расщепляется на три компоненты, отстоящие друг от друга на  $0,001 \text{ \AA}$ . Определить, является ли эффект Зеемана нормальным или аномальным.
13. Можно ли наблюдать линейный эффект Зеемана для позитронов в основном состоянии?
14. Найти расщепление уровней энергии атома во внешнем однородном магнитном поле  $\mathcal{H}$ , если расщепление велико по сравнению с интервалами тонкой структуры (эффект Пашена-Бэкса). Сделать необходимую для этого напряженность магнитного поля.
15. Атом нитрия находится в магнитном поле напряженностью  $\mathcal{H} = 2,5 \cdot 10^4$ , учитывая члены первого и второго порядка по полю, найти расщепление линии  $3s^2 S_{1/2} - 2p^2 D_{3/2}$ . Нарисовать схему расщепления.
16. Рассмотреть эффект Зеемана в случае  $j^+$  — связи для атома, имеющего два электрона сверх заполненных оболочек.
- Указание: см. также зад. 31 § 4.
17. Найти расщепление уровней энергии водорода во внешнем однородном магнитном поле, если величина расщепления сравнима с интервалами тонкой структуры.
18. Найти величины сверхтонкого расщепления уровней водорода — подобного атома.
- Каково отношение энергий расщепления основного состояния этого водорода и лейтерия?

Указание: магнитный момент протона  $\mu_p = 2,79 \mu_B$  у дейтерия  $\mu_d = 0,85 \mu_B$  (см. тема зад. 36 из § 4).

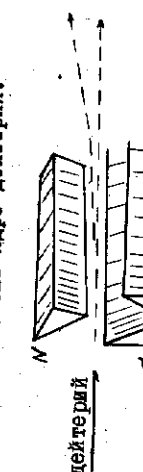
19. Терм  $D_{5/2}$  в оптическом спектре  $^{19}K^{39}$  имеет сверхтонкую структуру, состоящую из четырех компонент. Каково значение спина ядра? Какое следует ожидать соотношение интервалов в сверхтонком квадруплете?

20. Найти расщепление уровней с  $n=1$  для атома водорода в магнитном поле, если энергия взаимодействия с полем сравнима с интервалами сверхтонкой структуры. Оценить необходимую для этого напряженность магнитного поля.

21. Оценить величину магнитного поля в диффузных гуманоисих, если экспериментально удалось наблюдать трехлетнее расщепление линии 21 см в спектре водорода; величина расщепления порядка 30 Гц. Сравните величину расщепления с доплеровским уширением линий (температура порядка 100К).

22. Пучок атомов дейтерия, находящегося в основном состоянии, проходит через неоднородное магнитное поле (градиент поля перпендикулярен оси пучка). При напряженности поля  $\mathcal{H}=50$  Гс пучок не отклоняется.

Найти магнитный момент ядра дейтерия.



23. Найти расщепление уровней атома водорода в однородном электрическом поле, если энергия взаимодействия с полем мала по сравнению с интервалами тонкой структуры. Оценить напряженность поля, при которой эти энергии одного порядка.

24. Найти магнитный момент атома водорода, находящегося в однородном электрическом поле напряженности  $E \sim 10^3$  В/см. Изменится ли результат, если взять  $E \sim 10 \div 100$  В/см?

25. Как будет проявляться наличие эффекта ионизации атома внешним электрическим полем при экспериментальном наблюдении спектра в эффекте Штарка?

§ 8. Иолучение

1. Определить тип (электрический или магнитный) и мультипльность однофотонных переходов между уровнями ятма водорода:

$$\text{a) } 2P_{1/2} \rightarrow 1S_1/2;$$

5)  $2P_{3/2} \rightarrow 2P_{1/2}$ , в)  $3D_{5/2} \rightarrow 1S_{1/2}$ .

2. Определить возможные типы и мультипольности переходов в реальном ядре:

а)  $\omega^o (J^P = 1^-) \rightarrow \pi^o (J^P = 0^-) + \gamma$ , в)  $\Delta_{3/2} (\frac{3}{2}^+) \rightarrow N (\frac{1}{2}^+) + \gamma$ ,

б)  $\Sigma^o (\frac{1}{2}^+) \rightarrow \Lambda^o (\frac{1}{2}^+) + \gamma$ , г)  $N (\frac{5}{2}^+) \rightarrow N (\frac{1}{2}^+) + \gamma$ .

3. Найти время жизни  $2P_{1/2}$  — состояния атома водорода.

4. Оценить вероятности переходов между компонентами:  
а) теневой структуры,  
б) сверхтонкой структуры одного мультиплета.

5. Оценить время жизни  $2S_{1/2}$  уровня атома водороде.

6. Найти угловое распределение фотонов в распадах (распадающейся частицы подстрекирована)

а)  $\Sigma^o (J^P = \frac{1}{2}^+) \rightarrow \Lambda^o (\frac{1}{2}^+) + \gamma$ ,

б)  $\omega^o (1^-) \rightarrow \pi^o (0^-) + \gamma$ ,

в)  $\pi^o (0^+) \rightarrow \gamma + \gamma$ ,

г)  $A_1 (1^+) \rightarrow \pi^o (0^-) + \gamma$ .

7. Найти угловое распределение дипольного излучения, если изменение проекции момента излучающей системы равно:

а)  $\Delta m = 0$ , б)  $\Delta m = \pm 1$ .

8. Атом водорода находится в однородном магнитном поле излучения  $H$ . Рассмотреть переходы  $2P_{3/2} \rightarrow 1S_{1/2} + \gamma$ . Катоны поляризации и частоты фотонов, лежащих: а) вдоль поля, б) перпендикулярно поля, если энергия взаимодействия с полем  $H$  мала, в) велика по сравнению с интервалами тонкой структуры? Катоны относительные интенсивности спектральных линий?

9. Заряженная частица находится в поле  $U = \frac{m\omega^2 r^2}{2}$ , в начальном момент она была в состоянии с квантовыми числами  $m_x = m_y = 1$ ,  $m_z = 0$ . а) Как распределение дипольного излучения, в) как поларизованы катоны, испускаемые ядром?

10. Найти отношение интенсивностей компонент дублета для первого члена главных серий спектров атомов щелочных металлов ( $n_s \rightarrow np$ ).

11. Найти вероятности переходов и угловое распределение фотонов при переходах между земановскими компонентами одного ядра из ятомного уровня.

12. Найти вероятность перехода между компонентами сверхтонкой структуры основного состояния атома водорода.

13.  $\pi^-$  мезон захватывается ядром на уровне:

- а)  $n = 2$ ,  $\ell = n - 1 = 1$ . Оценить, при каких значениях заряда ядра  $Z$  вероятность захвата  $\pi^-$  мезона ядром будет превышать вероятность радиационного перехода в состоянии  $n = 1$ .
- б)  $\ell = n - 1$ ,  $n \gg 1$  и затем, последовательно испускай фотон, спускается из уровня с меньшим значением  $n$ . При данной величине заряда ядра  $Z$  сперва, начиная с каких  $n$  вероятность захвата  $\pi^-$  мезона ядром будет превышать вероятность радиационного перехода.

Указание: ядро считать поглощающим шариком радиуса  $R = \frac{\sqrt{2}m_\pi}{\sqrt{2}m_\pi c}$ , где  $m_\pi$  — масса  $\pi^-$ -мезона.

14. Для изотопа  $Hg^{49}$  (спин ядра  $I = \frac{1}{2}$ ) наблюдался переход с длинной волны  $\lambda_0 = 2656 \text{ Å}$ , соответствующей разности уровней  $P_0 \rightarrow S_1$ . Как известно, переход между этими уровнями является запрещенным ( $0-0$  переход). Попытайтесь найти механизм, приводящий к появлению линии  $\lambda_0$  в спектре и оцените отношение её интенсивности к интенсивности перехода  $^4P_1 \rightarrow ^3S_1$  (длина волны  $\lambda_1 = 2537 \text{ Å}$ ).

15. В спектре алミニна, помещенного в магнитное поле напряженностью  $\mathcal{H} = 2 \cdot 10^4 \text{ Г}$ , наблюдалась линия, соответствующая переходу  $3P_{1/2} \rightarrow 3d^2 D_{5/2}$ . Объясните причину появления этой линии и найдите отношение её интенсивности к интенсивности перехода  $^3P_{3/2} \rightarrow 3d^2 D_{3/2}$  (равной интенсивности  $3P^* P_{1/2} \rightarrow 3d^2 D_{3/2}$  перехода).

## § 8. Излучение

Указание: длины волн переходов равны:

$$\lambda(P_{1/2} \rightarrow P_{5/2}) = 3092 \text{ Å}^{\circ}, \quad \lambda(P_{1/2} \rightarrow D_{3/2}) = 3089 \text{ Å}^{\circ},$$

$$\lambda(P_{3/2} \rightarrow D_{5/2}) = 3092 \text{ Å}^{\circ}, \quad \lambda(P_{3/2} \rightarrow D_{5/2}) = 3085 \text{ Å}^{\circ}.$$

16. Атом водорода, находящийся в  $2S_{1/2}$  - состоянии и движущийся со скоростью  $U = 10^{-4} \text{ см/с}$  вдоль оси  $x$ , влеется в однородное магнитное поле напряженностью  $\mathcal{H}_0 = 400 \text{ Гц}$ , направленное по оси  $z$ .

Найти время жизни в состоянии  $2S_{1/2}$ .

17. Заряженная частица находится в поле  $U = \frac{m\omega^2 r^2}{2}$ . В момент времени  $t=0$  распределение по энергии имеет вид:

$$W(E_n) = C e^{-E_n / kT}.$$

Найти интенсивность дипольного излучения в этот момент.

18. Одномерный осциллятор (однокомпонентная молекула) с собственной частотой  $\omega$ , движущийся о импульсом  $P$ , взаимно остигивается. Найти интенсивность дипольного излучения в момент поиска остановки.

19. Используя принцип детального равновесия, установить связь между сечением фотогаспада **стационарной** системы  $(J + A_1 \rightarrow e + A_a)$  и сечением радиационной рекомбинации электродов  $e + A_2 \rightarrow J + A_1$ . Моменты описаны  $A_1$  и  $A_2$  соответственно  $J_1$  и  $J_2$ .

20. Объяснить эффект постепенного исчезновения спектральных линий в водородной плазме по мере узлучения концентрации электронов.

21. Найти закон распада орбитального (параллельного) излучения в однородном магнитном поле напряженности  $\mathcal{H}_0$ .

22. Определить пороговое извержение сечения фотопончания:

- стока,
- положительного иона,
- отрицательного иона,

если момент веленности электрона равен  $\ell = 0, 1$ .

23. Найти угловое распределение электронов и сечение фотозахвата с основного уровня водородоподобного иона в случае, когда

энергия фотона  $E \ll h\nu \ll mc^2$ , где  $h$  - постоянная Планка.

24. Найти сечение фотограззала деятока в случае, когда энергия фотона, помимо превышает энергию связи деятона. Каково пороговое извержение сечения? Найти отношение сечений фотограззала и обратного процесса - радиационного захвата нейтрона деятона и обратного процесса.

25. Найти дифференциальное сечение тормозного излучения медленного электрона на атоме.

Указание: выражать через длину рассеяния  $r_d$ .

26. Найти дифференциальное сечение тормозного излучения быстрого квазилитийского электрона на атоме в случае, если  $(P^2 - P_0^2) \ll 1$  ( $P_0$  и  $P$  - начальный и конечный импульсы электрона,  $a_0$  - боровский радиус).

Указание: (по порядку величины) сечение тормозного излучения с сечением упругого рассеяния и с сечением радиационного излучения быстрого электрона.

27. Найти энергию излучения, возникающего при отрывании электрона от бесконечно высокой потенциальной стены.

28. Определить форму спектральной линии в случае дипольизогенного излучения, обусловленного движением излучающих атомов - Максвелловского, естественной ширине линии многое дипольизогенного излучения.

29. Определить форму спектральной линии, если умножение излучающейся в однородном магнитном поле излучения зано с диффузией возбужденного атома в среде, причем частота излучения квантового излучения становится одинаковой с другими атомами.

Указание: при диффузии вероятность находления атома в момент  $t$  в точке  $x$ , если при  $t=0$  он находился в точке  $x=0$ , равна

$$w(x, t) = (2\pi D t)^{-1/2} e^{-x^2 / 4Dt},$$

где  $D$  - коэффициент диффузии.

30. Определить максимальное сечение поглощения резонансного фотона частоты  $\omega \rightarrow \infty$  атомной системой.

31. Найти сечение упругого (рэлеевского) рассеяния света на заряженном изотропном осцилляторе, находящемся в основном состоянии, если длина волны падающего света немного больше характеристики колебания осциллятора.

Собственная частота осциллятора равна  $\omega_0$ .

32. Фотоны с энергией  $\hbar\omega$  упруго рассеиваются на дейтоне (энергия связи  $T = 2,2 \text{ эВ}$ ). а) Для случая  $\hbar\omega \ll T$  найти сечение рассеяния, включая первую поправку по  $1/\hbar\omega$ ; б) То же для случая  $\hbar\omega^2 \gg \hbar\omega_T \gg T$  (включая первую поправку по  $1/\hbar\omega^2$ ).

Указание: состояние дейтона определяется как состояние частицы в мелкой сферической потенциальной яме, параметры которой определяются потенциалом ионизации  $l$ .

### § 9. Системы многих тел

(В этом параграфе исходу, где это существенно, считать температуру  $T=0$ ).

I. Для двух тождественных частиц спина  $\frac{1}{2}$  (при заданном состоянии относительного движения) найти число состояний, симметричных и антисимметричных по спинам частиц.

2. Зная, что волновая функция дейтона является суперпозицией  $|\zeta'_1 + D\rangle$ , и предполагая зарядовую независимость ядерных сил, показать, что не существует связанных ядра из двух нейтронов.

3. Две частицы, взаимодействующие по закону  $U = U_0 \delta(\xi'_1 - \xi'_2)$ , различены в непропорциональном переносе импульса. Найти по теории возмущений энергию основного и первого возбужденного состояний системы, считая частицы

- различными,
- тождественными, спин равен 0,
- тождественными, спин равен  $1/2$ .

### § 9. Системы многих тел

4. Три протона находятся на ядерной оболочке с  $J = 5/2$ .

Найти возможные значения полного момента  $\vec{J} = \vec{j}_1 + \vec{j}_2 + \vec{j}_3$ .

5. Колебания поверхности атомного ядра имеют момент 2. Какие полные моменты допустимы для состояний, в которых имеются два или три таких кванта? Чему равно полное число состояний системы  $N$  квантов (с учетом разных значений проекции полного момента)?

6.  $N$  протонов в ядре находится на оболочке с моментом  $J$ . Найти максимальный возможный момент системы; при каком  $N$  эта величина достигает наибольшего значения?

7. Позитрон от  $\beta$ -распада ядра в металле замедляется до тепловых скоростей, а затем аннигилирует с электронами проводимости в два  $\gamma$ -кванта. Оценить вид распределения по углу между фотонами гира.

8. Вывести для электронного газа безразмерный параметр  $\beta = a/a_0$ , где  $a_0$  — среднее расстояние между частицами ( $\frac{V}{N} = \frac{4}{3}\pi r^3$ ),  $a_0 = \hbar^2/m_e^2$  — боровский радиус, выразить через  $\beta$ , характеристики газа: ферми  $\xi_F$ , энергию Ферми  $\varepsilon_0$ , среднюю кинетическую энергию на один электрон  $\bar{E}$ , отношение средней энергии кулоновского взаимодействия к средней кинетической энергии частицы. Как это отношение меняется с изменением плотности газа?

9. Найти функцию распределения частиц в идеальном борни-газе по импульсу относительного движения  $\vec{q} = (\vec{p}_1 - \vec{p}_2)/2$ .

10. Показать, что обусловленное столкновениями с фермиевским фоном (заполненная сфера Ферми) время жизни частицы, воссущественное в состоянии с импульсом  $p$  над поверхностью Ферми  $P_p = (p - p_0)/p \ll 1$ , относительно переходов в более разрешенные состояния пропорционально  $(p - p_0)^2$ .

II. Для системы тождественных частиц с спинами, не зависящими от скоростей, построить операторы плотности  $\rho(\vec{r})$  и плотности тока  $j(\vec{r})$  и показать, что они удовлетворяют операторному уравнению непрерывности.

12. В идеальном Ферми-газе плотности  $n$  найдены пектр всех возбужденных состояний типа частица-дырка.

13. Для системы  $N$  тождественных частиц массы  $m$  с силами не зависящими от скоростей, доказать, что в это время сумма сил осцилляторов  $\sum_n f_n = N$ , где силы осцилляторов

$$f_n = \frac{2m}{\lambda k^2} \omega_{n0} / (\rho_z^+)_n /^2,$$

$\omega_{n0}$  — частота перехода между  $n$ -м стационарным и основным состояниями,  $\rho_z^+ - \rho_z^-$  — Фурье-компоненты с волновыми вектором  $k$  оператора плотности  $\rho(\vec{r})$  (задача II). Чему отвечает длинноволновый предел этого правила суммы?

14. Показать, что в системе  $N$  тождественных частиц с силами, не зависящими от скоростей, корреляционная функция флукутаций плотности

где  $\rho_z(t) = e^{i\omega t} \rho_z e^{-i\omega t}$  — оператор  $\rho_z$  (см. задачу I3) в гейзенберговском представлении,  $\rho_z^+ = \rho_z^-(\alpha)$ , удовлетворяет правилу суммы

где  $S'_{zz} = \int_{-\infty}^{\infty} d\omega e^{i\omega t} \delta'_z(t)$  — временной Fourier-образ  $\delta'_z(t)$  (так называемый динамический формфактор).

15. Вычислить динамический формфактор (см. задачу I4) идеального Ферми-газа, проверить правило суммы задачи I4.

16. Вычислить для идеального Ферми-газа корреляционную функцию одновременных флюктуаций плотности

(так называемый статический формфактор).

17. Для основного состояния идеального Ферми-газа вычислить вероятность найти одну частицу на расстоянии  $r$  от другой.

18. В приближении Хартри-Фока выразить энергию частицы в пространственно-однородной Ферми-системе через потенциал взаимодействия  $U(r)$  между частицами; найти энергию основного состояния всей системы.

19. Вычислить обменную кулоновскую энергию однородного электронного газа (в присутствии компенсирующего однородного фона положительного заряда) и энергию  $\epsilon_F$  одного электрона в приближении самоизгасающегося поля.

20. Оценить в приближении Хартри-Фока плотность, при которой кулоновский газ перейдет в ферромагнитное состояние (все спинны ориентированы в одну сторону).

21. Оценить расстояние, на котором экрануется поле противоположного статического заряда, помещенного внутри металлического образца.

22. В Ферми-системе с притяжением (атомное ядро) при увеличении плотности  $\rho$ , средняя кинетическая энергия  $\bar{E}$  растет  $\sim \rho^{4/3}$  (задача 8), в то время как средняя потенциальная энергия притяжения растет  $\sim \rho$ , т.е. система будет колапсировать. Покажите, что если ядерные силы являются сместью прямых и обратных,  $U(r) = U_0(r) / (1 + \rho(r))$ ,  $\rho(r)$  — оператор обмена пространственных координат, то при  $\rho > 4$  колапс не будет (условие насыщения ядерных сил). Ядро рассматривать как Ферми-газ из одинакового числа нейтронов и протонов ( $N = Z = A/2$ ) с зарядово-независимыми силами, заключенный в прямоугольный ящик объема  $V = R^3$ .

23. Внутри металла в точке  $\vec{R}$  показано примесный магнитный яон со спином  $\frac{1}{2}$ . Взаимодействие электронов проводимости с ионом имеет вид  $H' = -g \delta(r_e - \vec{R}) \vec{J}_e \cdot \vec{B}$ . Рассмотривая это взаимодействие по теории возмущений и считая электронны идеальным Ферми-газом, вычислить среднюю поляризацию электронного газа как функцию расстояния от примеси.

24. Рассмотреть изменение намагниченности электронов металла в сильных магнитных полях в зависимости от величины поля  $\mathcal{H}$ , используя двухмерную модель (эффективная масса  $m_H^*$ , для движения вдоль магнитного поля  $\mathcal{H}$ , мала,  $m^* \rightarrow 0$ , так что уровень продольного движения не возбуждается,  $R^2/m_H^* \rightarrow \infty$ ).

25. Цилиндрический сосуд радиуса  $R$  и высоты  $a$ , заполненный идеальным бозе-газом, равномерно вращается вокруг продольной оси с угловой скоростью  $\Omega$ . При какой скорости вращения в сосуде образуется вихрь? (Вихрь отвечает поле скоростей

$\frac{\partial \psi}{\partial r} = \frac{k}{r}$ ,  $k$  — радиус цилиндрической системы координат; при граничное условие для волновой функции на стенах сосуда

$$\frac{\partial \psi}{\partial r} \Big|_{S} = 0.$$

### § 10. Рассеяние

1. Построить фазовую теорию упругого рассеяния в поле бесконечного однородного цилиндра  $U(r) = \sqrt{z_x^2 + z^2}$ . Определить амплитуду и сечение рассеяния.

2. Определить фазы упругого рассеяния на идеально отражающем бесконечно длинном цилиндре радиуса  $R$ , ( $\varphi(R) = \varphi_0$ ). Показать, что в классическом пределе получается правильное направление движения отраженной частицы.

3. Пусть внутри идеально отражающего цилиндра (см. задачу № 2) создано однородное магнитное поле  $\mathcal{K}$ , направленное по оси цилиндра. Показать, что при этом фазы упругого рассеяния электрона в цилиндре изменятся, хотя электрон не проникает в область действия поля (эффект Бома-Аврекова, обсуждение см. Фейнман, Лекции [4] т. 9).

4. Найти фазы рассеяния в поле  $U = \sqrt{z_x^2 + z^2}$ . Определить сечение рассеяния на малые углы. Объяснить вид углового распределения при  $K \rightarrow 0$ .

5. Рассмотреть ядерную реакцию, идущую через промежуточное состояние  $A + a \rightarrow C + \beta^+$ . Каким будет угловое распределение (усредненное по поляризации) продуктов ядерной реакции в системе, где ядро  $C$  лежит, если резон нулев:

а) спин ядра  $C$  ,  
б) орбитальный момент относительного движения продуктов реакции,

в) орбитальный момент относительного движения стелкивающихся частиц.

6. Объяснить, почему в первом борновском приближении не выполняется оптическая теорема.

7. Используя оптическую теорему, установить критерий неприменимости первого борновского приближения.

8. Быстрой электрон упруго рассеивается протоном, находящимся в изотропном осцилляторном потенциале  $U = \frac{1}{2} m \omega^2 (\rho^2 + y^2 + z^2)$ . Найти дифференциальное сечение упругого рассеяния, если:

а) протон в основном состоянии,

б) распределение протона по осцилляторным состояниям определяется температурой  $T$ . Исследовать предельные случаи  $T \ll \omega$ ,  $T \gg \omega$ .

9. Как получить сечение упругого рассеяния электрона на протоне на экспериментальных данных о рассеянии электрона в водороде? С какой точностью это сечение совпадает с измеренным при рассеянии на  $60^\circ$  при  $E_e = 500 \text{ eV}$ ?  
10. Следить сечение рассеяния электрона на тяжелом атоме на малые углы с диамагнитной восприимчивостью атома.

11. Изучить распределение протонов в реакции срывания  $A + \gamma \rightarrow A' + p$ . Считать, что взаимодействие deutона с тяжелым ядром радиуса  $K$  происходит на поверхности ядра, причем нейтрон захватывается на оболочку ядра с энергией  $-E_K$  и моментом  $\ell'$ , протон с ядром не взаимодействует, кулоновским взаимодействием и спином deutона пренебречь.

12. Вычислить вероятность упругого рассеяния электрона на почты монохроматической стоячей световой волны частоты  $\omega$  с плотностью энергии  $U_\omega$  (энергия стоячей волны в интервале частот  $\omega \pm \Delta\omega$  равна  $U_\omega \Delta\omega$ ). Определить угол рассеяния электрона. Оценить сечение для рассеяния на стоячей лазерной волне (эффект Капицы-Дрекка).

13. Сформулировать условия, которым должны удовлетворять фазы рассеяния в случае, когда одновременно применимы борновское и квазиквазичастичное приближения.

14. Оценить, для каких  $\ell \gg 1$  перестает работать квазиклассическое распределение для потенциала  $U = U_0 e^{-\sqrt{z_\omega} \ell}$ .

15. Оценить сечение рассеяния на потенциале  $U = g^2 e^{-\sqrt{z_\omega} \ell}$ , если  $g^2 \gg \hbar \omega$  и  $\hbar \omega \ll \omega$  (антиторновский случай);  $\omega = \hbar \kappa / m$ .

46. Определить дифференциальное сечение рассеяния частицы на идеальном соленоиде радиуса  $R$  (см. зад. 2). При

$$\kappa R \gg 1; \quad b) \quad \kappa R \ll 1.$$

В случае б) сравни с классическим результатом (см. Батырин Б.В., Тоннгин И.Н. Сборник задач по электродинамике, 1970, зад. 45).

Г7. Найти амплитуду упругого рассеяния на потенциале отталкивания:

$$V = V_0 \left( 1 - \frac{r^2}{R^2} \right), \quad r < R;$$

$$V = 0, \quad r > R$$

при  $E \gg V$ , на малые углы  $\theta \ll 1$ . Рассмотреть случаи

$$\theta \ll (\kappa R); \quad 1 \gg \theta \gg (\kappa R)$$

а) в борновском приближении,

$$b) \text{ в ВКБ, при } V_0 \ll \hbar^2 k / m R \text{ сравнить с п. а.)}$$

18. Вывести выражение для фазы рассеяния при высоких энергиях  $E \gg V; \quad \kappa r \gg 1$ . Показать, что найденные фазы (которые, вообще, не маль) совпадают с полученными из амплитуды первого борновского приближения.

19. Найти связь между временем жизни  $\tau$  позитрона в состоянии  $\psi = 0$  и сечением аннигиляции  $e^+ e^- \rightarrow 2\gamma$  при малых скоростях  $\kappa \ll c$  (оценку сечения аннигиляции см. в задаче 16 § 12).

Указание: аннигиляция происходит на расстояниях порядка

$$t_c = \hbar / mc \approx \alpha_B.$$

20. Показать, что фаза рассеяния  $\delta$  с  $c \ll \infty$  для потенциала  $V(r) = C/r^2$  при  $\kappa \ll c$  при малых энергиях  $\kappa \ll c$  ведут себя следующим образом:

$$\delta \sim \kappa^{-2}, \quad 2\ell+3 \ll \infty;$$

$$\delta \sim \kappa^{-2}, \quad 2\ell+3 = \infty;$$

$$\delta \sim \kappa^{-2}, \quad 2\ell+3 > \infty.$$

Указание: использовать общее выражение для фазы рассеяния

$$\delta_{\text{ан}} = - \int d\omega \frac{2\pi \hbar^2}{\kappa^2 \omega^2} J_{\ell+1/2}(\kappa \omega) J_{\ell+1/2}(\omega).$$

47. Определить точные радиальные функции для движения частицы в потенциале  $U_0$  и для свободного движения, где  $U_0/\kappa^2, \quad \theta/\kappa^2$  — соответственно точные радиальные функции

$$f_c(x) = \sqrt{\frac{\pi}{2}} J_{\ell+1/2}(x).$$

21. Объяснить, почему при  $\kappa \rightarrow 0$  резонансное сечение рассеяния не становится изотропным.

22. Определить сечение упругого рассеяния медленной частицы на правоугольной сферической потенциальной яме радиуса  $R$  и грани  $\mathcal{U}$ . Исследовать зависимость сечения от параметров ямы (резонансное рассеяние, эффект Рамзера). Найти связь между полосами амплитуды рассеяния и дискретным спектром в яме. Показать, что амплитуды рассеяния при наивысшем уровне с малой энергией и виртуального уровня при  $\kappa \rightarrow 0$  отличаются знаком. Из найденного ответа получить сечение рассеяния отталкивющей сферой и найти предел, к которому стремится сечение при  $\kappa \rightarrow 0$ .

23. Найти сечение рассеяния медленных частиц  $\kappa \ll 1$  в поле отталкивания

$$U = 0, \quad r < a; \\ U = U_0 \left( \frac{r}{a} \right)^2, \quad r > a.$$

Сравнить с борновским приближением при  $U_0 \ll \hbar^2 k / m a^2$ .

24. Найти сечение рассеяния медленных частиц  $\kappa \rightarrow 0$  на сферической потенциальной яме  $U = U_0 \left( \frac{r}{a} \right)^2$ .

25. В отрицательном ионе водорода электроны могут находиться в синглетном состоянии с энергией связи  $E = 0.75 eV$ . Найти сечение рассеяния медленных электронов, поляризованных под углом  $\vartheta$  к оси  $Z$  на атомах водорода, у которых электроны поляризованы по оси  $Z$ . Сравнить величину сечения с сечением нерезонансного рассеяния.

26. Обсудить, может ли при рассеянии сильно взаимодействующей заряженной частицы кулоновское упругое рассеяние быть больше ядерного. Сравнение провести при различных углах рассеяния и энергии.

27. Протоны с энергией 100  $keV$  рассеиваются ядрами алмаза ( $\zeta = 13$ ). Интенсивность рассеяния назад ( $\vartheta = 180^\circ$ ) составляет 96% от значения, вычисленного по формуле Резерфорда. Допустим, что наблюданное рассеяние обусловлено изменением фазы

только  $S$  - волны (т.к. для взаимодействия с ядром протона медленные  $\kappa R_A \ll 1$ ). Найти добавку к кулоновской фазе  $\delta$ . Чему она соответствует: притяжению или отталкиванию?

28. С известной точностью можно ожидать, что распад  $\Sigma^+ \rightarrow \pi^+ \eta$  идет только в  $S$  - волне, а  $\Sigma^- \rightarrow \pi^- \eta$  только в  $P$  - волне. Определить, как связана поляризация  $\Sigma$  нейтрона с начальной поляризацией  $\eta$  гиперона  $\Sigma^+$ ; нейтрон вылетает в направлении  $\vec{v}$ .

29. Неполяризованный поток нейтронов рассеивается на поляризованной водородной мишени. Амплитуда рассеяния  $f = A + B \frac{1}{\sqrt{z}} \frac{1}{\sqrt{z_2}}$ . Найти степень поляризации нейтронов после рассеяния

$$P = \frac{d\sigma_{11} - d\sigma_{11}}{d\sigma_{11} + d\sigma_{11}}.$$

30. Основное состояние deutона является триплетным с энергией связи  $2,2 \text{ MeV}$ , что значительно меньше потенциала ядерного взаимодействия нуклона на малых расстояниях (порядка  $25 \text{ MeV}$ ). Если бы других связанных или виртуальных состояний deutона не существовало, то сечение рассеяния медленных неполяризованных протонов на нейтронах должно было бы иметь величину порядка  $2 \text{ барн}$ . Уже первые измерения этого сечения (Cohen V. et al., 1939).

показали, что оно значительно больше (порядка 20 барн.). На основании этого Вигнер выдвинул предположение о спиновой зависимости ядерного взаимодействия и о наличии более мелкого виртуального или связанных уровней в синглетном состоянии нейтрона с протоном. Найти величину энергии этого уровня.

31. Эксперименты по рассеянию медленных неполяризованных нейтронов на протонах свидетельствуют о наличии очень мелкого уровня в синглетном состоянии. Однако характер этого уровня остается неопределенным (см. зад. 30). Геллер и Шингер показали, что ответ может дать опыты по рассеянию нейтронов на молекулах пароводорода. В соответствии с измерениями (Surya A., Goldhaber M., 1949) данными авторами был получен результат  $\sigma_{пара} = 3,9 \text{ барн}$ . Определить, исходя из этого, каким является синглетное состояние deutона: связанным или виртуальным. С какой точностью должно измеряться сечение?

32. Для усреднения по спиновым состояниям удобно записать амплитуду рассеяния  $(n, p)$  в виде оператора

$$f = \frac{1}{2} (f_S + 3 f_T) + (f_E - f_C) / (\sqrt{5}, \sqrt{5}),$$

где  $f_S, f_T$  - амплитуды синглетного и триплетного рассеяния;  $\vec{S} = \frac{1}{2} \vec{\sigma}$  - оператор спина.

33. Взаимодействие нуклона с ядром описывается комплексной ямой  $U(z) = \frac{(1+i\gamma)}{2} V(z)$  и спин-орбитальным взаимодействием  $U_{LS} = -\frac{e^2}{2} \frac{\partial V}{\partial z} / (\sqrt{5})$ , где  $\gamma, \alpha$  - константы. Найти в борновском приближении дифференциальное сечение рассеяния неполяризованного пучка и его поляризацию после рассеяния, выражив их через борновскую амплитуду рассеяния  $f_B(\theta)$  на потенциале  $V(z)$ .

34. Найти амплитуду и сечение рассеяния нерелятивистского электрона на нейтроне. Сечение вычислить для неполяризованных частиц.

35. Столкнувшись два поляризованных пучка тождественных частиц со спином  $1/2$ . Показать, что

$$\frac{d\sigma}{d\Omega} = \frac{1}{4} (|(-C_{11})| |f(0) + f(\pi-\theta)|^2 + \frac{1}{4} (3 + C_{11}) |f(0) - f(\pi-\theta)|^2),$$

где  $\gamma$  - угол между векторами поляризаций пучков.

36. Пусть потенциал взаимодействия двух тождественных борновского барьера шириной  $a$ , глубины  $U_0$ ,  $a > \tau^2 / m_e^2$ . Найти дифференциальное сечение рассеяния медленных частиц друг на друге при малых энергиях в триплетном и синглетном состояниях.

37. Пусть короткодействующие силы между тождественными частичками со спином  $1/2$  и спином  $0$  не зависят от спина. Найти, как ведет себя отношение упругих сечений

$$d\sigma(\frac{1}{2}; \frac{1}{2}) \quad \text{к} \quad d\sigma(0; 0) \quad \text{при} \quad E \rightarrow 0.$$

38. Найти дифракционную картину, возникающую при упругом рассеянии электронов в газе двухатомных молекул. Расстояние между атомами в молекуле  $a$ , потенциал каждого атома есть

$$\bar{U} = \frac{\omega}{2} e^{-\sqrt{z}/2}, \quad z = \frac{t^2}{m^2 c^2}$$

Оценить, при каких энергиях можно наблюдать эту картину, считая

$a \sim 3\text{ Å} \sim 3 \cdot 10^{-10} \text{ м}$ . Рассмотреть случай больших и малых передаваемых импульсов  $q_a \gg 1, q_a \ll 1$ .

38. Выразить дифференциальное сечение упругого рассеяния нейтронов системой ядер, расположенных в узлах кристаллической решетки, через амплитуду рассеяния на одиночном ядре. Получить формулу Вульфа-Грассга. Оценить ширину дифракционных максимумов  $\Delta\theta$  для конечной решетки с линейным размером  $L$ . Нарисовать графики зависимости сечения от угла рассеяния в одной из плоскостей кристаллической решетки.

39. Выразить длину рассеяния медленной частицы  $\kappa R \ll 1$  на двухатомной молекуле с межатомным расстоянием  $R$  через длины рассеяния на каждом из атомов  $a_1, a_2; a_1, a_2 \ll R$  с учетом членов порядка  $a/R$ .

Указание: для медленных частиц вне области действия потенциала  $a \ll z \ll R$ ,  $f(z) \approx f_0 (1 - a/z)$ .

40. Выразить амплитуду рассеяния на двух центрах, находящихся на расстоянии  $R$  друг от друга, через амплитуды рассеяния на каждом из центров  $f_1, f_2$  с учетом поправок порядка  $f_1 f_2/R$ . Считать, что радиус действия сил в каждом из центров мал по сравнению с расстоянием  $R$  между ними и  $R \gg 1$ .

41. Пусть сильное взаимодействие моделируется поглощением черным шаром конечного радиуса. Будут ли конечными полные сечение реакций а)  $\pi^- p \rightarrow \pi^- \eta$ , б)  $\pi^+ p \rightarrow \pi^+ \rho$  с учетом электромагнитного взаимодействия?

42. Найти сечение рассеяния электронов на заряженном трехмерном изотропном осцилляторе с потерей энергии  $\alpha = \frac{1}{4}\omega_s, \delta_s = m\omega_s$ . До рассеяния осциллятор находился в основном состоянии (модель возбуждения колебательных уровней молекулы).

43. Оценить энергию, приобретаемую в единицу времени низкозамедленным заряженным изотропным осциллятором, который облучается потоком электронов с плотностью  $\rho$  и энергией  $E$ .

44. Найти дифференциальное сечение рассеяния электронов на водороде в основном состоянии с возбуждением состояний  $n_f = 2, l_f = 0, 1$ . Тождественность пренебречь.

45. Найти вероятность неупругого рассеяния электрона с энергией  $E$  на атоме водорода с потерей энергии  $\varepsilon$ ,  $E \gg \varepsilon \gg I$ ,  $I$  — потенциал ионизации водорода.

46. Выразить сечение неупругого рассеяния быстрого электрона с начальной скоростью  $v_0$  на атоме с возбуждением  $n_f$ -го уровня ( $E_i - E_f \ll \hbar v_0/a_B$ ) через матричные элементы dipольного момента атома (приближение Бете). Связать найденное сечение с сечением поглощения линейно поляризованного квантена (ср. с методом эквивалентных фотонов Вайцзекера-Вильямса).

47. Оценить характерные приельные параметры, при которых происходит передача энергии от возбужденного атома к такому же невозбужденному при столкновении с относительной скоростью  $v_0$ . Вычислить сечение рассеяния нейтрона массы  $m_n$ , движущегося со скоростью  $v$  в кубическом кристалле, с возбуждением одного фонона. Потенциал взаимодействия нейтрона с узлом решетки принять равным  $V_0 \delta(\sqrt{z} - \sqrt{s})$ . В начале решетка не возбуждена, её параметры: один атом массы  $M$  в электронной ячейке, скорость продольных звуковых волн  $S$ , число атомов в решетке  $N$ . Показать, что при  $v \ll S$  нейтрон рассеивается только на кристалле как целом (ср. с эффектом Мессбауэра).

49. а) Связать реакции  $\gamma + p \rightarrow \pi^+ \pi^- \eta$  вблизи порога прямой реакции  $\gamma + \omega \rightarrow \pi^+ \pi^-$ ; б) определить сечение радиационной рекомбинации дейтона  $p + n \rightarrow d + \gamma$  по сечению фоторасщепления дейтона (см. задачу 24 из § 8).

50. Выразить сечение радиационной рекомбинации быстрого электрона  $e^-$  с протоном  $e^- p \rightarrow H + \gamma$  через сечение фотопроекта, если образуется водород в состоянии  $C, n_f = 1; l_f = 2$ .

51. Найти сечение радиационной рекомбинации быстрого электрона  $e^-$  с протоном  $e^- p \rightarrow H + \gamma$  через сечение фотопроекта, если образуется водород в состоянии  $C, n_f = 1; l_f = 2$ .

в 2 γ кванта  $\pi(e^+ - 2\gamma)$ . Определить сечение не наблюдавшихся до сих пор реакций  $\pi^+\pi^- \rightarrow 2\gamma$  и  $\gamma\gamma \rightarrow e^+e^-$  при той же энергии  $E$ . (Обратить внимание на тождественность квантов).

### § III. Уравнение Дирака

Обозначения:

$$\begin{aligned} \alpha_\mu \beta_\nu &= \alpha_\nu \beta_\mu - \tilde{\alpha}_\nu \tilde{\beta}_\mu, \quad \partial_\mu = \left( \frac{1}{c} \frac{\partial}{\partial t}, -\vec{\nabla} \right), \\ \gamma_0 &= \begin{pmatrix} I & 0 \\ 0 & -I \end{pmatrix}, \quad \gamma_m = \begin{pmatrix} 0 & \gamma_m \\ -\gamma_m & 0 \end{pmatrix}, \quad \gamma_5 = -i \gamma_0 \gamma_1 \gamma_2 \gamma_3, \\ \gamma_{\mu\nu} &= \frac{1}{2} (\gamma_\mu \gamma_\nu - \gamma_\nu \gamma_\mu), \quad \tilde{\alpha}_\mu = \alpha^\dagger \gamma_\mu. \end{aligned}$$

Греческие индексы пробегают значения 0, 1, 2, 3, латинские – 1, 2, 3.

Нормировка:

$$\tilde{\alpha}_\mu \alpha^\dagger = 2E/c.$$

1. Как преобразуется дираковский спинор при пространственных поворотах и преобразованиях Лоренца?

2. Получить волновую функцию свободного электрона прямым преобразованием Лоренца из системы покоя.

3. Доказать градиентную инвариантность уравнений Клейна–Гордона и Дирака для заряженной частицы в электромагнитном поле. Какому закону сохранения соответствует инвариантность относительно градиентного преобразования, не зависящего от координат?

4. Доказать, что уравнение Дирака эквивалентно уравнению

$$\int [(\not{i}\not{\partial}_\mu - \frac{e}{c}\not{A}_\mu)^2 - \frac{e^2\hbar^2}{2c}\not{\partial}_\mu \not{\partial}_\nu \not{F}_{\mu\nu} - m^2 c^2] \psi = 0.$$

Сравнить выписанное уравнение второго порядка с уравнением Клейна–Гордона.

5. Вычислить матричные элементы  $\bar{\psi}_2 \psi_1$ ,  $\bar{\psi}_2 \not{\partial}_1 \psi_1$ ,  $\bar{\psi}_2 \not{\partial}_2 \psi_1$ .

В случае свободного движения при совпадающих состояниях 1 и 2. Найти нерелятивистический предел этих матричных элементов, если состояния 1 и 2 различны.

6. Упростить произведение матриц  $\gamma_\mu \gamma_\nu$ ,  $\gamma_\mu \not{\partial}_\nu$ ,  $\not{\partial}_\mu \gamma_\nu$ .

$\gamma_\mu \not{\partial}_\nu \gamma_\lambda$ .

7. Доказать тождество

$$\begin{aligned} \delta_1 \gamma_\mu \gamma_\nu &= \delta_{1\mu} \delta_{1\nu} + \delta_{1\nu} \delta_{1\mu} - \delta_{1\mu} \delta_{1\nu} - i \gamma_{1\mu} \gamma_{1\nu}, \\ \delta_{1\mu} \delta_{2\lambda} &= -\delta_{1\mu} \delta_{2\lambda} \Gamma + \delta_{1\lambda} \delta_{2\mu} + i \gamma_{1\mu} \gamma_{2\lambda}. \end{aligned}$$

$$\text{Здесь } \delta_{\mu\nu} = \begin{cases} 1 & \mu = \nu = 0, \\ -1 & \mu = \nu = 1, 2, 3, \\ 0 & \mu \neq \nu \end{cases} \quad \gamma_{1\mu} \gamma_{2\lambda} - \text{полностью}$$

антисимметричный тензор четвертого ранга,  $\epsilon_{0123} = 1$ ;

$\Gamma$  – единичная матрица.

8. Вычислить следы произведений  $\gamma$  – матриц:  $\gamma_1 \gamma_2$ ,  $\gamma_1 \not{\partial}_2$ ,  $\not{\partial}_1 \gamma_2$ ,  $\not{\partial}_1 \gamma_2 \gamma_1$ .

9. Найти оператор скорости дираковской частицы. Чему равны его собственные значения? Как объяснить полученный результат?

10. Вычислить для дираковской частицы производную по времени от оператора  $\not{p} - \frac{e}{c} \not{A}$ . Сравнить результат с классическим уравнением движения.

II. Показать, что в центрально-симметричном поле оператор

$$\not{r} \not{X} (\not{p} - \frac{e}{c} \not{A}) + \frac{e}{2} \sum \not{\partial}_\mu \not{\partial}_\nu \not{F}_{\mu\nu}, \quad \text{где } \sum = \gamma_\mu \gamma_\nu \not{A}^2,$$

является интегралом движения. Дать физическую интерпретацию результата.

12. Показать, что в магнитном поле, не зависящем от времени, оператор

$$\sum \cdot \frac{(\not{p} - \frac{e}{c} \not{A})}{|\not{p} - \frac{e}{c} \not{A}|}$$

(называемый спиральностью) сохраняется. Чему равна в этом случае частота пререссии спина?

13. Доказать, что для связанных электрона в кулоновском поле энергия стационарного состояния

$$E_n = mc^2 \left\langle n / \epsilon_0 / n \right\rangle$$

(это соотношение является аналогом теоремы вирхеля).

14. Получить из уравнения Дирака во внешнем поле уравнение Пеули.

15. Найти релятивистские поправки к уравнению Пеули во внешнем поле.

16. Используя результат предыдущей задачи, найти тонкую структуру спектра атома водорода. Почему в данном случае использование обычной теории возмущений (без учета взаимодействия) приводит к правильному результату?

17. Получить из уравнения Клейна-Гордона во внешнем поле уравнение Шредингера с релятивистскими поправками. Найти тонкую структуру спектра в кулоновском поле. (Такой спектр имеет высокие возбудженные состояния  $\pi^-$  — мезонов, связанных кулоновским полем протона).

18. Сколько линий в спектре атома водорода соответствует разрешенным переходам между состояниями с  $\lambda = 2$  и  $\lambda = 3$ ? Сколько было бы линий, если бы электрон описывался уравнением Клейна-Гордона?

19. До какого порога по  $\frac{E}{mc^2}$  следует доводить расчет спектра атома водорода, используя обычное уравнение Дирака в кулоновском поле? Перечислить и оценить эффекты, которые приводят к смещению уровней и не учитываются этим уравнением.

20. Показать, что оператор  $\frac{e^2 \vec{r}}{\epsilon} \cdot \sum_{\lambda} \frac{i\hbar}{mc} (\vec{E} \cdot \vec{p} + 1/b_{\lambda}) (H - mc^2)$  является интегралом движения в кулоновском поле. Найти нерелятивистский предел этого оператора. С каким свойством спектра атома водорода связано существование указанного интеграла движения? (см. ответ задачи 16).

21. Найти уровни энергии и волновые функции Дираковской частицы в постоянном однородном магнитном поле.

22. Найти магнитный момент частицы, описываемой уравнением

$$\left[ \gamma_p (i\vec{k} \partial_{\mu} - \frac{e}{c} A_{\mu}) - \frac{ie\gamma_{\mu}}{4mc^2} \sigma_{\mu\nu} \partial_{\nu} \right] \psi = 0.$$

23. Показать, что уравнение Дирака в ультрарелятивистском пределе можно свести к двум независимым уравнениям для двухкомпонентных спиноров. Что можно сказать о поляризации частиц, описываемых этими уравнениями? Как преобразуются двухкомпонентные спиноры при пространственной инверсии? Выразить через эти спиноры электромагнитный ток.

24. Найти в борновском приближении сечение рассеяния релятивистского электрона на кулоновском центре. Почему в ультрарелятивистском случае дифференциальное сечение рассеяния назед оказывается сильно подавленным?

25. Найти в борновском приближении сечение рассеяния релятивистской заряженной скалярной частицы на кулоновском центре. Объяснить, почему отличие между результатами этой и предыдущей задач не содержит постоянной Планка.

### § 12. Изотопический спин.

Различные правила отбора.

### Простейшие оценки в квантовой электродинамике

I. Доказать, что

- a)  $d\delta(\rho + d \rightarrow \pi^+ + n + d) = d\delta(n + d \rightarrow \pi^- + \rho + d),$
- б)  $d\delta(\rho + p \rightarrow \pi^+ + d) = d\delta(n + n \rightarrow \pi^- + d),$
- в)  $d\delta(\pi^+ + \rho \rightarrow \pi^+ + \rho) = d\delta(\pi^- + n \rightarrow \pi^- + n),$
- г)  $d\delta(n + p \rightarrow \rho + \rho + \pi^-) = d\delta(n + \rho \rightarrow n + n + \pi^-),$

где  $d\delta$  — дифференциальные эффективные сечения, соответствующих реакций, занятые при одних и тех же относительных энергиях, углах разлета и взаимных ориентациях спинов.

2. Доказать, что

$$a) d\sigma(\rho + d \rightarrow \bar{\pi}^+ + n + \alpha) = 2d\delta(\rho + d \rightarrow \bar{\pi}^0 + \rho + d),$$

$$b) d\delta(\rho + \rho \rightarrow \bar{\pi}^+ + d) = 2d\delta(n + \rho \rightarrow \bar{\pi}^+ + d),$$

$$b) d\delta(\bar{\pi}^+ + \rho \rightarrow \bar{\pi}^+ + \rho) + d\delta(\bar{\pi}^- + \rho \rightarrow \bar{\pi}^- + \rho) = \\ = d\delta(\bar{\pi}^- + \rho \rightarrow \bar{\pi}^0 + n) + 2d\delta(\bar{\pi}^0 + \rho \rightarrow \bar{\pi}^0 + \rho).$$

Попытайтесь доказать приведенные соотношения, не используя коэффициенты векторного сложения. Для этого следует рассмотреть результаты, идущие из начального состояния, неполяризованного по изospину, и учесть результаты а) - в) предыдущей задачи.

Указанный метод был предложен И.М.Шульиковичем.

3. Показать, что сечение реакции 1)  $\bar{\rho} d \rightarrow \bar{\pi}^+ \bar{\pi}^- \eta$ :

$$2) \bar{\rho} d \rightarrow \bar{\pi}^0 \bar{\pi}^0 \eta; \quad 3) \bar{\rho} d \rightarrow \bar{\pi}^- \bar{\pi}^0 \rho \quad \text{связано соотношением}$$

и имеет

$$\sigma_1 = 2\sigma_2 + \frac{1}{2}\sigma_3.$$

4. Найти отношения

$$d\delta(\bar{\pi}^+ + \rho \rightarrow \bar{\pi}^+ + \rho) : d\delta(\bar{\pi}^- + \rho \rightarrow \bar{\pi}^- + \rho) : d\delta(\bar{\pi}^0 + \rho \rightarrow \bar{\pi}^0 + \rho)$$

в предположении, что рассеяние происходит в основном через промежуточное состояние с изотопическим спином  $3/2$ .

5. Доказать, что в пределе точной изотопической симметрии имеет место неравенство

$$d\sigma_{np}(\theta) + d\sigma_{np}(\bar{\pi} - \theta) \geq d\sigma_{pp}(\theta).$$

Здесь  $d\sigma_{np}(\theta)$  и  $d\sigma_{pp}(\theta)$  - дифференциальные сечения упругого  $np$  и  $pp$  рассеяния на угол  $\theta$ , взятые при одинаковых энергиях и поляризациях частиц.

6. Чему равны орбитальными моментами обладают состояния, в которых может идти реакция

$$\bar{\pi}^+ + \bar{\pi}^- \rightarrow \bar{\pi}^0 + \gamma \gamma?$$

7.  $\rho^0$ -мезон имеет квантовые числа  $J^P = 0^-$ . (Здесь  $J$  означает момент состояния, а  $P$  - его четность). Возможны ли распады:

$$a) \rho^0 \rightarrow 2\bar{\pi}^0, \quad b) \rho^0 \rightarrow \bar{\pi}^+ \bar{\pi}^-, \quad c) \rho^0 \rightarrow \bar{\pi}^0 \chi? \quad ?$$

$$a) \rho^0 \rightarrow 2\bar{\pi}^0, \quad b) \rho^0 \rightarrow \bar{\pi}^+ \bar{\pi}^-, \quad c) \rho^0 \rightarrow \bar{\pi}^0 \chi? \quad ?$$

$$a) \rho^0 \rightarrow 2\bar{\pi}^0, \quad b) \rho^0 \rightarrow \bar{\pi}^+ \bar{\pi}^-, \quad c) \rho^0 \rightarrow \bar{\pi}^0 \chi? \quad ?$$

8. Квантовые числа  $\rho^0$ -мезона  $\Gamma$ . Возможны ли распады:

$$a) \rho^0 \rightarrow 2\bar{\pi}^0, \quad b) \rho^0 \rightarrow \bar{\pi}^+ \bar{\pi}^-, \quad c) \rho^0 \rightarrow \bar{\pi}^0 \chi? \quad ?$$

9. Квантовые числа  $\omega$  - мезона  $\Gamma$ , а его изотопический спин равен нулю. Возможны ли распады: а)  $\omega \rightarrow 2\bar{\pi}^0$ , б)  $\omega \rightarrow \bar{\pi}^+ \bar{\pi}^-$ ?

$$a) \omega \rightarrow 2\bar{\pi}^0, \quad b) \omega \rightarrow \bar{\pi}^+ \bar{\pi}^-, \quad c) \omega \rightarrow \bar{\pi}^0 \chi? \quad ?$$

10. Квантовые числа  $\varphi$  - мезона  $\Gamma$ , а  $K$  - мезонов  $0^-$ . Изотопический спин  $\varphi$  - мезона равен нулю, а  $K$  - мезонов  $1/2$ .

Покажите, что в силу изотопической инвариантности вероятности распадов  $\varphi \rightarrow K^+ K^-$  и  $\varphi \rightarrow K^0 \bar{K}^0$  должны быть равны. Чем объясняется, что на самом деле отношение этих вероятностей существенно больше единицы? (Разные эксперименты дали для этого отношения значения, лежащие в интервале  $1,3 \div 2,1$ ).  $m_\varphi = 1019$  МэВ,  $m_{K^\pm} = 494$  МэВ,  $m_{K^0} = 498$  МэВ.

11. Покажать, что захват  $\bar{\pi}^-$ -мезона с  $S$  - уровнем мезодестериана, приводящий к реакции

$$\bar{\pi}^- + d \rightarrow 2\eta,$$

был бы запрещен, если бы  $\bar{\pi}^-$ -мезон имел квантовые числа  $0^+$ .

12. Из эксперимента известно, что процесс  $\bar{\pi}^- + d \rightarrow \bar{\pi}^0 + 2\pi$  идет с очень малой вероятностью. Что можно сказать об относительной внутренней четности  $\bar{\pi}^-$ - и  $\bar{\pi}^0$ -мезонов, если захват  $\bar{\pi}^-$ -мезона может происходить генетным образом с  $S$  - уровнем мезодестериана?

13. Какова относительная ориентация линейных поларизаций  $\chi$  - квантов в распаде  $\bar{\pi}^0 \rightarrow 2\chi$ ?

14. Могут ли два фотона находиться в состоянии с полным моментом единицы?

15. В силу соотношения неопределенности позитроний может на короткое время превратиться в один фотон. Оценить величину поправки к спектру, вызванной этим эффектом. Какие условия и в какую сторону смещаются по указанной причине?

16. Оценить сечение аннигиляции  $e^+e^- \rightarrow 2\gamma$  в пределе малой относительной скорости  $\gamma$  начальных частиц.

17. Оценить время жизни пары- и ортопозитронии.

18. Позитроний находится в  $2P$  состоянии с полным моментом нуль. Что более вероятно: переход с излучением в  $1S$  состояние или аннигиляция?

19. На встречных электрон-позитронных пучках наблюдается реакция  $e^+e^- \rightarrow \bar{\pi}^+\bar{\pi}^-$ . Могут ли рождающиеся  $\bar{\pi}$ -мезоны двигаться вдоль направлений пучков? (При обсуждении этого вопроса и решении следующей задачи необходимо учесть результаты задачи 23 из предыдущего раздела). Что можно сказать 1) об угловой зависимости сечения; 2) о его зависимости от импульса  $\bar{\pi}$ -мезона величины порога, если реакция идет через промежуточный  $\gamma$ -квант?

20.  $\rho^0$ -мезон может распадаться на пару  $e^+e^-$  или на пару  $\mu^+\mu^-$  через промежуточное состояние с двумя  $\gamma$ -квантами. Оценить отношение вероятностей распадов  $\rho^0 \rightarrow e^+e^-$  и  $\rho^0 \rightarrow \mu^+\mu^-$ . ( $\mu$ -мезон описывается уравнением Дирака и взаимодействует с электромагнитным полем так же, как электрон: масса  $\mu$ -мезона  $m_\mu = 106$  МэВ).

21. Постоянное однородное электрическое поле может рождать в вакууме электрон-позитронные пары. Какова характерная зависимость вероятности процесса от напряженности поля?

22. Жесткий  $\gamma$ -квант рождает пару  $e^+e^-$  в кулоновском поле тяжелого ядра. В какую сторону изменится результат для полного сечения, если для электрона и позитрона использовать вместо плоских волн, точные кулоновские волновые функции?

23. Оценить сечение однокантовой аннигиляции позитрона, движущегося со скоростью  $v$ , на атоме водорода.

Указание: процесс рассматривать как излучение с переходом электрона в состояние с отрицательной энергией.

24. Известно, что магнитные моменты протона и нейтрона отличны от значений, следующих из теории Дирака, и равны  $\mu_p = 2,49\mu_e$ ;  $\mu_n = -1,91\mu_e$  ( $\mu_e = \frac{e\hbar}{2m_ec}$ ). Предполагая, что отличие возникает за счет временной (на время  $\tilde{\tau} \sim \frac{\hbar}{m_e c^2}$ ) диссоциации нуклона на нуклон и  $\bar{n}$ -мезон, оценить отношение аномальных магнитных моментов  $\frac{\mu_p}{\mu_n} - \frac{\mu_n}{\mu_p}$ .

Считать, что  $m_p \gg m_{\bar{n}}$ .

$$n_2 \gg n_\varphi, \quad \varepsilon \approx \frac{\pi^2}{3} \frac{n_2^2}{mR^2} \left( \frac{n_2}{n_\varphi} + 1 \right)^2;$$

$$9. \quad \frac{2^4}{3^2 \pi^2} \frac{1}{\nu^2} \left( \frac{m^2 a^2}{\hbar^2} \right)^{3/2}, \quad n_2 \ll n_\varphi, \quad \varepsilon \approx \frac{n_2^2}{2mR^2} [1 + \left( \frac{3\pi}{2} \frac{n_2}{n_\varphi} \right)^{3/2}].$$

## ОТВЕТЫ И УКАЗАНИЯ

## § I. Основные принципы квантовой механики

I.  $\lambda = 5770 \text{ \AA}$

2. а)  $\Delta \omega_\omega \sim 10^{-6}$ , б)  $\Delta \omega_\omega \sim 10^{-1}$   
3.  $\Delta \omega \sim 10^4 \text{ сек}^{-1}$ ;  $\Delta \omega_\omega \sim 10^{-15}$

4.  $\tau \sim \nu^{-3} \frac{\hbar}{E} \sim 10^{-10} \text{ сек}$

5.  $\sin^2 \vartheta = \frac{(\Delta \varepsilon)^2}{4\varepsilon(\varepsilon - \Delta \varepsilon)} \left[ 2 \frac{\varepsilon}{m u^2} - 1 - \frac{\Delta \varepsilon}{m u^2} - \left( \frac{\Delta \varepsilon}{2 m u^2} \right)^2 \right],$

$\vartheta$  – угол рассеяния,  $\varepsilon$  – начальная энергия,  
 $\Delta \varepsilon$  – изменение энергии,  $u$  – скорость азота.

Если  $\varepsilon \gg mu^2$ ,

$$\Delta \varepsilon \approx \sqrt{2 \varepsilon m u^2} \sin \vartheta.$$

6.  $\omega = \frac{2c}{\hbar(n^2-1)} \left( \sqrt{m^2 c^2 + p^2} - \hbar \cos \vartheta \right),$

$n$  – показатель преломления,  $p$  – начальный импульс.

8. а)  $\varepsilon_n = n \hbar \omega$ ;

б)  $\sqrt{\frac{2\varepsilon m R^2}{n_\varphi^2} - 1} - \arccos \frac{n_\varphi}{R \sqrt{2m\varepsilon}} = \frac{\pi n_2}{2 n_\varphi}$ ,

$$10. \quad \vartheta = 27,5^\circ, \quad d = 2,064, \quad \Delta \lambda / \lambda \sim \Delta \varepsilon / \varepsilon < \frac{1}{4}.$$

$$11. \quad \tau > 10^{-9} \exp(10^{20}) \text{ сек},$$

$$12. \quad \Delta \omega / \omega \sim \nu^3 \sim 10^{-6},$$

$$13. \quad \hbar \sim 10^{-16} \text{ см}^{-3},$$

$$14. \quad \tau \sim \frac{\hbar}{2c} \sim 3 \cdot 10^{-25} \text{ с},$$

$$15. \quad \Delta x^2 = \alpha^2/4, \quad \Delta p^2 = \hbar^2/\alpha^2, \quad \bar{p} = \hbar k_0;$$

$$16. \quad \Delta x^2 = \alpha^2/2, \quad \Delta p^2 = \hbar^2/4\alpha^2, \quad \bar{p} = 0;$$

$$17. \quad \Delta x^2 = \alpha^2/12, \quad \Delta p^2 = \infty, \quad \bar{p} = 0.$$

$$18. \quad m_\pi \sim \frac{\hbar}{2c} \sim 300 \text{ м.e.}$$

$$21. \text{ а) } \Delta x^2 = \alpha^2/4, \quad \Delta p^2 = \hbar^2/\alpha^2, \quad \bar{p} = \hbar k_0,$$

$$\text{б) } \Delta x^2 = \alpha^2/2, \quad \Delta p^2 = \hbar^2/4\alpha^2, \quad \bar{p} = 0;$$

$$22. \text{ а) } E \sim \left( \frac{\hbar^4}{m} \frac{d}{m_2} \right)^{1/3},$$

$$\text{б) } E \sim \hbar \omega,$$

$$23. \quad E_n = \frac{(J \pi \hbar)^2}{2ma^2}, \quad \Psi = \sqrt{\frac{2}{a}} \sin \frac{J \pi x}{a}.$$

$$24. \text{ а) } W_p = \frac{4 J \pi \hbar^3 a}{[(J \pi \hbar)^2 - (ap)^2]^2} \sin^2 \left( \frac{pa}{2h} - \frac{J \pi n}{2} \right),$$

$$\text{б) } \bar{p} = 0, \quad \bar{x} = \alpha/2,$$

$$\text{в) } \Delta x^2 = \frac{a^2}{12} \left( 1 - \frac{6}{\pi^2 n^2} \right), \quad \Delta p^2 = \left( \frac{J \pi \hbar}{a} \right)^2.$$

$$25. \quad F = \frac{(J \pi \hbar)^2}{ma^3}.$$

26. а)  $\Psi(x,t) = C(1+2i\frac{\hbar t}{m})^{-\frac{1}{2}} \exp\left[\frac{-x^2+i\omega^2 K_0(x-\hbar K_0 t/\hbar m)}{\alpha^2 + 2i\hbar/m}\right]$ ;

б)  $\Psi(x,t) = \frac{C}{2} \left[ \Phi\left(\frac{x-\alpha_1 t}{\sqrt{i\hbar K^2 t/m}}\right) - \Phi\left(\frac{x+\alpha_2 t}{\sqrt{i\hbar K^2 t/m}}\right) \right]$ .

§ 2. Операторы, теория представлений

1. а)  $E; L; \vec{P}; P_{\vec{z}}$ .

б)  $E; L; P_x; P_{\vec{z}}$ .

в)  $E; L_z; P_x; P_y; P_z$ .

г)  $L_z; P_x; P_y; P_z$ .

2. Нет.

4. Эрмитов на подклассе функций  $f(0)=0$ .

5. а) нет, так как  $\langle c_z \rangle = 0$ ,

б) см. книгу Бэзь, Зельдович, Переломов [12].

6. Не обязательно. Например,  $[A, C] = \alpha A + \beta B + \gamma C$ .

Требуется лишь  $[B, [A, C]] = 0$ .

7.  $\langle A^2 \rangle, \langle B \rangle > \frac{1}{2} \langle c^2 \rangle$ .

10. а)  $(A+B)^{-1} = A^{-1} + A^{-1}BA^{-1} + A^{-1}BA^{-1}BA^{-1} + \dots$

б) указание: рассмотреть  $f(A) = e^{-iA} e^{-i(A+B)}$ ,

$$f(A) = f(0) - \int_0^A dA' B(A') + \int_0^A dA' B(A') \int_0^{A'} dA'' B(A'') - \dots,$$

$$B(A) = \exp(iA), \quad B \cdot \exp(-iA), \quad B(0) = I.$$

где

II.  $S_2 = \gamma(E_0 - \langle 0 | U | 0 \rangle);$  при  $U = \alpha^2 \tau^{-n}; \quad S_2 = \frac{\alpha^n}{n-2} E_0.$

Указание: рассмотреть разложение матричных элементов

в ряд по  $t$ .  $\langle n | X(t/2) X(-t/2) | m \rangle = \sum_k \langle n | X(t/2) X(-t/2) | m \rangle \exp(it(E_n - E_m))$

где

12.  $\langle x | P' | x' \rangle = \frac{i}{\hbar} \partial(x-x') \text{ при } \partial(0)=1; \quad \delta(x)=0; \quad \delta(x)=0;$

13.  $[H, T_a] = 0; \quad [A] = 1;$

14.  $\vec{A} = -\sqrt{\omega} (-\omega \hat{z}/2 + \frac{1}{2\omega} (\vec{P} \times \vec{r} - \vec{r} \times \vec{P})),$

$[e, A_j] = i\varepsilon_{ijk} A_k; \quad [A_i, A_j] = -2i\varepsilon_{ijk} \delta_{ij}.$

15.  $P_z = (\vec{P})_z = -i\hbar / \frac{1}{2\omega} + \frac{1}{2}.$

16. а)  $R_{ex} = -d_{ex}; \quad \hat{D} = \exp\left(-i\pi(\vec{E}^2 + \vec{P}^2 - \vec{s}^2)\right);$

б) в пространстве  $\begin{pmatrix} a''' \\ a'' \\ a' \\ a \end{pmatrix}; \quad R_{1,2} = \begin{pmatrix} 0 & 1 \\ 1 & 0 \end{pmatrix},$

где  $\vec{1}$  — единичная матрица

$S_{1,2} = -\frac{1}{2} \left\{ (\vec{z}_1 - \vec{z}_2)^2 + (\vec{p}_1 - \vec{p}_2)^2 - 6 \right\}; \quad \vec{S}' = e^{-i\vec{S}_{1,2}}.$

17. а)  $\vec{V} = \frac{1}{m} (\vec{P} - \frac{e}{c} \vec{A}),$

б)  $[U_0, V_0] = \frac{ie\hbar}{mc} \exp(iHt); \quad \frac{e\vec{z}_0 \times \vec{A}_0}{m\omega} = \hbar \omega / 2mc,$

в)  $i\omega \vec{v} = e \vec{E} + \frac{e}{c} \vec{V}_0 \times \vec{A}, \quad \vec{E} = -\frac{e}{m\omega c^2} \vec{A}_0 / \vec{k} = \omega \vec{A},$

г)  $[H, X_0] = [H, j_0] = 0, \quad \text{но} \quad [X_0, j_0] = -i\hbar/m\omega,$

д)  $\vec{v} = \vec{E} - V_0 (\vec{z} \times \vec{s}),$

е)  $[U_0, V_0] = -\frac{ie\hbar}{mc} \exp(iHt) \vec{s} \times \vec{v},$

в)  $i\omega \vec{v} = -\nabla \varphi + \omega \vec{V}_0 (\vec{z} \times \vec{s}) - \vec{B} \times \vec{s} +$

+  $m V_0^2 / \vec{z}^2 \left\{ \vec{z} \times (\vec{z} \times \vec{s}) + \vec{s} \times (\vec{s} \times \vec{z}) \right\},$

г)  $\langle (\vec{a} \vec{x})^2 \rangle = \frac{a^2}{2} + \frac{1}{2} \left( \frac{ie\hbar}{mc} \right)^2; \quad \vec{x} / H = \vec{A} \times \frac{\vec{L}}{m\omega},$

д)  $\langle (\vec{a} \vec{x})^2 \rangle = \frac{a^2}{2} C_2 \omega^2 t^2 + \frac{1}{2} \left( \frac{ie\hbar}{mc} \right)^2 \Delta \hbar \omega^2 t^2,$

$\vec{x}(t) = \vec{A} \cos \omega t + \frac{1}{m\omega} \vec{P} \sin \omega t.$

В начальном состоянии:

$\langle x \rangle = X_0; \quad \langle p \rangle = P_0; \quad \langle x' \rangle = X_0;$

$\langle x'^2 \rangle = A C_0 \omega t + \frac{1}{2} B \omega^2 t^2 + \frac{1}{2}, \quad \langle p'^2 \rangle = P_0^2 + \frac{1}{2\omega^2}, \quad \langle x p + p x' \rangle = 2\hbar \omega P_0.$

20. Выберем

$\vec{A} = \begin{pmatrix} 0 & 0 & 0 \\ 0 & 0 & 0 \\ 0 & 0 & 0 \end{pmatrix}, \quad \text{тогда}$

$x/t = A C_0 \omega t + \frac{1}{2} B \omega^2 t^2 + \frac{1}{2},$

$y/t = -A \hbar \omega \omega t + \frac{1}{2} B \hbar \omega^2 t^2 + \frac{1}{2},$

$A = -\frac{1}{2} \gamma_1^2 / \hbar, \quad B = \gamma_1 / \hbar; \quad \vec{B} = \frac{1}{2} (\vec{p} - \frac{e}{c} \vec{A});$

$\vec{z} = \vec{x} / \hbar t + \frac{1}{2} \gamma_2^2 / \hbar, \quad \vec{p} = \vec{y} / \hbar t - \frac{1}{2} \gamma_2 / \hbar t,$

$$21. \quad f_{\alpha}(x) = \frac{1}{\sqrt{4\pi\alpha^2}} e^{-x^2/\alpha^2}; \quad f_{\alpha}(p) = \frac{\theta_{\alpha}(p\alpha/\hbar)}{p(2\pi\hbar)^2}.$$

$$22. \quad \langle (\Delta x)^2 \rangle = \langle x'^2 \rangle - \langle x \rangle^2; \quad \langle x' \rangle = \frac{\hbar}{m\omega} / (m + \frac{1}{2}),$$

$$\langle (p')^2 \rangle = \langle p^2 \rangle = m\omega t / (m + \frac{1}{2}).$$

$$23. \text{ a) } |\alpha\rangle = e^{-\frac{|p|^2}{2}} \sum_n \frac{\alpha^n}{\sqrt{n!}} |n\rangle, \quad \hat{a}|\alpha\rangle = \alpha|\alpha\rangle = A e^{i\varphi/\alpha},$$

$$b) \quad \langle \alpha | \hat{x}(t) | \alpha \rangle = \sqrt{\frac{\hbar}{2m\omega}} \langle x e^{-i\omega t} e^{i\omega t} | n \rangle = \sqrt{\frac{2t}{m\omega}} A \cos(\omega t + \varphi),$$

$$b) \quad \int \frac{d\omega}{2\pi} \int dA \langle x | A | \varphi \rangle \langle A | \psi | x' \rangle = \delta(x-x'),$$

$$r) \quad \omega(n) = |\langle n | \alpha \rangle|^2 = e^{-\bar{n}} \frac{(\bar{n})^n}{n!}; \quad \bar{n} = \langle \alpha | \hat{x} | \alpha \rangle = A^2.$$

24. Уравнение ( $\gamma$  - заряд,  $J$  - ток)

$$\dot{\psi}(x) = \frac{\partial J(x)}{\partial x}; \quad \dot{J}(x) = \frac{e}{LC} \frac{\partial \psi(x)}{\partial x}.$$

Гамильтониан

$$H = \sum_x \frac{1}{2} \left( \dot{x}^2 + \psi_x^2 \left( \frac{\partial \psi}{\partial x} \right)^2 \right),$$

Четное.

$$J(x) = \sum_k \frac{i}{\sqrt{2\epsilon_k}} (C_k e^{i(k\pi x - \epsilon_k t)} + \text{с.ч.}),$$

$$\psi_x^2 = 2C^2 x^2; \quad \dot{x}_k^2 = C_k / LC.$$

Коммутатор

$$[C_k, C_{k'}^+] = \delta_{kk'}, \quad H = \sum_k \psi_k (C_k^+ C_k + \frac{1}{2}).$$

25.

$$[\tilde{\epsilon}_i(\tilde{\tau}, t), \tilde{\epsilon}_j(\tilde{\tau}, t')] = [\tilde{\mathcal{H}}_i(\tilde{\tau}, t), \tilde{\mathcal{H}}_j(\tilde{\tau}, t')] = 0,$$

$$[\tilde{\epsilon}_i(\tilde{\tau}, t), \tilde{\mathcal{H}}_j(\tilde{\tau}', t')] = 4\pi i \hbar c \epsilon_{ijk} \tilde{\rho}_k(\tilde{\tau} - \tilde{\tau}').$$

§ 3. Уравнение Шредингера (одномерный случай)  
(одномерный случай)

В этом параграфе  $\lambda = m G / \hbar^2$ .

$$I. \quad E = -\frac{\hbar^2 y^2}{2m\alpha^2} - V; \quad \text{где} \quad \sin y = \pm \frac{\hbar}{\alpha\sqrt{2mV}} \quad \text{или} \quad \cos y = \pm \frac{\hbar}{\alpha\sqrt{2mV}} \quad (\operatorname{tg} y > 0).$$

$$2. \quad \text{После замены } U(x) \quad \text{и} \quad G = \int_{-\infty}^{\infty} U(x) dx, \\ \text{условия "справлены"} \quad \frac{d\psi}{dx} \Big|_0^0 = \frac{2imG}{\hbar^2}, \quad \psi(-0) = \psi(0).$$

$$3. \quad E = -\frac{\hbar^2 \omega^2}{2m r^2}, \quad \psi(x) = \sqrt{2} e^{-\omega x/\hbar}.$$

$$4. \quad \frac{d\omega}{dr} = \frac{2\hbar^3 \omega^3}{\pi(\hbar^2 \omega^2 + P^2)^{1/2}}.$$

$$5. \quad |\psi| \leq \frac{\hbar^2}{m} \left( \frac{1}{G_1} - \frac{1}{G_2} \right).$$

$$6. \quad \ell = \frac{\operatorname{ctg} \kappa a}{\kappa_1} - \frac{\operatorname{ctg} \kappa a}{\kappa_2}, \quad \kappa_1 = \sqrt{2mV}, \quad \kappa_2 = \sqrt{2mV}.$$

7. Четное.

$$8. \quad E_n = \hbar\omega (2n + \frac{3}{2}), \quad n = 0, 1, \dots$$

$$9. \quad E_{\pm} = -\frac{\hbar^2 \omega^2}{2m} (1 \pm 2e^{-2\omega^2}), \quad F = \mp \frac{\hbar^2 \omega^3}{m} e^{-2\omega^2}.$$

$$\psi_{\pm} \approx \frac{1}{\sqrt{2}} (\psi_n \pm \psi_{n+1}), \quad \psi_{n,\pm} = \sqrt{2} e^{-\omega|x| \pm \ell}.$$

$$10. \quad \psi(x, t) \approx (\psi_n \cos \omega t - i \psi_{n+1} \sin \omega t) e^{-i \frac{E_0}{\hbar} t}$$

$$\hbar\omega = E_- - E_+, \quad E_0 = \frac{E_- + E_+}{2}.$$

$$II. \quad \frac{d\omega}{dp} = \frac{2\omega^3 \hbar^3}{\pi(\omega^2 \hbar^2 + p^2)^2} (1 \pm \cos \frac{2\hbar\ell}{\hbar}).$$

12.  $E = \frac{\hbar^2 k^2}{2m q^2}$ , где  $k = 2\pi a \operatorname{tg} \varphi = 2\pi a \sqrt{1 - \frac{1}{q^2}}$ ,  $n = \frac{1}{q} \operatorname{tg} \varphi$ .

13.  $a = \frac{1}{2\alpha}$ .

14.  $E_n^{(\pm)} = \frac{1}{2m} \left( \frac{\pi n k}{a} \right)^2 / \left( 1 - \frac{2}{a^2} \mp \frac{4}{a^2 n} e^{-2\alpha} \right)$ ,  
 $\psi_{n,\pm} = e^{\pm i(k_0 x \pm \omega t)} / \sqrt{2\pi n} \quad (\text{при } \alpha > 0, \quad \omega, \beta > 1).$

15.  $V_{pp'} = -\frac{G}{2\pi R}$

16. Ом. Задача 9.

17.  $E_{\pm} = -\frac{\hbar^2 k^2}{2m}$ ,  $\psi_{\pm} = \frac{1}{2} [x_1 + x_2 \pm \sqrt{(x_1 - 2x_2)^2 + 4x_1 x_2 e^{-2\alpha} \pm 0}]$ ,

$\frac{\psi_{(0)}}{\psi_{(1)}} = e^{\pm i k_0 l} \left( 1 - \frac{x_1}{x_2} \right) + \frac{x_1}{x_2} e^{-2\alpha} e^{\pm i k_0 l}$ ,  $x_{j,2} = \frac{m G_{j,2}}{k^2}$ .

18.  $E = -\frac{\hbar^2 k^2}{2m} (1 + 2e^{-4\alpha})$ ,  $\psi = \frac{m}{k^2} \int U(x) dx$ .

19.  $a = \frac{1}{2\alpha} \ln \frac{2\alpha + \alpha}{2\alpha - \alpha}$ ,  $k\alpha = \sqrt{2mV}$ .

20.  $E_n = -\frac{l^2}{2a^2} \frac{n\alpha^2}{k^2}$ ,  $n = 1, 2, \dots$ .

21.  $R = \left( \frac{k_1 - k_2}{k_1 + k_2} \right)^2$ ,  $k_1 = \sqrt{2mE}$ ,  $k_2 = \sqrt{2m(E-V)}$ .

22.  $D = \frac{1/E_0}{1/E_0 + E}$ ,  $E_0 = -\frac{m}{2\alpha^2} \frac{G^2}{k^2}$ .

23.  $R = \frac{\sin^2 k a}{\sin^2 k a + 4 \sqrt{E/(E+1)}}$ .

24.  $R = \sin^2(\delta_2 - \delta_1)$ .

25.  $D^{-1} = 1 + 2\eta^2 (1 + \eta^2) [1 + \cos(2\alpha\ell + \delta)]$ ,  $\eta = \frac{\ell}{k} = \tan \frac{\delta}{2}$ .

26. При  $k_1^2 = k_2^2$ ,  $k_1 a = \pi(n + \frac{1}{2})$ , где  $k^2 a^2 = 2mE$ ,  $k^2 k_1^2 = 2m/E$ .

27. При  $t < \ell/v$

$$\psi(x, t) = \begin{cases} e^{i(k_0 x - \omega t)} / \sqrt{2\pi n} & \text{при } x < \ell, \\ 0 & \text{при } x > \ell. \end{cases}$$

При  $t > \ell/v$

$$\psi(x, t) = \begin{cases} A e^{-i(k_0 x + \omega t)} / \sqrt{2\pi n} & \text{при } x < \ell, \\ B e^{i(k_0 x - \omega t)} / \sqrt{2\pi n} & \text{при } x > \ell, \end{cases}$$

$v = \frac{\hbar k}{m}$ ,  $A = \frac{i e^{i\omega t}}{k - i\omega}, \quad B = \frac{k}{k - i\omega}, \quad \tau = \frac{2\ell}{\sqrt{(2\alpha^2 + \kappa^2)}}$ .

28.  $\tau = \frac{2\ell}{\alpha} + \hbar \frac{2}{2E} \left[ \frac{2E + V}{\sqrt{E(V+E)}} \arctg \sqrt{2m/(E+V)\alpha^2} \right]$ .

29.  $\frac{\Delta x}{\Delta X} = \frac{v}{v_i}$ ;  $v, v_i$  — скорости пакета до и над барьером.

30.  $R = \left| \frac{J_{-1-2ik\alpha} (2ik\alpha)}{J_{1-2ik\alpha} (2ik\alpha)} \right|^2, \quad k\alpha = \sqrt{2mV}$ .

32.  $E_n = \frac{1}{2m} \left( \frac{\pi n k}{a} \right)^2 \left( 1 + \frac{2}{2\alpha^2} \right), \quad \Gamma_n = \frac{2}{m} \left( \frac{\pi n k}{2\alpha^2} \right)^2,$

$\Gamma_n \ll E_n$  при  $\alpha \gg 1$ .

33.  $E_n = \frac{1}{2m} \left( \frac{\pi n k}{a} \right)^2 \left( 1 - \frac{2}{2\alpha^2} + \frac{4}{9\alpha^2} e^{-2\alpha k} \right),$

$\Gamma_n = \frac{2k^4}{m^3 V^3} \left( \frac{\pi n k}{a} \right)^3 \frac{2e^3}{1 + 2\alpha^2} e^{-2\alpha k},$

$k\alpha_0 = \sqrt{2mV - \left( \frac{\pi n k}{a} \right)^2}$ .

34.  $E_n \approx \frac{1}{2m} \left( \frac{\pi n k}{\rho} \right)^2$ .

35.  $\tau = \frac{2\ell k}{\rho^2 + 4(E-E_0)^2}$ .

$$36. E_n = \frac{1}{2m} \left( \frac{e_n h}{2} \right)^2, \quad \frac{j_+}{j_-} = \frac{G_1^2}{G_2^2}.$$

$$37. \frac{dw}{dE} = \frac{4\pi m a}{h^2 \kappa} \frac{1}{\sin^2 \kappa x + (\cos \kappa x + 2 \sin \kappa x)^2} \approx \frac{1}{\pi \left[ \ell^2 + 4(E - E_0)^2 \right]},$$

$$E_0 = \frac{\pi h^2}{2m a^2} \left( \pi + \frac{2}{\zeta} \right), \quad \ell = \frac{2\pi h^2}{ma^2 \zeta^2}, \quad \kappa = \frac{2\pi h}{a^2 \kappa}.$$

$$38. \psi(x) = \frac{1}{\sqrt{\pi}} \int_0^\infty \cos \left( \frac{u^3}{3} - u \xi \right) du, \quad \xi = (x + \frac{E}{F}) / \left( \frac{2m F}{h^2} \right)^{\frac{1}{2}}.$$

$$39. W = \frac{4 G_1 G_2}{(G_1 + G_2)^2}.$$

$$40. \frac{dw}{dE} = \frac{\sqrt{E/E_0} / \left( \sqrt{E_0} + \sqrt{E} \right)^2}{2\pi / (E_0 / + E)^3}, \quad E_0 = - \frac{\hbar^2 \omega^2}{2m}.$$

$$41. W = \infty \sqrt{\pi} e^{-2\omega \ell} - \frac{1}{4} \omega^2 \left( \omega^2 - \frac{\hbar^2}{a^2} \right).$$

42. Указание: перейти в систему координат, движущуюся со скоростью  $U$ .

$$43. W = \frac{1}{1 + \left( \frac{m U}{2\hbar \omega} \right)^2}.$$

44. Вправо, влево.

$$45. |\cos \kappa_1 a \cos \kappa_2 b| - \frac{\kappa_1^2 + \kappa_2^2}{2 \kappa_1 \kappa_2} \sin \kappa_1 a \sin \kappa_2 b \leq 1,$$

$$\hbar \kappa_1 = \sqrt{2mE}, \quad \hbar \kappa_2 = \sqrt{2m/E - V}.$$

$$46. E(q) = -\frac{\hbar^2 \omega^2}{2m} (1 + 4 e^{-2\omega a} \cos \frac{q\omega}{\hbar}).$$

$$47. j = \rho \omega, \quad \rho = \frac{1}{\alpha} \int_0^a |\psi|^2 dx, \quad \omega = \frac{2E}{3g}.$$

$$48. R = \frac{2(\ell+1)}{(G_1 - G_2)^2 + 4 \frac{G_1^2}{\ell^2} G_1^2 e^{-2\omega \ell a} \sin^2 \frac{q\omega}{\hbar}},$$

$$49. E = -\frac{4\ell G_1^2}{3\ell^2}. \quad \text{так как } \ell = \frac{2\pi \hbar}{3a^2 - (x_1 - x_0)^2}.$$

$$50. E = -\frac{\hbar^2 \omega^2}{2m} (1 - 4 e^{-2\omega \ell}).$$

#### § 4. Угловой момент и спин

2. Функция  $\psi_\ell$  описывает движение, сопротивленное волнистым экваториальной плоскости  $\theta = \pi/2$ ; средний угол между плоскостью орбиты и плоскостью экватора есть  $1/\sqrt{2\ell}$ , т.е. при  $\ell \gg 1$   $|Y_{\ell\ell}(\theta, \psi)|^2 \approx \sqrt{\frac{\ell}{\pi}} e^{-\ell(\theta - \frac{\pi}{2})^2}$ . Функция  $Y_{\ell\ell}$  отвечает круговому орбите с осью  $z$  в плоскости орбиты и в среднем равновероятным распределением осей в плоскости  $(x, y)$ ; поэтому усредненная по  $\ell$  узел вероятности  $d\omega = \frac{d\theta}{\pi} = \frac{1}{|K_\ell|^2} d\theta$ , т.е.  $|Y_{\ell\ell}|^2 = \frac{1}{\pi^2 |K_\ell|^2} \theta$ .
- Сравните эти результаты с квазиклассическим решением углового уравнения (Квантовая механика, § 49).
3. Вместо трех  $\rho$  — функций  $\psi_{1m}^{(p)}, Y_{lm}, \psi_{2m}^{(p)}$  возьмем их вещественные комбинации  $\psi_{x,y,z}^{(p)}$ , ориентированные максимумами вероятности по осям  $x, y, z$  соответственно:

$$\psi_x^{(p)} = \psi_1^{(p)}, \quad \psi_y^{(p)} = \frac{1}{\sqrt{2}} (\psi_1^{(p)} + \psi_2^{(p)}), \quad \psi_z^{(p)} = \frac{1}{i\sqrt{2}} (\psi_1^{(p)} - \psi_2^{(p)}).$$

Эти три функции преобразуются при вращении друг через друга как компоненты вектора  $\vec{\psi}^{(p)}$ . Если  $\vec{n}_{1,2,3,4}$  — единичные векторы

ри из начала координат к вершинам тетраэдра, то искомые нормированные линейные комбинации  $\xi$  — и  $\rho$  — орбит с дипольным моментом по направлениям  $\vec{n}$  имеют вид ("гибридизация")

$$\Psi_{1,2,3,4} = \frac{1}{2} \left[ \Psi^{(1)} + \sqrt{3} \vec{n}_{1,2,3,4} \cdot \vec{\rho}^{(p)} \right].$$

Найдите угловую зависимость  $|\psi|^2$  в гибридных состояниях.

4. Потенциал должен обладать симметрией кристалла, поэтому  $U(\xi) = U(\xi)Y_\alpha$  — сферически симметричен. Волновая функция при преобразовании симметрии должна переходить в себя с точностью до фазы. В данном случае  $\psi(\xi) \sim Y_\alpha$ .

5. Волновые функции могут быть найдены разделением переменных как в декартовых, так и в сферических координатах и имеет соответственно вид ( $\omega = \sqrt{m\omega/\hbar}$ ,  $\xi = dx$ ,  $\varphi = dy$ ,  $\zeta = dz$ ,  $\rho = dr$ ),

$$\begin{aligned} \Psi_{n_x, n_y, n_z} &\sim e^{-\frac{i}{\hbar} \rho^2} H_{n_x}(\xi) H_{n_y}(\zeta) H_{n_z}(\varphi), \\ \Psi_{n_{\text{сп}}.} &\sim e^{-\frac{i}{\hbar} \rho^2} u_{n_{\text{сп}}}(\rho) Y_m(\theta, \varphi), \end{aligned}$$

где  $H_n$  — полиномы Эрмита,  $u_n(\rho)$  выражаются через гипергеометрические функции. Состояния с данным  $n = n_x + n_y + n_z$  выражаются, их энергия

$$E_n = \hbar\omega(n + \frac{3}{2}),$$

а кратность выражения

$$N_n = \frac{(n+1)(n+2)}{2}.$$

Для нахождения вероятностей возможных при данных  $n_x, n_y, n_z$  значений  $\ell, m$  нужно функции  $\Psi_{n_x, n_y, n_z}$  разложить по фунт. При  $n_p = 1$ ,  $n_y = 0$ ,  $n_x = 2$  имеем:

$$\begin{aligned} H_1(\xi) &= 2\xi, & H_2(\xi) &= 4\xi^2 - 2, \\ \Psi_{n_x, n_y, n_z} &= \Psi_{1,0,2} = A(\Psi_{3,1} - \Psi_{3,1}) + B(\Psi_{3,1-1} - \Psi_{3,1}), \end{aligned}$$

где  $2|A|^2 + 2|B|^2 = 1$ . Воспользовавшись явным видом

$$\begin{aligned} Y_{1,\pm 1} &= \mp \sqrt{\frac{3}{8\pi}} \sin \theta e^{\pm i\varphi}, \\ Y_{3,\pm 1} &= \mp \sqrt{\frac{21}{64\pi}} (4 \cos^2 \theta \sin \theta - \sin^3 \theta) e^{\pm i\varphi}, \\ \Psi_{3,3}(\rho) &= \sqrt{\frac{32}{165\pi^{3/2}}} \rho^3, \quad \Psi_{3,1}(\rho) = \sqrt{\frac{16}{15\pi^{3/2}}} (\rho^3 - \frac{5}{2}\rho), \end{aligned}$$

найдем искомые вероятности  $w_{\ell,m}$  (значения  $\ell=3(m=\pm 1)$  и  $\ell=1(m=\pm 1)$ )

$$|A|^2 = w_{3,1} = w_{3,-1} = \frac{2}{5}, \quad |B|^2 = w_{1,1} = w_{1,-1} = \frac{1}{10}.$$

В общем случае при фиксированном  $\mu$  возможны значения  $\ell = n, n-2, n-4, \dots, 0$  (или  $\Gamma$  в зависимости от четности  $n$ ).

6.  $[R, P_\kappa] = 0$ ;  $[J_z, P_\kappa] = i\varepsilon_{\kappa\alpha\beta} P_\alpha$ ,  $[J_x, J_\kappa] = i\varepsilon_{\kappa\alpha\beta} J_\alpha$  ( $\varepsilon_{\kappa\alpha\beta}$  — полностью антисимметричный тензор). Здесь и ниже все операторы моментов и их собственные значения выражены в единицах  $\hbar$ .

$$7. e^{-i\omega J_z} J_y e^{i\omega J_z} = J_y \cos \omega - J_x \sin \omega.$$

8. Пользуясь результатом задачи 7, представим  $R$  в виде  $R = e^{-i\theta(\vec{r}, \vec{p})}$ , т.е. это поворот на угол  $\theta$  вокруг оси  $\vec{r}$ , причем  $\vec{r} = (-\sin \varphi, \cos \varphi, 0)$ ,  $\vec{p} = (\vec{p}_x, \vec{p}_y)/\rho^2 \sin \theta$ , где  $\vec{p}'$  — вектор с модулем, равным  $|\vec{p}'|$ , и имеющий полярные координаты  $\theta, \varphi$ . Следовательно,  $R$  переводит  $\vec{r}$  в  $\vec{p}'$ , а спиральность, будучи скаляром по отношению к вращению, не меняется.

$$9. \langle \vec{J}_n \rangle = \langle JM/J_z \rangle \sin \theta e^{i\varphi} + \vec{J}_x \sin \theta \sin \varphi + \vec{J}_y \cos \theta \sin \varphi + \vec{J}_z \cos \theta = M \cos \theta.$$

10. Задача сводится к нахождению матрицы единичного преобразования, связывающего состояния  $|JM\rangle$  с определенной проекцией  $M'$  момента на ось  $\vec{z}'$  и состояния  $|JM'\rangle$  с определенной проекцией  $M'$  на ось  $\vec{z}'$ , имеющую полярные координаты  $\theta, \varphi$ , т.е. к отысканию коэффициентов разложения

$$|JM\rangle = \sum_M D_{MM'}(\theta, \varphi) |JM'\rangle.$$

Проне всего найти  $D_{MM'}^2$ , действуя на обе части оператором  $(\vec{J}_z \vec{n}_x)$  (см. задачу 9), выражая результат в одном и том же базисе и сравнивая коэффициенты. Искомые интенсивности

$\omega_{MM'} = |D_{MM'}|^2$  не зависит от угла  $\varphi$  и равен:

$$J = \frac{1}{2}$$

$M$	$M'$	$+\frac{1}{2}$	$-\frac{1}{2}$
$+\frac{1}{2}$	$+\frac{1}{2}$	$\sin^2 \frac{\theta}{2}$	$\sin^2 \frac{\theta}{2}$
$+\frac{1}{2}$	$-\frac{1}{2}$	$\cos^2 \frac{\theta}{2}$	$\cos^2 \frac{\theta}{2}$
$-\frac{1}{2}$	$+\frac{1}{2}$	$\cos^2 \frac{\theta}{2}$	$\sin^2 \frac{\theta}{2}$
$-\frac{1}{2}$	$-\frac{1}{2}$	$\sin^2 \frac{\theta}{2}$	$\cos^2 \frac{\theta}{2}$

II. Искомая вероятность  $\omega(M') = \frac{(2J)!}{(J+M)!(J-M)!} \left(\cos \frac{\theta}{2}\right)^{2J} \left(\sin \frac{\theta}{2}\right)^{2M'}$  (использовавшись представлением системы с моментом  $J$  как состояний из  $2J$  частиц спина  $1/2$  и применив результат задачи 10 для спина  $1/2$ ).

13. Оператор спинового обмена

$$\mathcal{P}_o = \frac{1}{2} (1 + \vec{\sigma}_1 \cdot \vec{\sigma}_2),$$

где  $\vec{\sigma}_{1,2}$  — матрица Паули, относящаяся соответственно к первой и второй частичам; проекционные операторы

$$A_1 = \frac{1 - \vec{\sigma}_1 \cdot \vec{\sigma}_2}{4}, \quad A_2 = \frac{3 + \vec{\sigma}_1 \cdot \vec{\sigma}_2}{4}.$$

Собственные значения операторов в синглетном (полный спин  $S=0$ ) и триплетном ( $S=1$ ) состояниях равны

$S=0$	$\vec{\sigma}_1 \cdot \vec{\sigma}_2$	$\mathcal{P}_o$	$A_1$	$A_2$
$S=1$	$-3$	$-1$	$1$	$0$

14. Удобно ввести оператор

$$\mathcal{S}'_{1,2} = 3(\vec{\sigma}_1 \cdot \vec{\sigma}_2)(\vec{\sigma}_1 \cdot \vec{\sigma}_2) - \vec{\sigma}_1 \cdot \vec{\sigma}_2,$$

который выражается через  $\vec{S}$  посредством

$$\mathcal{S}'_{1,2} = 6(\vec{S}_{\vec{n}})^2 - 2\vec{S}^2.$$

Утверждение задачи следует из тождества

$$C_{\ell m \pm \frac{1}{2}} C_{\ell \pm \frac{1}{2}}$$

$$(\vec{\sigma}_1 \cdot \vec{\sigma}_2)^2 = 3 - 2\vec{\sigma}_1 \cdot \vec{\sigma}_2,$$

$$\mathcal{S}'_{1,2}^2 = 6 - 2\vec{S}_{\vec{n}}^2 + 2\vec{\sigma}_1 \cdot \vec{\sigma}_2,$$

$$\mathcal{S}'_{1,2} \vec{\sigma}_1 \cdot \vec{\sigma}_2 = \vec{\sigma}_1 \cdot \vec{\sigma}_2, \quad \mathcal{S}'_{1,2} = \vec{\sigma}_{1,2},$$

откуда вытекает, что достаточно ограничиться выражениями, линейными по  $\vec{\sigma}_1 \cdot \vec{\sigma}_2$  и  $\mathcal{S}'_{1,2}$ .

15. Оператор поворота есть

$$U_{\vec{n}}(\alpha) = e^{-i\alpha(\vec{\sigma}_1 \cdot \vec{n})} = \cos \frac{\alpha}{2} - i(\vec{\sigma}_1 \cdot \vec{n}) \sin \frac{\alpha}{2}.$$

Два указанных поворота некоммутивны, если оси  $\vec{n}_1$  и  $\vec{n}_2$  не совпадают,

$$[U_{\vec{n}_1}(\alpha_1), U_{\vec{n}_2}(\alpha_2)] = 2i \sin \frac{\alpha_1}{2} \sin \frac{\alpha_2}{2} [\vec{n}_1 \times \vec{n}_2] \cdot \vec{\sigma}.$$

16. Наиболее общий вид нормированной спиновой функции частицы со спином  $\Gamma/2$  есть

$$\psi = \begin{pmatrix} e^{i\alpha} & \cos \frac{\beta}{2} \\ e^{i\beta} & \sin \frac{\beta}{2} \end{pmatrix}.$$

Среднее значение спина в этом состоянии

$$\langle \vec{\sigma} \rangle = \frac{i}{2} \vec{n},$$

где  $\vec{n}$  — единичный вектор, имеющий полярные координаты  $\theta = \beta$ ,  $\varphi = \beta - \alpha$ . Следовательно,  $\langle \vec{\sigma} \cdot \vec{n} \rangle = \frac{i}{2}$ , т.е. частина поляризации в направлении  $\vec{n}$ .

$$17. \text{Волновые функции } \psi_{n,j,m} \text{ с } j = \ell \pm \frac{1}{2} \text{ имеет вид}$$

$$\psi_{n,\ell, \ell \pm \frac{1}{2}, m} = R_{n\ell}(r) \left( \begin{array}{c} \sqrt{\frac{1 \pm m + \frac{1}{2}}{2\ell+1}} Y_{\ell, m \mp \frac{1}{2}}(\theta, \varphi) \\ \pm \sqrt{\frac{1 \mp m + \frac{1}{2}}{2\ell+1}} Y_{\ell, m \pm \frac{1}{2}}(\theta, \varphi) \end{array} \right),$$

коэффициенты (сопоставление с коэффициентами Клебса-Гордана  $C_{\ell m \pm \frac{1}{2}} C_{\ell \pm \frac{1}{2}}$ ) находятся с помощью повышенных и пониженных опе-

раторов момента. Отсюда искомые вероятности

$$\omega_{j=\ell \pm \frac{1}{2}} = \left( J_z = m - \frac{1}{2}, J_z = \frac{1}{2} \right) = \frac{\ell \pm m + \frac{1}{2}}{2\ell+1},$$

$$\omega_{j=\ell \pm \frac{1}{2}} = \left( J_z = m + \frac{1}{2}, J_z = -\frac{1}{2} \right) = \frac{\ell \mp m + \frac{1}{2}}{2\ell+1},$$

средние значения равны

	$\langle J_z \rangle$	$\langle J_x \rangle$	$\langle J_y \rangle$
$j = \ell + \frac{1}{2}$	$m \frac{2\ell}{2\ell+1}$	$\frac{m}{2\ell+1}$	$m$
$j = \ell - \frac{1}{2}$	$m \frac{2\ell+2}{2\ell+1}$	$- \frac{m}{2\ell+1}$	$m$

18. Если  $(\theta, \varphi)$  — сферические координаты частицы, то

$$\psi_{\ell=\ell'} \frac{a_0}{2} = \pm \sqrt{\frac{\ell \pm m + \frac{1}{2}}{\ell \mp m + \frac{1}{2}}} \frac{P_l^{m-\frac{1}{2}}(\cos \theta)}{P_l^{m+\frac{1}{2}}(\cos \theta)},$$

где  $P_l^m(\cos \theta) \sim P_l^m(\cos \theta) e^{im\varphi}$ , а знаки  $\pm$  относятся к функции  $Y_{lm}(\theta, \varphi) \sim P_l^m(\cos \theta) e^{im\varphi}$ , а значения  $j = \ell \pm \frac{1}{2}$  соответственно. Использовать результаты задач 16 и 17.

$$19. Y_{l,m_1}(\vec{r}) Y_{l',m_2}(\vec{r}) = \sum_{l''} \frac{(2l+1)(2l'+1)(2l''+1)}{4\pi} (-1)^{l+l'-l''} \frac{(l_1 l_2 l_3)}{(m_1 m_2 m_3)} \delta_{l'm_1}^{l''m_2} \delta_{l'm_2}^{l''m_3},$$

где  $3j$ -символы связаны с коэффициентами Клейбша-Гордана

$$\text{посредством } \begin{pmatrix} j_1 & j_2 & j_3 \\ m_1 & m_2 & m_3 \end{pmatrix} = \frac{1}{\sqrt{2\ell+1}} (-1)^{j_1-j_2-j_3} \delta_{l'm_1}^{l''m_2} \delta_{l'm_2}^{l''m_3}.$$

Первый символ находится из геометрических соображений, второй — из сравнения объемов частей при  $\vec{l}$ , направлена на оси  $x$ , с учетом равенства  $Y_{lm}(\vec{r}) = \delta_{lm} / \sqrt{4\pi}$  и ортогональности коэффициентов Клейбша-Гордана.

20. Связать со свойствами векторного произведения  $\vec{a} = [\vec{e}_x \vec{e}_y \vec{e}_z]$ , которое в сферических компонентах векторов

$$a_x = \frac{i}{\sqrt{2}} (a_x - ia_y), \quad a_y = -\frac{i}{\sqrt{2}} (a_x + ia_y), \quad a_z = a_z,$$

записывается как  $(a_{\lambda}, a_{\lambda'}) = \delta_{\lambda \lambda'} = 0 \pm 1$ .

$$a_x = i\sqrt{6} \sum_{\lambda, \lambda'} (-1)^{\mu} \begin{pmatrix} 1 & 1 & 1 \\ \lambda & \lambda' & \lambda \end{pmatrix} \delta_{\lambda} \epsilon_{\lambda'}$$

21. Если ввести оператор  $A = \vec{J} \cdot \vec{J}$  скалярного произведения моментов подсистем, то его собственные функции суть состояния с определенным значением  $j$  полного момента  $\vec{J} = \vec{J}_1 + \vec{J}_2$ , а собственные значения

$$A_j = \frac{i}{2} \int j(j+1) - j_1(j_1+1) - j_2(j_2+1).$$

Тогда искомый проекционный оператор есть

$$A_j = \prod_{\kappa \neq j} \frac{A_\kappa - A_j}{A_\kappa + A_j},$$

его матричные элементы

$$\langle \Phi_{j_1 m_1}^{(\pm 1)} \Phi_{j_2 m_2}^{(\pm 2)} | A_j | \Phi_{j_1 m_1}^{(\pm 1)} \Phi_{j_2 m_2}^{(\pm 2)} \rangle = C_{j_1 m_1 j_2 m_2}^{j m_1 m_2} C_{j_1 m_1 j_2 m_2}^{j m_1 m_2}.$$

22. Гамильтониан имеет вид ( $\mathcal{H} = \mathcal{H}_a, \vec{J} = \vec{J}_1 + \vec{J}_2$ ),

$$\mathcal{H} = K \vec{J}_1 \vec{J}_2 - (g_1 \vec{s}_1 + g_2 \vec{s}_2) \cdot \vec{H} =$$

$$= \frac{K}{4} (2 \vec{J}^2 - 3) - \frac{g_1 + g_2}{2} \vec{H} S_z - \frac{g_1 - g_2}{2} \vec{H} (s_{z_1} - s_{z_2}),$$

$S_z$  является интегралом движения. Состояния  $S=1, S'_z=\pm 1$  имеют энергию

$$E(S'_z = \pm 1) = \frac{K}{4} \mp \frac{g_1 + g_2}{2} \vec{H},$$

состояния с  $S_z=0$  суть суперпозиции  $S=0$  и  $S=1$ , их энергии

$$E_{\pm}(S'_z = 0) = -\frac{K}{4} \pm \frac{1}{2} \sqrt{K^2 + (g_1 - g_2)^2 H^2}.$$

При  $\mathcal{H}=0$   $E_+(\vec{S}'_z = 0) = \frac{K}{4}$ , это состояние вместе с  $S'_z = \pm 1$  образует вырожденный триплет  $S=1$ , а  $E_-(\vec{S}'_z = 0) = -\frac{3}{4} K$  отвечает синглету  $S=0$ .

23. Удобно ввести оператор  $\mathcal{P}_{12}$  обмена спинов 1 и 2 (см. задачу 13), который обладает свойствами  $\mathcal{P}_{12}(1_1 1_2) = 1_1 1_2, \mathcal{P}_{12}(1_2 1_1) = 1_1 1_2$ .

Тогда гамильтониан системы  $H = -\frac{K}{2} \sum_{n_1, n_2} P_{n_1, n_2} + \text{const}$ , где спини  $\Gamma$  и  $(N+1)$  отсутствуют. В основном состоянии  $\varphi_0$  все спины параллельны,  $P_{n, m} = \varphi_0$ ,  $H\varphi_0 = E_0\varphi_0$ . Имеем возбужденные состояния  $\varphi_1$ , где перевернут один спин, в виде суперпозиции  $\varphi_1 = \sum c_n |n\rangle$ ,

$|n\rangle$  – состояние  $(1, 1, \dots, 1, n, 1, \dots, 1_N)$ . Коэффициенты  $c_n$  удовлетворяют уравнению

$$(E - E_0 - K)c_n = -\frac{K}{2}(c_{n-1} + c_{n+1}).$$

Решение имеет вид  $c_n = e^{iqn}$ , где в силу граничных условий  $q = \frac{2\pi}{N}m$  ( $m = 0, 1, \dots, N-1$ ). Энергии этих  $N$  возбужденных состояний (спиновые волны, или матроны) равны

$$E(q) = E_0 + K(1 - \cos q),$$

энергия обращается в нуль  $\sim q^2$  в пределе длинных волн (следствие короткодействующих сил). Заметим, что в присутствии внешнего магнитного поля  $\mathcal{H} = \mu B$ , энергия спиновой волны в длинноволновом пределе имела бы конечное значение  $2\mu B$  ( $\mu$  – магнитный момент спина).

25. Воспользоваться тождеством, справедливым для любого векторного оператора  $\vec{V}$ ,

$$[\vec{J}, [\vec{J}, \vec{V}]] = 2(\vec{J}^2 \vec{V} + \vec{V} \vec{J}^2) - 4(\vec{V} \vec{J}) \vec{J}.$$

26. Использовать решения задач 24 и 25.

27. Вектор Рунге-Ленца

$$\vec{A} = \omega \sqrt{m} \frac{\vec{z}}{z} + \frac{1}{2\sqrt{m}} ([\vec{L} \times \vec{p}] - [\vec{p} \times \vec{L}]), \quad \omega = \frac{Ze^2}{\hbar}$$

удовлетворяет соотношениям коммутации

$$[\vec{A}, H] = 0,$$

$$[A_i, A_j] = -g_i \epsilon_{ijk} H \epsilon_{jk}, \quad [e, A_i] = i \epsilon_{ijk} A_k.$$

и имеет правило отбора  $\Delta l = \pm 1$ .

В подпространстве вырожденных состояний с отрицательной энергией  $E$  введен оператор  $\vec{q} = \vec{A}/\sqrt{-2E}$ , тогда  $\vec{L}$  и  $\vec{q}$  не выводят за пределы этого подпространства; кроме того,  $\vec{L}\vec{q} = \vec{q}\vec{L} = 0$ , а из определения  $\vec{A}$

$$\vec{L}^2 + \vec{q}^2 = \frac{\omega^2 m}{-2E} - I.$$

Два новых вектора  $\vec{T}^{(1)} = \frac{i}{2}(\vec{L} + \vec{q})$  и  $\vec{T}^{(2)} = \frac{i}{2}(\vec{L} - \vec{q})$  коммутируют между собой и обладают свойствами моментов

$$[T_i^{(1)}, T_j^{(1)}] = 0, \quad [T_i^{(1)}, T_j^{(2)}] = i \epsilon_{ijk} T_k^{(1)}, \quad [T_i^{(2)}, T_j^{(2)}] = i \epsilon_{ijk} T_k^{(2)}.$$

Их собственные значения равны  $t_{1,2} (t_{1,2} \neq t)$ ,  $t_{1,2} = 0, \pm 1, \dots, \pm \omega$  в силу  $\vec{L}\vec{q} = 0$ ; они равны между собой:  $t_1 = t_2 = t$ ,

$$\vec{T}^{(1)2} = \vec{T}^{(2)2} = \frac{\vec{L}^2 + \vec{q}^2}{4} = t(t+1),$$

т.е. энергия

$$E = -\frac{m d^2}{2(\vec{L}^2 + \vec{q}^2 + 1)} = -\frac{m d^2}{2(2t+1)^2}.$$

Это – водородный спектр с главным квантовым числом  $n = 2t+1$ ; кратность вырождения равна

$$(2t+1)(2t+2) = (2t+1)^2 = n^2.$$

28.  $\mu_d = \mu_p + \mu_n - \frac{2}{3} \frac{w_d}{w_p + w_n} (\mu_p + \mu_n - \frac{1}{2})$ , откуда вес  $D$  – волны  $w_d \approx 4\%$ . (В пренебрежении разностью масс нейтрона и протона оператор  $\vec{p}_d = \frac{i}{\hbar} \vec{L} + 2\mu_d \vec{s}_p + 2\mu_n \vec{s}_n$ , наблюдаемый магнитный момент  $\mu_d$  есть среднее значение  $z$  – проекции оператора  $\vec{p}_d$  в состоянии с максимальной проекцией полного момента  $J_2 = J = 1$ . Перекрестные матричные элементы  $\langle {}^3S_1 / \vec{p}_d / {}^3D_1 \rangle$  равны нулю).

29. Оператор  $\vec{J}$  магнитного момента составной системы есть

$$\vec{J} = \vec{p}_d + \vec{p}_n = g_s \vec{j}_s + g_n \vec{j}_n,$$

где  $g_x$  и  $g_z$  — гиromагнитные отношения для подсистем.

Внутри мультиплета с фиксированными значениями  $\vec{J}_1^2$ ,  $\vec{J}_2^2$  и  $\vec{J}^2$  (задача 26), сводится к  $\vec{J} = g \vec{J}$ , где

$$\vec{J} = \frac{g_1 + g_2}{2} + \frac{g_1 - g_2}{2} \frac{J_1(J_1+1) - J_2(J_2+1)}{J(J+1)}.$$

В ядре с одним валентным нуклоном  $\vec{J}_1 = \vec{\ell}$ ,  $\vec{J}_2 = \vec{\ell}$ , а гиromагнитные отношения для протона и нейтрона равны (в ядерных магнетонах)

$$g_1^{(n)} = 1, \quad g_1^{(\bar{n})} = 0, \quad g_2^{(n)} = 5.58, \quad g_2^{(\bar{n})} = -3.82.$$

Отсюда для  ${}^{17}_O$  магнитный момент равен — 1.91 Я.М. (экспериментальное значение — 1.89).

30. Магнитное поле создается как орбитальным движением электрона, так и его спином:

$$\vec{\mathcal{H}}(0) = \frac{e k}{m c} \left[ \frac{\vec{\ell}}{r^3} + \frac{3 \vec{z} (\vec{z} \vec{\tau}) - \vec{\tau}^2}{r^5} \right],$$

а усреднение в смысле векторной модели (задача 26) дает

$$\langle \vec{\ell} - \vec{z} + 3 \vec{z} (\vec{z} \vec{\tau}) \rangle = \frac{4(\ell+1)}{J(J+1)} \langle \vec{\tau} \vec{\tau} \rangle, \quad \vec{n} = \frac{\vec{\tau}}{2}.$$

32. Правила отбора по моменту  $J$  и по проекции  $M$  имеют вид:  $Q_{xx} + Q_{yy} + Q_{zz} \rightarrow \Delta J = 0, \Delta M = 0$  (скаляр, след тензора);

$$2Q_{22} - Q_{xx} - Q_{yy} \rightarrow \Delta M = 0,$$

$$\begin{cases} Q_{xx} \pm iQ_{yz} \rightarrow \Delta M = \pm 1 \\ Q_{xx} - Q_{yy} \pm 2iQ_{xy} \rightarrow \Delta M = \pm 2 \end{cases} \quad \Delta J = Q + 1, \pm 2 \quad (\text{квадруполь}).$$

Для координатного квадруполя ( $Q_{xx} = x_i x_i - \frac{2}{3} r^2 \epsilon_{xx}$ ) есть дополнительное правило отбора по четности:  $\Delta L$  — четно.

33.  $(Q_{xx})_J = \frac{3}{2} \frac{Q_x}{J(2J-1)} (J, J+1, J-1, J^2 \epsilon_{xx})$ , где  $Q_x$  — наблюдаемый средний квадрупольный момент,

$$Q_x = \langle J, J = J / Q_{xx} | J, J = J \rangle.$$

$$34. a) \delta F_F (J, I) = \frac{A}{2} [F(F+1) - J(J+1) - I(I+1)] = \frac{AC}{2}, \quad \text{где}$$

$A = -g_x \beta_J$ ,  $\beta_J$  — гиromагнитное отношение ядра,  $\beta_J$  — коэффициент пропорциональности между магнитным полем  $\vec{H}(r)$  электронов в центре ядра и моментом  $\vec{J}$ ,  $\vec{H}(r) = \beta_J \vec{J}$  (для одного валентного электрона эта величина вычислена в задаче 30).

$$b) \delta F_F (J, I) = \frac{i}{2} \frac{\varphi''}{\varphi} Q_I \frac{\frac{3}{2} C(C+1) - 2 I(I+1) / (J+1)}{J(2J-1) I(2I-1)},$$

где величина  $C$  определена в пункте а),  $\varphi''$  дает среднее значение градиента электрического поля электронов на ядре в состоянии  $J, J_2 = J$ :  $\varphi'' = \langle J, J / (r^2 \epsilon_{xx})_0 | J, J \rangle$ ,  $Q_I$  — средний квадрупольный момент ядра (см. задачу 33); для одного валентного электрона  $\varphi'' = -e \frac{2J+1}{2J+2} \left\langle \frac{1}{r^2} \right\rangle_{n_e}$ .

35. Первое слагаемое в фигурных скобках отвечает  $J' = J$  — вкладу ( $L = 0$ ,  $S = J = 1$ ), а второе —  $J' = 0$ , так как сводится к  $\sum'_{J_2} \chi_{lm}$ , где оператор  $\sum'_{J_2}$  определен в решении задачи 14; в силу скалярности  $\sum'_{J_2}$  полный момент произведения  $\sum'_{J_2} \chi_{lm}$  равен моменту  $J$ , т.е.  $J = 1$ , а так как  $\sigma^2 (\tau^2 \sum'_{J_2} \chi_{lm}) = 0$ , то  $\sum'_{J_2} \chi_{lm}$  как функция координат есть суперпозиция сферических гармоник  $\chi_{J'}$ , т.е. отвечает  $L = 2$ , как и должно быть. (Проверьте нормировку).

Функции  $u_\alpha$  и  $u_\beta$  удовлетворяют связанный (в силу нецентральности сил  $L$  не сохраняется) системе уравнений

$$\frac{d^2 u_\alpha}{dr^2} - \frac{2m}{k^2} \left\{ [A(r) + \frac{B(k)}{4} + \frac{C(k)}{r^2} - E] u_\alpha + \frac{C(k)}{3r^2} u_\beta \right\} = 0,$$

$$\frac{d^2 u_\beta}{dr^2} - \frac{2m}{k^2} \left\{ [A(r) + \frac{B(k)}{4} - \frac{C(k)}{r^2} - E] u_\beta - \frac{C(k)}{3r^2} u_\alpha \right\} = C,$$

$$\left( \approx \frac{M_p}{2} \right).$$

36. Рассмотреть а) уравнения движения для спина

$$\frac{d\vec{s}}{dt} = \frac{g}{\hbar} [\vec{s}, \vec{\mathcal{H}}],$$

г - гиromагнитное отношение; б) уравнение Шредингера, которое дает энергию стационарных состояний  $(J_z = \pm \frac{1}{2})$ , равные  $E_J = \mp \frac{1}{2} g \mathcal{H} = \pm \frac{1}{2} \hbar \Omega$ , где  $\vec{\Omega} = -\frac{g}{\hbar} \vec{\mathcal{H}}$  - вектор угловой частоты прецессии. Зависимая от времени спиновая волновек функция имеет вид

$$\Psi(t) = \begin{pmatrix} \cos \frac{\theta}{2} & e^{-\frac{i}{\hbar} E_J t} \\ \sin \frac{\theta}{2} & e^{-\frac{i}{\hbar} E_J t + i\varphi} \end{pmatrix},$$

где  $\theta, \varphi$  - полярные координаты вектора  $\vec{s}$  (начальная поляризация) - см. задачу 16. Зависимость от времени средних значений:

$$\langle \hat{x}_x(t) \rangle = \frac{1}{2} \sin \theta \cdot \cos(\varphi + \Omega t),$$

$$\langle \hat{x}_y(t) \rangle = \frac{1}{2} \sin \theta \cdot \sin(\varphi + \Omega t),$$

$$\langle \hat{x}_z(t) \rangle = \frac{1}{2} \sin \theta \cdot \cos(\varphi + \int_0^t \Omega(t') dt'),$$

$$\langle \hat{y}_x(t) \rangle = \frac{1}{2} \sin \theta \cdot \sin(\varphi + \int_0^t \Omega(t') dt'),$$

$$\langle \hat{y}_y(t) \rangle = \frac{1}{2} \sin \theta \cdot \cos(\varphi + \Omega t),$$

$$\langle \hat{y}_z(t) \rangle = \frac{1}{2} \sin \theta \cdot \sin(\varphi + \int_0^t \Omega(t') dt'),$$

$$\langle \hat{z}_x(t) \rangle = \frac{1}{2} \cos \theta = \cos \alpha,$$

где  $(\theta, \varphi)$  - углы вектора поляризации при  $t = 0$ ,

$\Omega(t) = -\frac{g}{\hbar} \vec{\mathcal{H}}_2(t)$ . Направление поляризации описывает конический поверхности

$$\theta(t) = \theta_0, \quad \varphi(t) = \varphi_0 + \int_0^t \Omega(t') dt.$$

38. Вероятность нахождения первернутый спин равна

$$\omega(t) = (\epsilon_{\tau} \tau)^2 \sin^2 t/\tau,$$

$$\text{где } \Psi = \frac{i}{\sqrt{2}} \vec{s} \cdot \vec{\mathcal{H}}, \quad \frac{d\Psi}{dt} = \frac{g}{\hbar} [\vec{s}, \vec{\mathcal{H}}], \quad \Omega = \sqrt{(\Omega - \omega)^2 + 4\omega^2}, \quad \Delta = -\frac{g}{\hbar} \vec{\mathcal{H}}.$$

Эта вероятность осциллирует с частотой  $2/\tau$ , максимум вероятности в резонансе ( $\omega = \Omega$ ) равен единице; частота осцилляций уменьшается, а острота резонанса растет с уменьшением амплитуды переменного поля  $\vec{\mathcal{H}}$ .

### § 5. Уравнение Шредингера (трехмерный случай)

$$R_{nl} = C e^{-\frac{E_n}{2m} r - \frac{1}{2} l(l+1)} F(-n, l, 2l; f),$$

$$f = \frac{\sqrt{2mB}}{\hbar} z, \quad \omega = \frac{1}{4} + \frac{1}{4} \sqrt{(2l+1)^2 + \frac{8mA}{\hbar^2}},$$

$$E_{nl} = \hbar \sqrt{\frac{B}{2m}} [4n+2 + \sqrt{(2l+1)^2 + \frac{8mA}{\hbar^2}}].$$

$$2. \quad \Psi = \int_{-\infty}^{\infty} \chi_{nl}(z, f) dz, \quad E_n = \frac{\hbar^2 k^2}{2m a^2}$$

$n$	1	2	3	4	5	6
$\beta_{nl}$	3,1	4,5	5,3	6,3	6,4	7,2
$n_l$	1	1	1	2	1	2
$l$	0	1	2	0	3	1

$$3. \quad \psi = C J_1 \left( \frac{\sqrt{8mV_a}}{\hbar} e^{-2z/a} \right),$$

$$q = \frac{\alpha \sqrt{8m|V|}}{\hbar}, \quad \Delta_l = l - \tilde{l} = l + \frac{1}{2} -$$

$$4. \quad V = 36 \text{ МэВ.} \quad \Delta_l = \frac{\hbar^2 k^2}{2m^2} \left[ n - \frac{m\omega}{\hbar^2 (e^{2z/a})^2} \right]. \quad - \sqrt{(l + \frac{1}{2})^2 + \frac{2m\omega^2}{\hbar^2}}$$

$$5. \quad \psi = e^{\left(\frac{1}{2} + \frac{i}{a}\right) \exp\left(-\frac{2z}{a}\right)}.$$

$$7. W_p = \frac{q}{\pi^2} \frac{1}{(1+p^2)^4}.$$

$$8. H = -\frac{\hbar^2 m}{h^3 (p + \frac{1}{2}) j(j+1)}.$$

$$10. \Psi_{nmpz}(p, \phi, z) = \exp(i m \phi + i p_z z / \hbar - q^2 / 4a^2) \times$$

$$\times \left(\frac{q}{a}\right)^{|m|} \Phi\left(-n - \frac{q}{2|e|} m - \frac{1}{2}|m|, |m|+1; \frac{q^2}{2a^2}\right),$$

$$a = \hbar c / e \mathcal{R}, \quad p = \sqrt{x^2 + y^2}.$$

$$11. \hat{y} = y - \frac{e \mathcal{R}}{c \mathcal{R}} (p_x - \frac{e c \mathcal{R}}{c} \mathcal{A}_x),$$

$$\hat{x}_o = x + \frac{e \mathcal{R}}{c \mathcal{R}} (p_x - \frac{e c \mathcal{R}}{c} \mathcal{A}_x),$$

$$\hat{y}^2 = \hat{x}_o^2 + \hat{y}_o^2, \quad \hat{p}^2 = (x - \hat{x}_o)^2 + (y - \hat{y}_o)^2.$$

$$12. E_{np, p_z} = \hbar \omega_c (n + \frac{1}{2}) + p_z^2 / 2m - C p_z \epsilon / \hbar k - m c^2 \epsilon^2 / 2 \gamma^2,$$

$$\Psi_{np, p_z}(x, y, z) = \exp\left[\frac{i}{\hbar}(p_y + p_z)z - \frac{m \omega_c}{2 \hbar}(x - \frac{p_y}{m \omega_c} - \frac{e \epsilon}{m \omega_c})^2\right] \times H_n\left[\sqrt{\frac{m \omega_c}{\hbar}}\left(x - \frac{p_y}{m \omega_c} - \frac{e \epsilon}{m \omega_c}\right)\right], \quad \omega_c = \frac{e \mathcal{R}}{mc}.$$

$$13. \Psi_{nm}(p, \phi) = \exp(im\phi - p_z^2 / 2\epsilon^2) \times (\mathcal{E}/\hbar)^{1/m} \Phi^{(-n, |m|+1; \mathcal{E}^2/\hbar^2)},$$

$$E_{nm} = (2n + |m| + 1) \hbar \sqrt{\omega_L^2 + \omega_r^2} + m \hbar \omega_r + (k + \frac{1}{2}) \hbar \omega_r,$$

$$b = \frac{\hbar}{\sqrt{(\omega_r^2 + \omega_L^2)^{1/2}}}, \quad \omega_1 = \frac{e \mathcal{R}}{2 \mu c},$$

$$14. E_{nmk} = (2n + |m| + 1) \hbar \sqrt{\omega_L^2 + \omega_r^2} + m \hbar \omega_r + (k + \frac{1}{2}) \hbar \omega_r,$$

$$\omega_L = \frac{e \mathcal{R}}{2 \mu c}.$$

$$15. E_{ne} = 2(n + \ell + 1)^2 - \frac{1}{2}.$$

#### § 6. Приближенные методы

$$1. E_n = \hbar \omega(n + \frac{1}{2}) - \frac{15}{4} \frac{\alpha^2 \hbar^2}{m^3 \omega^2} \left(n^2 + n + \frac{11}{30}\right) +$$

$$+ \frac{3}{2} \beta \left(\frac{\hbar}{m \omega}\right)^2 \left(n^2 + n + \frac{1}{2}\right).$$

Частота классического осциллятора  $\Omega = \frac{\partial E_n}{\partial (\hbar \omega)} = \omega + \alpha^2 \left[-\frac{15}{4} \frac{\alpha^2}{m^2 \omega^3} + \frac{3}{2} \frac{\beta}{m \omega}\right]$ , где  $\frac{1}{2} m \omega^2 \alpha^2 = n \hbar \omega$ .

$$2. \Delta E = \frac{2}{3} \frac{2^4 \epsilon^2}{a_6^2} \left(\frac{\hbar}{a_6}\right)^2; \quad 3. \Delta E = \frac{2}{5} \frac{2^4 \epsilon^2}{a_6} \left(\frac{\hbar}{a_6}\right)^2.$$

ДЛЯ АТОМА ВОДОРОДА  $\Delta E/E \sim 10^{-10}$ .  
ДЛЯ 2Р СОСТОЯНИЯ  $\Delta E$  УМЕНЬШИТСЯ В  $(2R/a_6)^2$  РАЗ.  
3.  $E_{n_x}^{(0)} = \hbar \omega (2n_x + n_y + 1)$ . ДВА НИЖНИХ УРОВНЯ НЕ ВЫРОЖДЕНЫ И ДЛЯ НИХ  $E^{(1)} = 0$ . ТРЕТИЙ УРОВЕНЬ ДВОЙНО ВЫРОЖДЕН  $E_{1,0}^{(0)} = E_{0,2}^{(0)}$ , И ДЛЯ НЕГО  $E^{(1)} = \mp \frac{\sqrt{2}}{4} \alpha \left(\hbar/m\omega\right)^{1/2}$ .

4.  $E_{n_x, n_y, n_z} = \hbar \omega (2n_x + n_y + n_z + 2)$ . Для двух нижних уровней  $E^{(1)} = 0$ , для 3 и 4 уровня  $E^{(1)} = 0; \pm \sqrt{2} P$  и  $E_{1,0}^{(0)} = 0; \mp 2P$  соответственно, где  $P = \frac{1}{4} \beta (\hbar/m\omega)^{3/2}$ . Отсюда  $\beta \sim 0,6 \cdot 10^{-2} \text{ erg}$ . Подробнее см. задачу 32, § 7 в Э.Ферми, Избранные научные труды, т. I, стр. 440.

$$5. E_m = \frac{\hbar^2 m^2}{2I} + \frac{\epsilon^2 I d^2}{(4m^2 - 1)\hbar^2}; \quad \alpha = \frac{2 \mathcal{E} I d^2}{(4m^2 - 1)\hbar^2}.$$

$$6. E = E_{IM} + \Delta E; \quad E_{IM} = [2(I+1) - 3M^2] \frac{Q}{4I(2I-1)} \cdot \frac{\partial \mathcal{E}_2}{\partial z^2};$$

$\Delta E = -g\hbar M \mathcal{H} \cos \varphi$  при  $M \neq \pm \frac{1}{2}$ .  $\mathcal{H} \Delta E = \pm \frac{1}{2} g \hbar \mathcal{H} \sqrt{\epsilon + 4I(I+1)} \sin^2 \varphi$   
при  $|M| = \frac{1}{2}$  и получаем I.

$$7. W_{0+1} = \frac{\pi e^2 \mathcal{E}_0 \tau^2}{2m\hbar\omega} e^{-\frac{i}{\hbar}(\omega\tau)^2}$$

$$8. \frac{d^3W}{d^3\rho} = \frac{2^9}{3\pi^2\hbar^3} \frac{(ex\mathcal{E}_0\rho^*)^2}{\omega^3} \frac{\rho^3}{[1 + (\frac{\rho}{\hbar}\omega)^2]^6}$$

$$9. W = \frac{256}{3} \frac{q^3 \mathcal{E}_0^2}{\hbar} \left( \frac{\omega_0}{\omega} \right)^6 \cdot \left( \frac{\omega}{\omega_0} - 1 \right)^{3/2}, \text{ где } \hbar\omega_0 = \frac{e^2}{2a_0}$$

$$10. a) E_n = \mathcal{E}_0 \left( n + \frac{1}{2} \right)^{2/3}, \text{ где } \mathcal{E}_0 = \left( \frac{3\alpha\hbar^2}{4\sqrt{2m}} \right)^{2/3};$$

б) нечетные уровни пункта а), т.е.  $E_n = 2^{3/2} \mathcal{E}_0 \cdot \left( n + \frac{3}{4} \right)^{2/3}$ .

$$11. E_{n+1} - E_n = \hbar\omega_{\text{клас}}, \text{ где } \frac{2\pi}{\omega_{\text{клас}}} = \int \frac{\sqrt{m}}{\sqrt{2(E-U(x))}} dx.$$

$$12. E_{n_1, l+1} - E_{n_2, l} = \frac{\Delta\varphi}{2\pi} \hbar \omega_{\text{клас}}, \text{ где}$$

$$\frac{2\pi\Delta\varphi}{\omega_{\text{клас}}} = \oint \frac{m dx}{\rho_2}, \Delta\varphi = \int \frac{\hbar(l+\frac{1}{2})dx}{x^2\rho_2}, \rho_2 = \sqrt{2m(E-U(x))} - \frac{\hbar^2(l+\frac{1}{2})^2}{2m^2x^2}$$

( $\Delta\varphi$  в классической механике имеет смысл угла поворота радиуса-вектора частицы за одно радиальное колебание).

$$13. \psi_n(x) = \frac{\sqrt{2}}{\sqrt{\pi} |a^2 - x^2|^{1/4}} \cdot \begin{cases} \sin \varphi & \text{при } 0 < x < a, \\ \frac{1}{2} e^{-\alpha} & \text{при } x > a, \end{cases}$$

$$\text{где } \varphi = \frac{\pi}{2}(n+1) - (n+\frac{1}{2}) \left( \frac{x}{a} \sqrt{1 - \frac{x^2}{a^2}} + \arcsin \frac{x}{a} \right),$$

$$\alpha = (n+\frac{1}{2}) \left[ \frac{x}{a} \sqrt{\frac{x^2}{a^2} - 1} - \ln \left( \frac{x}{a} + \sqrt{\frac{x^2}{a^2} - 1} \right) \right],$$

$$E_n = \hbar\omega(n+\frac{1}{2}), \quad \psi_n(-x) = (-1)^n \psi_n(x);$$

$$\left( \frac{d\psi}{dx} \right)_{\text{кван.}} = |\psi_n(x)|^2; \quad \left( \frac{d\psi}{dx} \right)_{\text{клас.}} = \begin{cases} \frac{1}{x\sqrt{a^2-x^2}} & \text{при } |x| < a, \\ 0 & \text{при } |x| > a. \end{cases}$$

## § 6. ПРИБЛИЖЕННЫЕ МЕТОДЫ

$$14. Y_{n,l,n} = \frac{1}{2} X_{nl}(r) Y_{l0}(\theta, \varphi); \quad Y_{l0} = \frac{\sqrt{2}}{\sqrt{\pi} (\sin \theta)^{1/2}} \sin \left[ (l+\frac{1}{2})\theta + \frac{\pi l}{4} \right];$$

$$X_{nl}(r) = \sqrt{\frac{2m\omega_{\text{клас}}}{\pi r P_n}} \sin \left( \frac{1}{\hbar} \int_{r_1}^r P_2 dr + \frac{\pi l}{4} \right),$$

где  $P_2 = \sqrt{2m[E-U(r)] - \frac{\hbar^2(l+\frac{1}{2})^2}{2mr^2}}$ , а  $r_1$  — меньший корень уравнения  $P_2(r) = 0$ ;

область применимости  $\theta \gg 1$ ;  $(\pi-\theta)\theta \gg 1$  и  $\left| \frac{d(\hbar/P_2)}{dr} \right| \ll 1$ .

$$15. \delta E = \langle \psi_n | \delta U | \psi_n \rangle, \text{ в квазиклассическом пределе } \delta E = \langle \delta U \rangle \equiv \frac{1}{T_{\text{клас}}} \oint \delta U(x(t)) dt$$

— среднее за период движения значение  $U$ , а  $x(t)$  — классическая траектория.

$$16. t_{\text{заг}} = \int_{-\infty}^t \left( \frac{1}{\nu} - \frac{1}{\nu_0} \right) dx, \text{ где } \nu = \sqrt{\frac{2}{m}[E-U(x)]}, \quad \nu_0 = \sqrt{\frac{E-E_0}{m}}.$$

$$17. T \sim \frac{a}{\nu} \exp \left[ -\frac{4}{\hbar} \sqrt{2m(U_{\text{ макс}} - E)} \cdot (b-a) \right] \sim 10^{-11} \text{ sec.}$$

$$18. \text{Время жизни } \sigma \approx \frac{2a}{\nu} \exp \left[ -\frac{4\pi\sqrt{2m}}{\hbar\sqrt{E}} \right], \text{ отсюда}$$

$$A = \frac{6g}{\nu} \frac{2a \ln 2}{\nu}; \quad B = \frac{\pi^2}{\hbar} (lg e) \alpha \sqrt{2m}; \quad E = \frac{1}{2} m\nu^2.$$

$$19. D = \exp \left[ -\frac{4}{\hbar} \frac{\sqrt{2m}}{e\varepsilon\hbar} |E|^{3/2} \right] \sim 10^{-84}; \quad j = \varepsilon n v D \sim 10^{-64} \text{ а/см}^2$$

при  $n \sim 10^{22} \text{ см}^{-3}$  и  $\nu \sim 10^8 \text{ см/сек.}$

$$20. \langle T \rangle = \frac{\hbar^2}{2m} \int \left( \frac{d\psi_n}{dx} \right)^2 dx = \frac{1}{2} (n+\frac{1}{2}) \frac{dE_n}{dn}.$$

$$21. \text{Энергетический спектр } E_n = E_n^{(0)} + \Delta E_n, \quad \text{где } E_n^{(0)} - \text{уровни энергии одной ямы, а) } \Delta E_n = \pm \frac{\hbar\omega_{\text{клас}}}{2\pi} \sqrt{D} \quad \text{и}$$

$$\frac{\partial \pi}{\omega_{\text{клас}}} = 2m \int_a^b \frac{dx}{P(x)};$$

5) для оценки величины  $U - E$  примем  $\hbar \omega_{\text{клас}} \sim \sqrt{m_e/M_p}$ ,  $a \sim 1$ ,  
тогда  $U - E \sim 1$  (в атомных единицах);

$$\text{в)} \quad C = \frac{\pi r^2}{\omega_{\text{клас}} \sqrt{D}} = \frac{\pi \hbar}{2|\Delta E_n|}.$$

22. в) Положение квазиуровня определяется из условия

$$2 \int_{-\alpha}^{\alpha} \rho dx = 2\pi \hbar (n + \frac{1}{2}), \quad \text{а его ширина } \Gamma = \frac{\hbar \omega_{\text{клас}}}{2\pi} \exp\left[-\frac{2}{\hbar} \int_0^b \rho dx\right],$$

$$\text{где } \rho = \sqrt{2m[E - U(x)]}, \frac{2\pi}{\omega_{\text{клас}}} = 2m \int_{-\alpha}^{\alpha} \frac{dx}{\rho}. \text{ Вокруг}$$

$$\text{квазиуровня } D(E_n + \Delta E) = \frac{r^2}{r^2 + (\Delta E)^2}.$$

б) Умножится вдвое.

23. Зависимость  $\Delta E \sim \sqrt{D}$ ;  $\Gamma = \hbar/\tau \sim D$ . Второй результат можно получить из оценки: если вероятность частицы пройти под барьером  $D$ , то частица уйдет из ямы за время  $\tau \sim 1/D\omega$ ,

где  $\omega$  — частота колебаний в яме. Первый результат очевиден из

теории возмущения с двухкратно выраженным уровнем  $|V_{ik} - \Delta E \delta_{ik}| = 0$ .

Так как  $V_{11} \sim V_{22} \sim e^{-2\alpha/k_1}$ , а  $V_{12} \sim V_{21} \sim e^{-\alpha/k_1}$ , то

$$V_{11} \sim V_{22} \ll |V_{12}| \sim |V_{21}| - E \quad \Delta E \sim |V_{12}| \sim \sqrt{D}.$$

$$24. E_0 = \frac{g}{2\sqrt{6}} \left( \frac{c^2 h^2}{2m} \right)^{1/3} \approx 2,48 \left( \frac{c^2 h^2}{2m} \right)^{1/3},$$

точность приближения ~ 6%.

$$25. E_0 = \frac{\hbar^2}{2m} \left( \frac{\alpha_0}{2\alpha} \right)^2 - V \left( \frac{\alpha_0}{1+\alpha_0} \right)^3$$

$\frac{(1+\alpha_0)^4}{\alpha_0} = \frac{12Vm\sigma^2}{\hbar^2}$ , где  $\alpha_0$  — корень уравнения

соответствующий минимуму функции  $E_0(\alpha)$

численное решение  $\alpha_0 = 1,34$ ;  $E_0 = -2,14 \text{ МэВ}$ .

§ 7. АТОМ. МОЛЕКУЛА

1. а)  $\Delta E \sim \mu_e^2/a_0^3 \sim \alpha^2 E_{am} \sim 10^{-4} \text{ мэВ}/\hbar^2$ ,

$$\text{б) } \Delta E \sim \left( \frac{P}{mc} \right)^2 E_{am} \sim \alpha^2 \frac{me^4}{\hbar^2},$$

$$\text{в) } \Delta E \sim \frac{\mu_s \mu_a}{a_0^3} \sim \alpha^2 \frac{m_e}{M_p} E_{am} \sim 10^{-7} E_{am},$$

$$\text{г) } \Delta E \sim Q_s \frac{e}{a_0^3} \sim e P_A \frac{e}{a_0^3} \sim \left( \frac{R_A}{a_0} \right)^2 E_{am} \sim 10^{-10} E_{am},$$

$$\text{д) } \Delta E \sim \left( \frac{R_A}{a_0} \right)^2 E_{am}.$$

$$\text{е) } \Delta E \sim \left( \frac{R_A}{a_0} \right)^2 E_{am}.$$

$$\text{ж) } \Delta E \sim \left( \frac{R_A}{a_0} \right)^2 E_{am}.$$

Таким образом, конфигурация валентных электронов отличается только главным квантовым числом. Основной терм в особых случаях  $F_2^2$ .

5. а)  ${}^3P_{1/2}$ ,  ${}^2P_{3/2}$ ,  ${}^2D_4$ ,  ${}^4F_{9/2}$ ,  ${}^4S_{3/2}$ ,  ${}^2D_{3/2}$ ,

б)  ${}^1S$ ,  ${}^3P$ ,  ${}^1D$ ,  ${}^3F$ ,  ${}^1G$ .

$$\text{в) } {}^2S$$
,  ${}^2P$ ,  ${}^2P$ ,  $D$ .

7. Всегда можно считать  $n \leq l+1$ 

a)  $n$  - четное,  $L_{max} = n(l - \frac{n}{2}) \cdot \frac{n-2}{2}$ .

б)  $n$  - нечетное,  $L_{max} = n(l - \frac{n-1}{2}) \cdot \frac{n-1}{2}$ .

8. а)  $Z^{-1/3} (\hbar^2/m e^2)$ .

б)  $Z^{1/3} (m e^4/\hbar^2)$ .

в)  $Z^{4/3} (m e^4/\hbar^2)$ .

г)  $Z^{7/3} (m e^4/\hbar^2)$ .

д)  $Z^{2/3} (e^2/\hbar)$ .

е)  $Z^{1/3} \hbar$ .

ж)  $Z^{1/3}$ .

и)  $Z^{(j+1)-l}$ .

9.  $\Delta E = \left(\frac{m_e}{2M_p}\right) \cdot \frac{m_e e^4}{2\hbar^2} \sim 10^{-3} E_{atom}$ .

10.  $|Q| = e \frac{j-\frac{l}{2}}{j+l} \bar{r}^2$ , где  $\bar{r}^2 = \frac{1}{2} n^2 [5n^2 + 1 - 3l(l+1)] \alpha_e^2$ .

11.  $\Delta E = \mu_B \mathcal{H} g J_z$ , где

$$g = 1 + \frac{3(j+1) - l(l+1) + s(s+1)}{2 \cdot j(j+1)}$$

12. Нормальный.

13. Нет.

14.  $\Delta E = \mu_B \mathcal{H} (L_z + 2S_z) + A L_z S_z$ ,

где  $A$  характеризует тонкую структуру уровней.

Для водорода  $A = \frac{e^2 \hbar}{2 m^2 c^2} \left\langle \frac{1}{r_3} \right\rangle = \alpha^2 \frac{m e^4}{2 \hbar^2} \cdot \frac{1}{n^2 l(l+\frac{1}{2})(l+1)}$ ,

при  $\mathcal{H} > A$  при  $\mathcal{H} \geq 10^5$  э. с.

## § 7. АТОМ. МОЛЕКУЛА

15.  $\hbar \omega_{pg} = E_p - E_S \equiv 4E_0 + 4E_{11} + 4E_{12}$ ;

$$E_p = E_p^{(0)} - \mu_B \mathcal{H} (l_z + 2S_z) + \frac{e^2 a_0^2 \mathcal{H}^2}{8mc^2} n^4 (l + l_z^2)$$
;

$$E_S = E_S^{(0)} - 2/\mu_B \mathcal{H} S_z^2$$
;

$$\Delta E_0 : \Delta E_{11} : \Delta E_{12} \approx 10^5 : 3 : 2$$
.

16. Собственные функции характеризуются квантовыми числами:  $(l_1, l_2, J_1, J_2, J, J_z)$ .

$$\Delta E = g \mu_B \mathcal{H} J_z ; \quad g = \frac{g_1 + g_2}{2} + \frac{g_1 - g_2}{2} \cdot \frac{J(J+1) - J_z(J_z+1)}{J(J+1)} ;$$
  
$$g_i = 1 + \frac{J_i(J_i+1) - l_i(l_i+1) + s_i(s_i+1)}{2 \cdot J_i(J_i+1)} ;$$

$$l_{1,2} = J_{1,2} \pm \frac{l}{2} ; \quad s = \frac{1}{2} .$$

17.  $E = \frac{1}{2}(E_+ + E_-) + \mu_B \mathcal{H} J_z \pm \sqrt{\frac{1}{4}(E_+ - E_-)^2 + \mu_B^2 \mathcal{H}^2} \frac{J_z(E_+ - E_-)}{2l+1} + \frac{1}{4} \mu_B^2 \mathcal{H}^2$ ,

где  $E_+ = E_{K_H} + \frac{1}{2} A \ell$ ,  $E_- = E_{K_H} - \frac{1}{2} A (\ell+1)$ .

$$A = \alpha^2 \frac{m e^4}{2 \hbar^2} \cdot \frac{1}{n^2 l(l+\frac{1}{2})(l+1)}$$
.

18.  $\Delta E = \frac{2 \mu_B \hbar \alpha}{a_0^3} \cdot \frac{1}{n^3 l(l+1)l(l+1)} [F(F+1) - J(J+1) - i(i+1)]$ , где

$$F = \vec{J} + \vec{I} ; \quad I = \text{магнитный момент ядра}, \quad \vec{I} = \text{спин ядра}, \quad F = \text{полный момент ядра}$$

$$\frac{\Delta E_H}{\Delta E_D} = \frac{\mu_B}{\mu_B} \cdot \frac{i_d}{i_p} \approx 4,4$$
.

19.  $I = \frac{3}{2} ; \quad \Delta E_r : \Delta E_1 : \Delta E_3 = 2 : 3 : 4$ .

20.  $E = \frac{1}{2}(E_+ + E_-) \pm \frac{\Delta E}{2} \sqrt{1 + \frac{2\Delta E}{l(l+\frac{1}{2})} f_z + \frac{\Delta E^2}{4}}$ , где  $E_+$  и  $E_-$  - энергии уровней сверхтонкой структуры с  $F=1$ .  $f_z = 0$  в отсутствие магнитного поля,  $\Delta E = E_+ - E_-$ ,  $f_z$  - спин ядра,

$$\Xi = \frac{g}{\hbar} \frac{\partial \mathcal{H}}{\partial E} ;$$

$$E_+ = \frac{m e^4}{2 \hbar^2} + \frac{g}{3} \frac{\mu_3 \mu_2}{a_s^3}, \quad E_- = \frac{m e^4}{2 \hbar^2} - \frac{g}{3} \frac{\mu_3 \mu_2}{a_s^3};$$

$$\mu_p = 2,79 \frac{e \hbar}{2 m_p c}.$$

21.  $\mathcal{H} \sim 10^{-5}$  арстед. Наблюдение проводится на фоне диполь-ровского уширения порядка  $10^4$  Гц.

22. Используя результаты предыдущей задачи, получим из

$$\frac{\partial E}{\partial \mathcal{H}} = 0, \text{ что } \mu_d = \frac{3}{16} \frac{a_s^3}{\lambda} \mathcal{H}; \quad \mu_d \approx 0,85 \frac{e \hbar}{a_s m_p c}.$$

При  $n \gg j$  имеем  $\Delta E \sim n^2 \cdot \Delta E_{\text{диполь}} \sim \Delta E_{\text{дип}} \sim \mathcal{E}_0 \sim 10^5 \text{ еВ}$  — применимость поля.

$$\Delta E = \pm \frac{3n}{4j(j+1)} \sqrt{n^2 - (j+\frac{1}{2})^2} \cdot e \mathcal{E}_0 \gamma_z, \quad \text{где } \mathcal{E}_0 - \text{напряженность поля.}$$

При  $n \gg j$  имеем  $\Delta E \sim n^2 \cdot \Delta E_{\text{диполь}} \sim \Delta E_{\text{дип}} \sim \mathcal{E}_0 \sim 10^5 \text{ еВ/см.}$

$$\mu = \mu_d \frac{(j+\frac{1}{2})^2}{j(j+1)} \cdot j_z \quad \text{для } j \neq n-1,$$

$$\mu = \mu_d \frac{j+\frac{1}{2}}{j} \cdot j_z \quad \text{для } j = n-1.$$

При напряженности  $\mathcal{E} \lesssim 10^2 \text{ еВ/см}$  уже, вообще говоря, нельзя пренебречь отсутствием вырождения по  $j$  при данном  $j$  (Лэмбовское расщепление). В этом случае величина магнитного момента зависит от  $\mathcal{E}$ .

25. Уширение, постепенное ослабление интенсивности и исчезновение спектральных линий по мере увеличения напряженности электрического поля.

$$26. U(R) = -\frac{g}{4} \left( \frac{q_e}{R} \right)^3 \frac{2e^2}{R}.$$

$$27. U(R) = \frac{6e^2}{R^6} \sum_{m,n} \frac{|Z_{om} Z_{on}|^2}{2E_o - E_n - E_m} \approx \frac{3e^2}{R^6} \sum_m |Z_{om}|^2 \sum_n \frac{|Z_{on}|^2}{E_o - E_n} \approx$$

$$\approx -\frac{27}{4} \left( \frac{q_e}{R} \right)^5 \frac{e^2}{R}.$$

Средний (по времени) дипольный момент атома водорода равен нулю

Классическое объяснение сил Ван-дер-Ваальса состоит в воспроизведении корреляции между положением орбит двух атомов в пространстве во время их прецессии (см. также задачник Гольдмана, Кирченкова. [5], § 8, № 34).

$$28. W_{\theta \rightarrow 0} = (\delta/\theta)^3 \approx \theta_{\perp 10}^3; \quad W_\theta \sim \left( \frac{e^2}{\hbar v} \right)^2, \quad \text{где } v - \text{скорость}$$

$$\beta - \text{электрона (} u \sim c \text{).}$$

$$29. W = \frac{2,45}{3 \cdot 10} Z^2 \left( \frac{\hbar}{m v \rho} \right)^2 \left( |\varphi_1(\lambda)|^2 + |\varphi_2(\lambda)|^2 \right), \quad \text{где } Z - \text{заряд иона,}$$

$$v - \text{его скорость, } \rho - \text{протяжное расстояние, } \lambda = \omega_r / v, \omega - \text{частота перехода.}$$

$$30. \varphi_1(\lambda) = \int_{-\infty}^{\infty} \frac{dx}{(x+x')^2} e^{i k x}, \quad \varphi_2(\lambda) = \int_{-\infty}^{\infty} \frac{dx}{x+x'} e^{-i k x}.$$

$$31. \begin{array}{ccccccc} H & \leftrightarrow & C & \leftrightarrow & C & \leftrightarrow & H \\ \downarrow & \downarrow & \downarrow & \downarrow & \downarrow & \downarrow & \downarrow \\ (1) & \downarrow & (2) & \downarrow & (3) & \downarrow & (4,5) \end{array}$$

$$(6,7)$$

Возможны 3 продольных колебания и по два изгибочных (в каждой из взаимно перпендикулярных плоскостях). Запрещены состояния, в которых сумма  $n_x + n_y + n_z + \ell$  принимает чётное (нечётное) значение при суммарном спине протонов  $S = 1 \text{ (0)}$ .

### § 8. Излучение

- I. а)  $E_1$  — электрический дипольный,  
б)  $M_1$  — магнитный дипольный,  
в)  $E_2$  — электрический квадрупольный.  
2. а)  $M_1$  — магнитный дипольный,  
б)  $M_1$ ,  
в) синус  $E_2$  и  $M_3$ .  
г) синус  $E_2$  и  $M_2$ .

$$3. \frac{1}{t} = \frac{4}{3} \frac{\omega^3}{\hbar c^3} |d_{21}|^2, \quad |d_{21}|^2 = \frac{1}{3} \frac{245}{39} e^2 \left( \frac{\hbar^2}{mc^2} \right)^2,$$

$$\omega = \frac{3me^4}{9\hbar^2}, \quad t = 0,45 \cdot 10^{-8} \text{ сек.}$$

$$7. \text{а) } \lambda^2 \theta, \quad \text{б) } (1 + \cos^2 \theta).$$

4. Переходы магнитного - дипольного типа.  $W = d \left( \frac{\omega}{\omega_0} \right)^5 \omega_0$ ,

где  $\omega$  - частота перехода,

$$\begin{aligned} \text{а) } \frac{\omega}{\omega_0} &\sim d^2, \quad W \sim d^{14} \omega_0 \sim 10^{-4} \text{ сек}^{-1}; \\ \text{б) } \frac{\omega_0}{\omega_c} &\sim \frac{m}{M} d^2, \quad W \sim \left( \frac{m}{M} \right)^3 d^{14} \omega_0 \sim 10^{-16} \text{ сек}^{-1}. \end{aligned}$$

5. Основной канал распада  $2^3P_{1/2}$  - уровень двухфотоний.

Вероятность перехода

$$W = \frac{2}{9\pi} |M|^2 \frac{\omega^3}{h^2 c^6} d\omega, \quad \omega + \omega' = \frac{E_{2s} - E_{1s}}{h},$$

$$M = \sum_n \left| \frac{\langle 2s | d | 1p \rangle \langle 1p | d | 1s \rangle}{\omega_{np, p_3} - \omega} + \frac{\langle 2s | d | 1p \rangle \langle np | d | 1s \rangle}{\omega_{np, 1s} - \omega'} \right|^2.$$

Для грубой оценки можно положить:

$$\omega' = \omega, \quad M \sim \frac{(e\tau_e)^2}{\omega}. \quad \text{Тогда} \quad \omega_0 \sim \frac{me}{h^3}. \quad \tau = \frac{1}{\omega} \sim 1 \text{ сек.}$$

6. В системе покоя распадающейся частицы:

$$\text{а) при распаде из состояния } | -\frac{1}{2}, s_z = \pm \frac{1}{2} \rangle$$

$$|A\rangle^2 \left\{ \begin{array}{l} \sin^2 \frac{\theta}{2} \left( \omega^2 \frac{\theta}{2} \right) \text{ для фотонов со спиральностью } (+I) \\ \cos^2 \frac{\theta}{2} \left( \omega^2 \frac{\theta}{2} \right) \text{ для фотонов со спиральностью } (-I), \end{array} \right.$$

$$\text{б) при распаде из состояния } | \omega^*, s_z = \pm 1 \rangle$$

$$|B\rangle^2 \left\{ \begin{array}{l} (1 \mp \cos \theta)^2 \text{ для фотонов со спиральностью } (+I) \\ (1 \pm \cos \theta)^2 \text{ для фотонов со спиральностью } (-I), \end{array} \right.$$

в) изотропное,

$$\text{г) при распаде из состояния } | A_4, s_z = \pm 1 \rangle$$

$$|C\rangle^2 \left\{ \begin{array}{l} (1 \mp \cos \theta)^2 \text{ для фотонов со спиральностью } (+I) \\ (1 \mp \cos \theta)^2 \text{ для фотонов со спиральностью } (-I). \end{array} \right.$$

8. Слабое поле (эффект Зеемана).  
Спектральная линия расщепления на четыре компоненты, соответствующие переходам (рис. I)

$$|2P_{1/2}, J_z = \pm \frac{1}{2}\rangle \rightarrow |1s_{1/2}, J_z = \pm \frac{1}{2}\rangle \quad (\text{ф.} \pm \text{ компоненты}) \quad E_x^X = E_0 \mp \frac{2}{3} \mu_0 \frac{V}{c}$$

$$|1s_{1/2}, J_z = \pm \frac{1}{2}\rangle \rightarrow |1s_{1/2}, J_z = \mp \frac{1}{2}\rangle \quad (\sigma_{\pm} \text{ - компоненты}) \quad E_x^S = E_0 \pm \frac{4}{3} \mu_0 \frac{V}{c}$$

Видеть помимо (оси  $E_x^X$ ) лежат лишь  $\delta_x$  компоненты, имеющие право для  $\sigma_+$  и левую для  $\sigma_-$  круговые поляризации. Отношение интенсивностей  $\sigma_+ : \sigma_- = 1 : 1$ .

Перпендикулярно полю (вдоль оси  $X$ ) наблюдаются все четыре компоненты, причем  $\sigma_{\pm}$  поляризованы вдоль оси  $\mp$ ,  $\sigma_{\pm}$  - вдоль оси  $Y$ . Отношение интенсивностей:  $\sigma_+ : \sigma_- : \sigma_{-} : \sigma_{+} = 2 : 2 : 1 : 1$ .

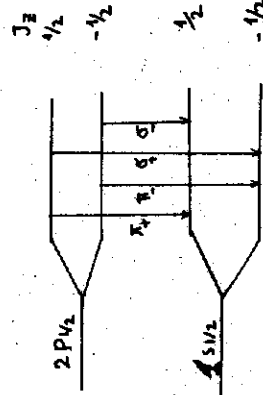


Рис. I.

2) Сильное поле (эффект Панено-Бэка).

Спектральная линия (в пренебрежении спин-орбитальным взаимодействием) расщепляется на три компоненты (рис. 2) с энергиами  $E_0$  и  $E_0 \pm \mu_0 \frac{V}{c}$ . В остальном - то же, что и в слабом поле.

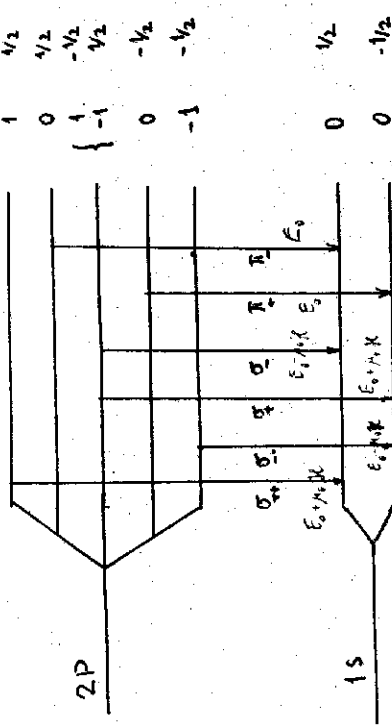


Рис. 2.

9. а)  $1 + \cos^2\theta$ ,  $\theta$  – угол между импульсом фотона и осью  $z$ ,

б) не поляризованы.

10. 1:2.

II. Вероятность перехода

$$W = \frac{1}{6} \left( \frac{e^2}{\hbar c} \right) \left( \frac{\mu_0 \chi}{mc^2} \right)^2 \frac{\mu_0 \chi}{\hbar} (J+M)(J+M+1), \quad \mu_0 = \frac{e\hbar}{2mc}.$$

Переходы магнитно-дипольные. Однако после суммирования по поляризации фотонов угловое распределение не отличается от случая электрически-дипольного перехода.

12. Переход магнитно-дипольный.

$$W = \frac{4}{3} \frac{\omega^3}{\hbar c^3} \mu_0^2 \approx 3 \cdot 10^{-15} \text{ с}^{-1}, \quad \mu_0 = \frac{e\hbar}{2mc}.$$

$$13. \text{ а) } W_{\text{рад}} \sim \alpha^3 Z^4, \quad W_{\text{зен}} \sim \alpha^4 Z^{2/3},$$

$$\frac{W_{\text{зен}}}{W_{\text{рад}}} \sim \alpha^2 Z^{10/3} \geq 1 \quad \text{при } Z \gtrsim 4.5.$$

б) Если  $K^-$ -мезон захвачен на уровне  $n$ ,  $\ell = n-1$ , то используется электрически-дипольный фотон, он может перейти лишь на соседний такой же уровень с  $n' = n-1$ ,  $\ell' = \ell - 1 = n-1$ .

$$W_{\text{рад}} \sim \alpha^3 Z^4 n^{-5}, \quad W_{\text{зен}} \sim \frac{C(n)}{n} (\alpha^2 Z^2)^{2n-2},$$

$$C(n) = \left( \frac{2}{n} \right)^n \frac{1}{n! (2n-1)!}.$$

Таким образом,

$$\frac{W_{\text{зен}}}{W_{\text{рад}}} \sim n^2 C(n) (\alpha^2 Z^2)^{2n-5} \geq 1 \quad \text{при } n \leq 5.$$

14.  $0 - 0$  переход является строго запрещенным только в пребывании взаимодействием электронов с магнитным моментом ядра. При учете этого взаимодействия сохраняется квантовым числом явленется лишь полный момент всего атома  $\vec{F} = \vec{J} + \vec{l}$ .

В первом приближении  $|l'_c\rangle = |l_P\rangle + \sum \frac{\langle P_c | V | l_P \rangle}{\hbar} l_P$ , где  $V = \vec{l}_3 \vec{J}_3$  – взаимодействие с ядром.

Таким образом,

$$W(P_0 \rightarrow S_0) \approx \left| \frac{\langle P_0 | V | l_P \rangle}{E_{P_0} - E_{l_P}} \right|^2 W(P_0 \rightarrow S_0), \quad |E_{P_0} - E_{l_P}| \approx 10^{-3} \frac{\text{мэВ}}{\text{Гц}},$$

$$\mu_A \sim \frac{e\hbar}{Mc}, \quad \mathcal{H}_e \sim \frac{1}{r_e^2} \frac{e\hbar}{mc}, \quad \frac{W(P_0 \rightarrow S_0)}{W(P_0 \rightarrow S_0')} \approx 10^{-8} \approx \frac{I(P_0 \rightarrow S_0)}{I(P_0 \rightarrow S_0')}.$$

$$15. \frac{I(P_{5/2} \rightarrow P_{1/2})}{\Gamma_0} = \frac{1}{9} \left( \frac{\mu_0 \chi_0}{\Delta E_P} \right)^2 \left[ 1 + \left( \frac{\epsilon}{S} \frac{\Delta E_P}{\Delta E_D} \right)^2 \right] 0.9 \cdot 10^{-2},$$

$$I_0 = I(P_{3/2} \rightarrow P_{1/2}) = I(P_{3/2} \rightarrow P_{1/2}), \quad \chi_0 = \frac{e\hbar}{2mc},$$

$$\Delta E_P = E(P_{3/2}) - E(P_{1/2}), \quad \Delta E_D = E(D_{5/2}) - E(D_{3/2}).$$

$$16. \text{ Время жизни состояния } 2s_{1/2} \text{ с проекцией } J_z = \pm \frac{1}{2} \text{ равно } \tau_{\pm} = (\lambda_{\pm})^{-1/2} \tau_{2P}, \quad \text{где } \tau_{2P} = 1.6 \cdot 10^{-9} \text{ с} \text{ – время жизни } 2P_{1/2} \text{ состояния,}$$

$$\lambda_{\pm} = \frac{e^2 \Sigma \chi_{\pm} \tau_{\pm}}{\Delta E_{\pm}} \pm \frac{4}{3} \frac{\mu_0 \chi_0}{\Delta E_{\pm}} \quad \text{с} \pm \sqrt{\frac{3}{2}}, \quad \epsilon_{\pm} = \sqrt{3}, \quad \chi_0 = \frac{e^2}{mc^2}, \quad \mu_0 = \frac{e\hbar}{2mc}.$$

$\Delta E_{\pm}$  – ланбовское расщепление  $2s_{1/2} - 2P_{1/2}$  уровней.

$\tau_+ = 1,6 \cdot 10^{-5}$  сек.,  $\tau_- = 0,2 \cdot 10^{-6}$  сек.

$$17. \frac{1}{\hbar\omega} = 2 \frac{e^2}{\hbar c} \frac{\hbar\omega}{mc^2} \omega e^{-\beta} f^3(\beta),$$

$$\beta = \frac{\hbar\omega}{kT}, \quad f(\beta) = (1 - e^{-\beta})^{-1}.$$

$$18. \left( \frac{p_0}{2m} + \hbar\omega n_0 \right)^{-1} I = \frac{2}{3} \frac{e^2}{\hbar c} \frac{\hbar\omega}{mc^2} \omega, \quad \text{где}$$

$p_0$  — составляющая импульса вдоль оси колебаний,

$n_0$  — начальное состояние.

19. Пусть система  $A_1$  имеет момент  $J_1$ , а  $A_2$ -момент  $J_2$ .

Тогда

$$\frac{\sigma_{\text{фоторасп}}}{\sigma_{\text{рекомбн}}^{\text{нац}}} = \frac{2J_2 + 1}{2J_1 + 1} \frac{q^2}{k^2}, \quad \text{где}$$

$q$  — импульс электрона,  $k$  — импульс фотона,

$$\text{при } \omega \sim \frac{e^2}{\hbar^3} \sigma_{\text{рекомбн}} \sim \omega^2 \sigma_{\text{фоторасп}}.$$

20. Указание: рассмотривать перекрытие электронных оболочек разных атомов и возникающую экранировку поля ядра на больших расстояниях (больших  $n$ ), учитывая линий за счет столкновений и полей соседних атомов.

21. Вероятность того, что ортоизotronий распадается за время  $t$  равна:  $w(t) = 1 - \frac{(1+x)}{2} e^{-t} [\Gamma_n(1+x) + \Gamma_n(1+x) - \frac{1-x}{2} e^{-t} [\Gamma_n(1+x) + \Gamma_n(1+x)]]$ ,

$$\text{где } \Gamma_+ = \frac{1}{2\Gamma_0} = 1,4 \cdot 10^{-7} \text{ сек. — время жизни ортоизотрона,}$$

$$\Gamma_{\text{р.}} = \frac{1}{2\Gamma_0} = 1,2 \cdot 10^{-10} \text{ сек. — время жизни параллелитрона,}$$

$$x = \frac{4E}{\sqrt{(\Delta E)^2 + 16\mu_e^2 k_b^2}}, \quad \Delta E — \text{разность уровней орто- и}$$

$$\text{параллелитрона, } \Delta E = 8,2 \cdot 10^{-4} \text{ эВ.}$$

В слабом поле ( $\lambda = 1 - \gamma, \gamma = \delta \mu_0 \hbar c / \epsilon_0 E < 1$ ),

$$w(t) = 1 - e^{-2\Gamma_0 t}, (1 + \int_{\infty}^t \Gamma_n (1 - \Gamma_n) dt).$$

В сильном поле ( $\lambda \rightarrow 0$ )  $w(t) = 1 - e^{-t} \Gamma_n$ , т.е. время жизни в два раза больше времени жизни параллелитрона.

В случае распада параллелитрона ответ получается заменой  $x \rightarrow -x, \Gamma_0 \leftrightarrow \Gamma_n$ .

$$22. \text{a) } \sigma_{\text{иониз.}} \approx \text{const.}$$

$$\text{б) } \sigma_{\text{иониз.}} = \text{const},$$

$$\text{в) } \sigma_{\text{иониз.}} \sim \begin{cases} \sqrt{\hbar\omega - \Gamma} & \text{если } \ell = 1, \\ (\hbar\omega - 1)^{3/2} & \text{если } \ell = 0. \end{cases}$$

где  $\Gamma$  — потенциал ионизации.

23. Угловое распределение электронов имеет вид  $\sim |\vec{p} \cdot \vec{e}_\lambda|^2$ , где  $\vec{e}_\lambda$  — вектор поляризации фотона  $\vec{p}$  — орт импульса электрона. Полное сечение.

$$\sigma = \frac{2g}{3}\alpha^2 \frac{\pi}{2} \left( \frac{I_0}{\hbar\omega} \right)^{1/2} q_e^2, \quad q_e = \frac{\hbar^2}{mc^2}, \quad I_0 = \frac{mc^4}{2\pi^2}.$$

$$24. \sigma_{\text{Рэб.}} = \frac{g\pi}{3} \alpha \left( \frac{I_0}{\hbar\omega} \right)^{1/2} q_e^2, \quad \gamma_0 = \frac{k}{\sqrt{MC}}, \quad M — \text{масса нуклона.}$$

$$\sigma_{\text{Фэб.}} = \frac{2}{3} \frac{M c^2}{\hbar\omega} \left( 1 - \frac{1}{\hbar\omega} \right)^{1/2}, \quad \sigma_{\text{Фэб.}}(\hbar\omega - I) \sim (\hbar\omega - I)^{1/2}.$$

$$25. d\sigma = \frac{4\pi}{3} \times (2 - \varepsilon) \sqrt{1 - \frac{2\varepsilon}{\hbar\omega}} \frac{e}{mc^2} \sigma_0 \frac{d\omega}{\omega}, \quad \text{где } \omega — \text{частота фотона, } \varepsilon — \text{ начальная энергия электрона, } \sigma_0 = \frac{g\pi}{3} \alpha, \sigma_0 = \frac{4\pi}{3} \alpha^2 — \text{ сечение второго рассеяния медленного электрона на атоме.}$$

$$26. \frac{d\sigma}{d\omega} = \frac{32\pi^4}{3} \alpha^2 \left| \int \vec{p} \right|^2 \left| \int d\Omega \right|^2 \left| \vec{p} - \vec{p}' \right|^2 V(\vec{q}), \quad \text{где } \omega — \text{ частота фотона, } \vec{p}_0 = \frac{3^2}{2m} \vec{p}, \quad V(\vec{q}) = \frac{2}{2\pi^2 q^2} F(\vec{q}), \quad F(\vec{q}) = \int d\vec{r} \rho e^{i\vec{q} \cdot \vec{r}} \text{ — форму-образ потенциала атома, } \vec{p} = \vec{p}_0 - \vec{p}', \quad \vec{p}' = \vec{p}_0 - \vec{p}.$$

$$\text{для } \sigma' = \sigma_0 \int_{\infty}^{\infty} \frac{p_0}{p_0 - p} \frac{dp}{\omega}, \quad \sigma_0 = \frac{16}{3} Z^2 \alpha^3 \frac{k^2}{p_0^2}.$$

$$\text{Для дальнейшего сравнения можно положить } \sigma' \sim \sigma_0. \quad \text{Результативное сечение на большие углы } \sigma_R \sim \left( \frac{\sum e^2 m}{R^2} \right)^2 \sigma_0. \quad \text{Таким образом, } \sigma \sim \sigma_0 \sim \left( \frac{p_0}{mc} \right)^2 \sigma_0 \sim \frac{\sigma_0}{R^2}.$$

Чтение радиационного захвата быстрого электрона

$\sigma_{\text{врб.}} \sim \alpha \left( \frac{k}{m_e} \right)^2 \left( \frac{E_{\text{ион.}}}{E_0} \right)^2$ , где  $E_0$  – потенциал ионизации.  
Таким образом,  $\sigma \sim \sigma_v \sim \left( \frac{p_e}{2} \right)^2 \left( \frac{k}{m_e} \right)^2 \delta_{\text{врб.}}$ .

$$27. \frac{dE_\omega}{d(\hbar\omega)} = \frac{8}{3\pi} \alpha \frac{v^2 \ln v}{c^2},$$

где  $v$  – начальная скорость,  $v'$  – конечная скорость электрона.

28. Если в отсутствие дипольевого уширения форма спектральной линии есть  $N_0(\omega) = \delta(\omega - \omega_0)$ , то

$$\mathcal{N}(\omega) = \frac{1}{\omega_0} \left( \frac{Mc^2}{2\pi kT} \right)^{1/2} \exp \left[ - \frac{Mc^2}{2kT} \frac{(\omega - \omega_0)^2}{\omega_0^2} \right],$$

где  $M$  – масса атома,  $T$  – температура газа.

Характерное уширение  $\frac{\Delta\omega}{\omega_0} \sim \left( \frac{kT}{Mc^2} \right)^{1/2}$ .

30.  $N(\omega) = \frac{4}{\pi} \frac{\Gamma/2}{(\omega - \omega_0)^2 + (\Gamma/2)^2}$ , где  $\frac{\Gamma}{2} = \frac{\omega_e^2}{c^2} D$  – характеристика ширини.

$$31. \left( \frac{d\sigma}{d\omega} \right)_{\text{мех.}} = 2\pi \left( \frac{c}{\omega_0} \right)^2 \frac{g_{\text{мат.}}}{g_{\text{мат.}}} = 2\pi \lambda^2 \frac{g_{\text{мат.}}}{g_{\text{мат.}}},$$

$g_{\text{мат.}}(g_{\text{мат.}})$  – статистический вес конечного (начального) состояния,  $\omega_0$  – резонансная частота.

$$32. \sigma = \frac{8\pi}{3} \alpha^2 \left( \frac{\omega_e^2}{\omega_e^2 - \omega^2} \right)^2 \left( \frac{k}{mc} \right)^2.$$

33. а) Длина волны фотона намного больше характерного размера дейтона. Таким образом, в кулевом приближении сечение равно классическому сечению рассеяния на частице с зарядом  $e$  и массой  $m$ .

$$\sigma_v = \sigma_{\text{кн.}} = \frac{8\pi}{3} \alpha^2 \left( \frac{k}{2mc} \right)^2.$$

С учетом первой поправки сечение есть

$$\sigma' = \frac{8\pi}{3} \alpha^2 \left( \frac{k}{2mc} \right)^2 \left[ 1 - \frac{1}{8} \left( \frac{k\omega}{E} \right)^2 \right].$$

б) В этом случае в кулевом приближении сечение равно классическому сечению рассеяния на протоне:

$$\sigma_v = \frac{8\pi}{3} \alpha \left( \frac{k}{Mc} \right)^2.$$

С учетом первой поправки

$$\begin{aligned} \sigma' &= \frac{8\pi}{3} \alpha^2 \left( \frac{k}{Mc} \right)^2 \cdot \left[ 1 - \frac{2}{3} \left( \frac{E}{E_0} \right)^{1/2} - \left( \frac{E}{E_0} \right)^{1/2} \right]^2 \approx \\ &\approx \frac{8\pi}{3} \alpha^2 \left( \frac{k}{Mc} \right)^2 \left[ 1 - \frac{2}{3} \left( \frac{E}{E_0} \right)^2 \right]. \end{aligned}$$

### § 9. Системы многих тел

1. При целом  $j$  (бозоны):  $j_{(3+1)/(2j+1)}$  симметричных,  $j_{(2j+1)}$  антисимметричных;

при полуцелом  $j$  (ферми):  $j_{(2j+1)}$  симметричных,  $j_{(3+1)/(2j+1)}$  антисимметричных.

3. Основное состояние отвечает квантовым числам  $n_x = n_y = n_z = 1$  и в случае б) отсутствует для спинового синглета, энергия  $E_0 = \frac{\pi^2 \hbar^2}{2m} \cdot 2 \left( \frac{l^2}{a^2} + \frac{l^2}{b^2} + \frac{l^2}{c^2} \right) + \frac{2\pi}{8} \frac{U_0}{abc}$  во всех трех случаях. Первое возбужденное состояние есть  $n_x = 2$ ,  $n_y = n_z = 1$  (считаем  $a > b, c$ ), его энергия

$$E_1 = \frac{n^2 \hbar^2}{2m} \left( \frac{5}{a^2} + \frac{2}{b^2} + \frac{2}{c^2} \right) + \Delta E,$$

где

$$\Delta E = \begin{cases} \frac{U_0}{qbc}, & \text{в случае а),} \\ \frac{U_0}{abc}, & \text{в случае б) и в случае в) для синглета,} \end{cases}$$

0 в случае в) для триплета.

Каковы условия применимости здесь теории возмущений?

$$4. J = \frac{e}{2}, \frac{5}{2}, \frac{7}{2}.$$

5.  $N=2 \rightarrow J=c, 2, 4$ ;  $N=3 \rightarrow J=0, 2, 3, 4, 6$ . Полное число состояний  $\Omega(N) = \sum_j (2j+1) = C_{N+1}^{N+1} = \frac{(N+1)!}{N! \cdot 4^j}$ ; если момент одного кванта равен  $l$ , то  $D_l(N) = \frac{(N+2)!}{N!(2l)!}$ .

6.  $J_{\text{ макс.}}(N) = \frac{2l+1}{2} N/l - \frac{N}{2l+1}$  обращается в нуль на краях оболочки; эта величина является наибольшей для наименованный оболочки  $N = \frac{3l+1}{2}$  и равна при этом  $\frac{1}{2}(2j+1)$ .

$$7. \quad \begin{cases} \theta_1 & \theta_2 \\ \theta_1 & \theta_2 \end{cases} \quad \begin{cases} \theta_1 & \theta_2 \\ \theta_1 & \theta_2 \end{cases} \quad \begin{cases} \theta_1 & \theta_2 \\ \theta_1 & \theta_2 \end{cases} \\ \theta_1 & \theta_2 \quad \theta_1 & \theta_2 \quad \theta_1 & \theta_2 \\ \theta_1 & \theta_2 & \theta_1 & \theta_2 & \theta_1 & \theta_2 \end{cases}$$

При  $\theta_1^2 > \theta_2^2$  при  $\theta_1^2 < \theta_2^2$ , при  $\theta_1^2 = \theta_2^2$  – максимальный угол  $\theta_c = \frac{R_c}{mc} = \frac{c}{2} \cdot 10^{-2}$  радиан,  $R_c$  – импульс ферми метала (в силу термализации позитрона это импульс мал по сравнению с харкатерными импульсами электронов,  $R_c/p_c \sim q_c/v_c \sim \sqrt{kT/m}/(E_0/kT) \sim \sqrt{kT/m} \ll 1$ ).

8.  $k = \frac{p}{\hbar} = \frac{2.64}{0.1} \text{ Å}^{-1}$ ,  $\varepsilon = \frac{p^2}{2m} = 3.63/\varepsilon_0^2$  ридберг,  $\tilde{\varepsilon} = \frac{3}{5}\varepsilon = 2.2/\varepsilon_0^2$  ридберг,  $\frac{\varepsilon/\varepsilon_0}{\tilde{\varepsilon}} = 0.90$ ,  $\nu \sim \nu_0$ , т.е. с ростом плотности эффективная роль Кулоновского взаимодействия падает, газ становится более иделиальным (в реальных металлах параметр  $\nu_0$  меняется от 2 до 5,5).
9.  $w(p) = \frac{2q}{p^3} \tilde{\varepsilon}^2 \left(1 - \frac{3}{2} \frac{\tilde{\varepsilon}}{p_0} + \frac{1}{2} \frac{q^2}{p_0^2}\right)$ ; эта функция распределения нормирована согласно  $\int_{-\infty}^{\infty} dq w(q) = 1$  ( $p_0$  — импульс Ферми). Вычислить интеграл  $\int p_i^2 dp_i$ ,  $\rho_F = \frac{1}{V} \int_{-\infty}^{\infty} d\tilde{\varepsilon} \tilde{\varepsilon}^2 \delta(\tilde{\varepsilon} - \frac{E_F + \tilde{\varepsilon}}{2})$ , полагая  $\tilde{\rho}_1 = \tilde{\varepsilon}^2 + \frac{p_0^2}{2}$ ,  $\tilde{\rho}_2 = -\tilde{\varepsilon} \frac{p_0^2}{2}$ .
10. Оценить фазовый объем для столкновения

$$\begin{array}{c} q > p_0 \\ q > p \\ \nearrow M \\ p > p_0 \end{array}$$

считая матричный элемент константой (вероятность  $w(p) \sim \frac{1}{p^2}$ ),

$$w(p) = \frac{2\pi}{\hbar} \int d\tilde{\varepsilon} d\tilde{\varepsilon}' d\tilde{\varepsilon}'' (4p_0^2) / (M)^2 \delta(\tilde{\varepsilon}^2 - \tilde{\varepsilon}'^2) \delta(\tilde{\varepsilon}'^2 - \tilde{\varepsilon}''^2) \delta(\tilde{\varepsilon} - \tilde{\varepsilon}' - \tilde{\varepsilon}'')$$
.

11. Оператор плотности  $\rho(\tilde{\varepsilon}) = \sum_n \delta(\tilde{\varepsilon} - \tilde{\varepsilon}_n)$  (сумма — по всем частичкам), оператор плотности тока  $j(\tilde{\varepsilon}) = \frac{1}{2m} \sum_n \tilde{p}_n (\delta(\tilde{\varepsilon} - \tilde{\varepsilon}_n) \tilde{p}_n)$ , где  $\tilde{p}_n = -i\hbar \nabla_{\tilde{\varepsilon}_n}$ . Гамильтониан системы  $H = \sum_{\tilde{\varepsilon}} \frac{\tilde{p}_{\tilde{\varepsilon}}^2}{2m} + \sum_{\tilde{\varepsilon}, \tilde{\varepsilon}'} U(\tilde{\varepsilon}_{\tilde{\varepsilon}})$ , тогда гейзенберговское уравнение движения для оператора  $j(\tilde{\varepsilon})$  дает

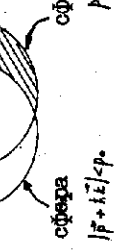
$$\dot{j}(\tilde{\varepsilon}) = -\frac{i}{\hbar} [j(\tilde{\varepsilon}), H] = -div \tilde{j}(\tilde{\varepsilon}).$$

12. Каждое из исключенных состояний характеризуется импульсом  $\tilde{p}_n$ ,  $|\tilde{p}| < p_0$ , отвечающим линке, оставленной внутри сферы Ферми, и импульсом  $\tilde{p} + \hbar \vec{k}$ ,  $|\tilde{p} + \hbar \vec{k}| > p_0$ , частицы нац сферой Ферми (импульс Ферми  $p_0 = (n \cdot 3\pi^2 h^3)^{1/3}$ ). Приведенные неравенства определяют область допустимых при данном  $\hbar \vec{k}$  (суммарный импульс пары частицы-дырки) значений  $\tilde{p}$ , связанных с относительным движением частицы и дырки. Эта область заштрихована на рисунке.

Энергии полученных состояний равны

$$E_{\tilde{p}}(\tilde{\varepsilon}) = \frac{(\tilde{p} + \hbar \vec{k})^2}{2m} - \frac{\hbar^2 k^2}{2m}$$

и заполняют "континuum первых возбуждений" в зоне заполнения "континум парных возбуждений".



13. Фурье-компоненты плотности  $\rho_2 = \sum_{\tilde{\varepsilon}} e^{-i\tilde{\varepsilon}\tilde{x}} - \rho_2^+ = \rho_2^-$ . Для доказательства исходного правила суммы следует вычислить двойной коммутатор  $\{[\rho_2, H], \rho_2^+\} = \frac{\hbar^2 k^2}{2m}$ , где гамильтониан  $H$  выписан в решении задачи 11, взять от этого коммутатора среднее  $\langle \dots \rangle$  по основному состоянию и воспользоваться тем, что в силу инвариантности относительно обращения в решении состояния  $\rho_2^+ = \rho_2^-$  и  $\rho_2^+/\rho_2^-$  имеющие импульсы  $\tilde{p} \mp \hbar \vec{k}$  (доказаните!), выражены по энергии. В длинноволновом пределе  $e^{-i\tilde{\varepsilon}\tilde{x}} = 1 - \tilde{\varepsilon} \tilde{x}$ , и мы получаем правило сумм для дипольных переходов.

- \*4. Введя полную систему промежуточных состояний  $|n\rangle$ , представить корреляционную функцию в виде

$$S_{\tilde{x}}(t) = \sum_n e^{-i\omega_n t} / (\rho_2^+)_n / ,$$

тогда ее Fourier-образ

$$S_{\tilde{x}_{\omega}} = 2\pi \sum_n \delta(\omega - \omega_n) / (\rho_2^+)_n / ,$$

и требуемое правило сумм вытекает из результата задачи 13.

15. Согласно решению задач 12, 14,

$$S'_{\tilde{x}_{\omega}} = 2\pi \sum_{|\tilde{p}| < p_0} \delta(\omega - \frac{\hbar^2 k^2}{2m}) / ,$$

- где суммирование — по разрешенной области, найденной в задаче 12, множитель 2 — от спинов частиц. Переход к интегрированию, получим

$$S'_{\tilde{x}_{\omega}} = \begin{cases} V_{\tilde{x}} \nu_0 \frac{\omega}{k \nu_0}, & 0 < \omega < k \nu_0 - \frac{\hbar^2 k^2}{2m}; \\ V_{\tilde{x}} \nu_0 \frac{\rho_e}{2\hbar k} \left(1 - \frac{\omega}{k \nu_0} - \frac{\hbar k}{2\rho_e}\right)^2, & k \nu_0 - \frac{\hbar^2 k^2}{2m} < \omega < k \nu_0 + \frac{\hbar^2 k^2}{2m}, \end{cases}$$

$$\rho_e = \frac{\rho_e}{V}, \quad \nu_0 = \frac{3\pi}{2\hbar}, \quad \frac{3mn}{2\hbar} = \frac{m\rho_e}{\pi^2 k^3} = \text{плотность состояний } \left(\frac{dn}{d\tilde{p}}\right)_{\tilde{p} = \hbar \vec{k}},$$

на границе Ферми,  $V$  – объем системы ( $\frac{V}{\Omega} \rightarrow V / (\frac{\rho_0}{(2\pi)^3})$ ).

16. Сравнивая определения динамического и статического формфакторов (задача 14, 15), найдем

$$S_F = \sum_n 1 / (\rho_F^2)_n / V = \int \frac{d\omega}{2\pi} S_{K_0} = \sum_{p_F} n_F (1 - n_{p_F, \sigma_F}) = 2\Omega,$$

где  $\Omega$  – объем допустимой для возбуждений частицы-дырка области (задача 12), множитель 2 – от спинов. Подставив  $S_{K_0}$  из задачи 15, получим

$$S_F = \begin{cases} N^2, & k=0 \text{ (так как } \rho_0 = N); \\ N \frac{k^2}{4\rho_0} \left[ 3 - \left( \frac{h k}{2\rho_0} \right)^2 \right], & 0 < k < \frac{2\rho_0}{\hbar}, \\ N, & k > \frac{2\rho_0}{\hbar}. \end{cases}$$

Почему при  $k > \frac{2\rho_0}{\hbar}$  статический формфактор перестает расти с ростом  $k$ ?

17. Искомая вероятность есть

$$g(r) = \frac{1}{N(N-1)} \langle 1 / \sum_{q \neq \ell} \delta(\vec{r}_q + \vec{r}_a - \vec{r}_b) / \rangle_0.$$

Добавим и вычитая члены с  $a = \ell$ , вводя операторы  $\rho_{\ell\sigma}$  фокусу априорной плотности (задача 13) и статический формфактор  $S_{K_0}$  (задача 16), найдем ( $V$  – объем системы)

$$g(r) = \frac{1}{N(N-1)} \int \frac{1}{NV} \sum_k S_{K_0} e^{i\vec{k}\vec{r}} - \delta(r) \left\{ \frac{N^2}{V(N-1)} \sum_k \left( \frac{N^2}{N} - 1 \right) e^{-i\vec{k}\vec{r}} \right\}.$$

Подставляя  $S_{K_0}$  из решения задачи 16, получим

$$g(r) = \frac{1}{V} \int 1 - \frac{2}{\pi} \int \frac{\sin(\rho_0 r) - \rho_0 r \cos(\rho_0 r)}{(\rho_0 r)^3} \int f.$$

Обсудите поведение полученной функции.

18. В пространственно-однородной системе решения уравнения Хартри-Фока с учетом взаимодействия по-прежнему даются плоскими волнами  $\Psi_{p\sigma} = \frac{1}{\sqrt{V}} e^{i\vec{k}_0 p / \hbar^2} \chi^\sigma$  ( $\chi^\sigma$  – спинор). Энергия этих состояний

$$\varepsilon_{p\sigma} = \frac{\vec{p}^2}{2m} + n U_0 - \frac{1}{V} \sum_{p'\sigma} n_{p'\sigma} U_{p'p\sigma},$$

где  $U_{p\sigma}$  – Фурье-компоненты потенциала  $U(\vec{r})$ ,  $n$  – полная плотность числа частиц  $N/V$ ,  $n_{p'\sigma}$  – числа заполнения состояний  $(p', \sigma)$ , равные 0 или 1,  $n = \sum_{p\sigma} n_{p\sigma}$ ,  $V$  – объем системы. Энергия всей системы

$$E_s = N \left\{ \frac{3}{5} \epsilon + \frac{1}{2} n U_0 - \frac{1}{2NV} \sum_{p\sigma} U_{p\sigma} n_{p\sigma} n_{p'\sigma} \right\}.$$

Заметьте, что  $n_{p\sigma}$  дает ту вариационной производной от полной энергии по соответствующим числам заполнения:

$$\varepsilon_{p\sigma} = \frac{\delta(E_s/V)}{\delta n_{p\sigma}}.$$

19. Нейтрализующий фон компенсирует Фурье-компоненту  $U_0$  (см. задачу 18). Учитывая, что Фурье-компоненты кулоновского потенциала есть

$$U_{p\sigma} = \frac{4\pi e^2 \hbar^2}{q^2},$$

$$\epsilon_{p\sigma} = \frac{E^2}{2m} - \frac{1}{V} \sum_{p'p} \frac{4\pi e^2 \hbar^2}{|p-p'|^2} n_{p'\sigma} \left[ 1 - \frac{p^2 p'^2}{2p_0^2} \ln \left| \frac{p+p'}{p-p'} \right| \right],$$

$$E_s = N \left\{ \frac{3}{5} \epsilon - \frac{1}{V} \sum_{p\sigma} \frac{4\pi e^2 \hbar^2}{|p-p'|^2} n_{p\sigma} n_{p'\sigma} \right\} = \frac{3}{5} \epsilon N + E_{\text{обр}}.$$

Вычисление  $E_s$  удобно проводить аналогично тому, как это делалось в задаче 9, тогда

$$\tilde{E}_{\text{обр}} = - \frac{3N}{4\pi} \frac{e^2 \rho_0}{\hbar},$$

или, вводя параметр  $r_1$  (задача 8),

$$\frac{E_{\text{обр}}}{N} = - \frac{0.916}{r_1} \text{ радиоэрг.}$$

Заметьте, что в этом приближении скорость частицы на границе Ферми  $v_s = \left( \frac{dr_s}{dt} \right)_{r=r_1} \rightarrow \infty$ , а плотность состояний  $v_s = \left( \frac{dn}{dt} \right)_{r=r_1} \rightarrow 0$ .

20. Если в нормальном состоянии импульс Ферми равен  $\rho_0$ , то в ферромагнитном он увеличивается до  $\rho_{\text{обр}} = 2\frac{1}{3} \rho_0$ . При этом программа в кинетической энергии  $\tilde{E}$  на одну частицу равен (задача 8)

$$\tilde{E}(2^{1/3} \rho_s) - \tilde{E}(\rho_s) = \frac{1.36}{r_3^2} \text{ радиоэрг.}$$

а выигрыш в обменной энергии (задача 19)

$$\frac{1}{N} \int E_{\text{обр}}(2^{1/3} \rho_s) - E_{\text{обр}}(\rho_s) f = - \frac{0.238}{r_3} \text{ радиоэрг.}$$

Ферромагнитное состояние с уменьшением плотности станет в этом приближении выгодным, начиная с  $r_3 = \frac{4.30}{0.238} = 5.46$ .

21. В приближении Томаса-Ферми потенциал заряда  $e$ , аккрециируется,
- $$\psi(r) = \frac{e}{r} e^{-r/r_0}, \quad \text{дебавский радиус}$$

$$r_0 = \sqrt{\frac{P_0^2}{12\pi m c^2}} = \frac{U_0}{\sqrt{3} \omega_0},$$

плазменная частота.

22. Волновая функция пары частиц с импульсами  $\vec{p}_1$  и  $\vec{p}_2$ ,
- $$\psi(\vec{v}_1, \vec{v}_2) = \frac{1}{\sqrt{V}} e^{i\vec{k}\vec{R}} \psi(\vec{v}),$$
- где  $\vec{k} = \vec{p}_1 + \vec{p}_2$  – полный импульс пары,  $\vec{R}$  – координата ее центра масс.,  $\vec{k}/2 = \vec{p}_1 - \vec{p}_2$  – относительный импульс,  $\vec{v}$  – относительная координата. Пространственная функция относительного движения может быть симметричной или антисимметричной

$$\psi_{\pm}(\vec{v}) = \frac{1}{\sqrt{2V}} (e^{i\vec{k}\vec{v}} \pm e^{-i\vec{k}\vec{v}}),$$

причем каждой из этих возможностей отвечает противоположная симметрия спиново-зарядовой функции. Учитывая число соответствующих состояний, найдем усредненную по зарядам и спинам энергию взаимодействия пары

$$\langle U_0 \rangle_{\vec{k}} = \frac{1}{V} \int d\vec{v} U_0(\vec{v}) [1 - \frac{1}{4} \cos 2\vec{k}\vec{v} + \alpha (-\frac{1}{4} + \cos 2\vec{k}\vec{v})].$$

В опасном для колапса пределе высокой плотности  $n = \frac{A}{\nu}$  для большинства пар  $k \sim k_0 = \frac{P_0}{\nu} \sim n^{-1/3}$ ,  $k_{\text{осн}}$  и быстро осциллирующим  $\cos 2\vec{k}\vec{v}$  можно пренебречь. Учитывая, что число пар  $\frac{A(A-1)}{2} = \frac{A^2}{2}$ , получим среднюю потенциальную энергию на частицу

$$\frac{E_{\text{сред}}}{A} = \frac{h}{2} \int d\vec{v} U_0(\vec{v}) (1 - \frac{\alpha}{4}),$$

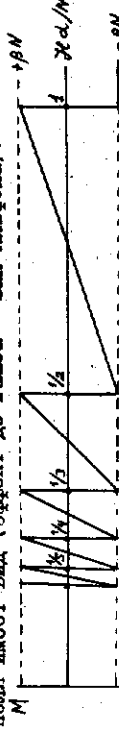
т.е.  $\alpha > 4$  – условие насыщения.

23. Если  $n_{+}(\vec{v})$  – плотность электронов с проекцией спина  $\pm \frac{1}{2}$  (на направление  $\vec{S}$ ), то поляризация

$$\mathcal{P}(\vec{v}) = n_{+}(\vec{v}) - n_{-}(\vec{v}) = \frac{2}{\pi^3 k^3} \frac{\omega_{\text{св}}^2 m q k^2}{\omega^2} \frac{j_z(2k/\vec{v} - \vec{k})}{|\vec{v} - \vec{k}|^2},$$

$j_z$  – сферическая функция Бесселя,  $\omega_{\text{св}} = p_{\phi}$  – импульс Ферми электронов. Наatty в борновском приближении истечение электронной плоской волны  $e^{i\vec{k}_x v_x} \chi_{\sigma}$  приведет, выполнив в линейном приближении по  $\mathcal{P}$  изменение электронной плотности от этого искаснения и пронитерировать по всем занятым состояниям  $k \leq k_0$ , квантованные выхр.

24. Энергия поперечного движения квантована (уровни Ландея),
- $$\varepsilon_{n,l} = (l + \frac{1}{2}) \hbar \omega_c, \quad \text{где циклотронная частота } \omega_c = \frac{eB}{m} \frac{c}{2\pi}, \quad \text{Кратность вырождения каждого уровня Ландея равна } \frac{l_{\text{осн}} + \frac{1}{2}}{l_{\text{осн}}} \equiv d, \quad \text{где } l_{\text{осн}}, l_{\text{осн}} - \text{размеры области поперечного движения. В больших полях все } N \text{ частоты на нижнем уровне } (\frac{1}{2} \hbar \omega_c \frac{N}{2}), \text{ энергия системы } E = \varepsilon_{n=0} N = \frac{1}{2} \hbar \omega_c N \equiv \beta N, \quad \beta = \frac{eB}{2mc}, \quad \text{т.е. магнитный момент } M = -\frac{e}{2\pi c} N = -\beta N. \quad \text{При уменьшении } \mathcal{M} \text{ снизующий уровень. Результатирующая зависимость намагниченности от поля имеет вид (эффект де Гааза – ван Албена).}$$



25. Волновая функция частицы при граничном условии  $\frac{\partial \psi}{\partial n} \Big|_{\text{св}} = 0$  есть

$$\psi_{nlm}(\tau, \varphi, z) = C_{nlm} J_l\left(\frac{k_{nlm}}{R} \tau\right) e^{i\varphi} \cos \frac{m\pi z}{d},$$

$C_{nlm}$  – нормировочный множитель,  $J_l$  – функция Бесселяя,  $n, l, m$  – целые числа, энергия состояния

$$\varepsilon_{nlm} = \frac{\hbar^2}{2M} \left( \frac{k_{nlm}^2}{R^2} + \frac{n^2 m^2}{d^2} \right),$$

$M$  – масса частицы, а числа  $k_{nlm}$  определяются из равенства  $J_l(k_{nlm}) = 0$ . Основное состояние газа есть конденсат (все частицы сконденсированы в  $\psi_{000} = \text{const}$ ). Вращение вокруг оси  $z$  отвествает стационарное состояние во вращающейся системе, где гамильтониан каждой частицы приобретает корольство член  $-i\ell\Omega$ , т.е.  $\psi_{nlm}$  в прежнему является решением, но их энергия теперь равна

$$\tilde{\varepsilon}_{nlm} = \varepsilon_{nlm} - \hbar \ell \Omega.$$

Уровни с  $\ell \neq 0$  последовательно становятся выгоднее основного состояния, т.е. конденсат перестраивается. Первая перестройка  $\psi_{000} \rightarrow \psi_{100}$  происходит при  $\Omega = \Omega_1 = \frac{\hbar^2}{2mr^2} k_{11}^2$  ( $k_{11} = 1.84$ ). В состоянии  $\psi_{100}$  возник ток  $j_{\varphi} = v_{\varphi} / \psi_{100}^{1/2}$ , где  $v_{\varphi} = \frac{\hbar}{mr^2}$  – вихревое поле скоростей, прикульчили  $\phi \propto k^2 = 2\pi^2 / M^2$  при конденсации в состоянии с моментом  $\ell$  прикульчили равна  $2\pi \hbar / m$  (квантованные выхр.).

### § 10. Рассеяние

- I.  $\psi(\vec{r}) \rightarrow e^{i\vec{k}\vec{r}} + f(r) \frac{\exp[i(\kappa_1 r + \kappa_2 z)]}{\sqrt{r}}$

$$\begin{aligned} e^{iE\tau} &= e^{iK_1^2 \frac{2}{\pi} \sum_{n=0}^{\infty} i^n J_n(\kappa R) e^{inx}} \\ \psi(\vec{r}) &\rightarrow \sqrt{\frac{2}{\pi K}} \sum_{n=0}^{\infty} i^n e^{inx} \cos(K_1^2 - \frac{n^2}{4} + d_0) e^{inx + iK_2^2}, \end{aligned}$$

2.  $\psi(\vec{r}) = \frac{1}{\sqrt{2\pi K}} \sum_{n=0}^{\infty} (e^{2id_0} - 1) e^{inx_0 - i\frac{n\pi}{2}}, \quad d_0 = 1/2 + \alpha/k^2.$

$$e^{2id_0} = [N_e(kR) + iJ_0(kR)] \cdot [N_e(kR) - iJ_0(kR)]^{-1}$$

при  $K \gg 1 \quad d_0 = n/\beta - \frac{1}{2}\beta^2$ , где  $\cos\beta = \frac{2}{K^2}$ .

угол рассеяния

$$\varphi_{\text{рас}} = -2 \frac{\partial^2}{\partial r^2} (d_0) \Big|_{K_2} = -2\beta.$$

$$A_{\mu} \omega = A_{\mu} \left( \frac{\pi - \varphi_{\text{рас}}}{2} \right) = \beta/k.$$

3.  $e^{2id_0} = e^{i\pi(\nu-\alpha)} \frac{N_e(kR) + iJ_0(kR)}{N_e(kR) - iJ_0(kR)},$

$$\alpha = |\nu - \Phi/k_0|; \quad \Phi_0 = 2\pi tc/e; \quad \Phi = \mathcal{H} \cdot \pi R^2.$$

4.  $d_0 = -\frac{\pi}{2} \left\{ \sqrt{(\ell + \frac{1}{2})^2 + 2m\omega/k^2} - (\ell + \frac{1}{2}) \right\} = \frac{\pi m\omega}{4\pi(2m\omega)},$

5. Изотропно во всех случаях.

7. Борн приближение, если  $\int \frac{d\sigma}{d\Omega} / |f(\theta)|^2 \rightarrow \frac{1}{\ell} f(\theta)$ , где  $f(\theta)$  — амплитуда I-го борновского приближения.

8.  $\frac{d\sigma}{d\Omega} = \left( \frac{e^2}{2m\omega k^2} \right)^2 |F(\theta)|^2 J_{\ell+1}^{-1}(\theta/2); \quad q = \frac{2m\omega}{k} J_{\ell+1}(\theta/2);$

a)  $F(\theta) = \exp(-q^2/2m\omega^2), \quad \omega = \sqrt{m\omega/k};$

b)  $F(\theta) = e^{-q^2/2m\omega^2} \exp \left[ -\frac{q^2/2m\omega^2}{e^{2m\omega k^2}-1} \right].$

При

$\hbar\omega \ll KT \quad F(\theta) \text{ не зависит от } k, \quad F(\theta) = \exp \left[ -\frac{q^2 \times T}{2m\omega k^2} \right].$

9.  $\frac{d\sigma}{d\Omega} = \left( \frac{e^2}{2m\omega k^2} \right)^2 [Z - F(\theta)]^2 J_{\ell+1}^{-1}(\theta/2);$

$q = 2k J_{\ell+1}(\theta/2); \quad F(\theta) = [1 + (99\ell/2)^2]^{-2}.$

Точность 1%.

10.  $d\sigma/d\Omega = 4x^2/\ell^2; \quad x = \mu\chi; \quad \chi = t/mc.$

II.  $d\sigma \sim 1/V_{\text{им}}(\vec{p}-\vec{k})^2 \cdot 1/f\left(\frac{\vec{p}}{2}-\vec{k}\right)^2 \cdot f^2(1/E-\varepsilon_A)$

$\vec{p}$  — импульс deutона;  $\vec{k}$  — импульс протона, величина которого определяется законом сохранения  $E - \varepsilon_A = E' - \varepsilon_A$ . Функция  $f(\vec{p})$  учитывает внутреннее движение протона в deutоне

$$f(\vec{p}) = \frac{2}{\alpha} \left( \frac{\alpha/2\pi}{1 + q^2} \right)^{1/2} (1 + q^2)^{-1}; \quad \alpha^2 = h^2/2mc^2,$$

$$\varepsilon_A = 2,2 \text{ MeV}; \quad f(\chi) = V_{\text{им}}^2 J_{\ell+1}(\chi).$$

12.  $J_{\ell+1}(\chi) = \frac{\hbar\omega}{cp}; \quad p - \text{импульс электрона; } \omega = \left( \frac{e^2}{2m\hbar^2 c^2} \right)^{1/2} / \ell \hbar \omega$

см. [3], стр. 261.

Указание: стоячую волну можно рассматривать как совокупность фотонов с импульсами  $\vec{k}$  и  $-\vec{k}$ ; рассеяние будет когерентным, если плюшеватый квант с импульсом  $\pm \vec{k}$  визуализируется с импульсом  $\mp \vec{k}$ .

Поэтому

$$\omega = \int \frac{d\sigma}{d\Omega_x} \cdot J_{\ell+1}(\chi) \cdot dN_x \cdot d\Omega_x,$$

где  $\frac{d\sigma}{d\Omega_x} = Z^2$  — сечение томсоновского рассеяния,  $J_{\ell+1} = \frac{1}{2} \frac{e^2 \hbar \omega}{k^2 \omega}$  — поток падающих квантов;  $dN_x = \frac{1}{2} \frac{C^3 V_{\text{им}} d\omega}{\pi^2 \omega^3} \delta(\omega - \omega_x)$  — число квантов в конечном состоянии.

13. Фазы ВКБ определены с точностью до членов, порядка  $(ka)^4$ ,  $a$  — радиус действия силы. Ворн применил, если  $d \ll 1$ .

Отсюда:

a)  $(ka)^{-4} \rightarrow d \ll 1.$

b) Фазы должны быть величины  $\delta_0 \approx (ka)^{-4}$  (см. 13 задачу). Отсюда:

$\delta_0 \approx (ka) \ln \left( \frac{m\omega^2}{k^2} \right).$

15. Указание: существенны прическаяные параметры  $\ell$ , для которых фазы  $d\ell \geq 1$ .

По оценке ВКБ  $d\ell \sim 1$  при  $U(r) \sim \frac{1}{r^2} - \frac{1}{r^2} \sim \alpha E$ , где  $\alpha \ll 1$  — распределенность в энергии на пролетных временах. Окончательно

$$G \sim \pi \ell^2 \sim \frac{\pi^2}{2} \ln^2 \left( \frac{2\ell}{h^2/k^2} \right).$$

16. а)  $\Delta E = \frac{K}{2} \ln\left(\frac{p}{2}\right) d\varphi/dz;$

б)  $dE = \frac{\pi d\varphi d^2}{2K} \left[ \left( \frac{K^2}{2} + C \right)^2 + \frac{p^2}{4} \right];$   $C$  - постоянная Эйлера; при  $\frac{K^2}{2} \gg 1$  ответ совпадает с классическим.

17. а)  $f_0(\theta) = \frac{4\pi K R^3}{15 k^2};$   $\theta \approx (KR)^{-1},$

б)  $f_0(\theta) = \frac{\sin \theta}{k^2 K^3 \theta^2};$   $(KR)^{-1} \ll \theta \ll 1;$

в)  $d_0 = 0;$   $\text{при } \ell + \frac{1}{2} \gg KR,$

$d_0 = -\frac{2}{3} \frac{\pi K R^2}{k^2 (KR)} \left[ 1 - \left( \frac{C + \frac{1}{2}}{KR} \right)^2 \right]^{\frac{1}{2}},$   $\ell + \frac{1}{2} \ll KR,$

амплитуда  $f(\theta) = \frac{2}{K} \int d\ell d\theta f_\ell(\theta)$  совпадает с п.а), что естественно, так как при  $K \gg k^2 K/kR$  фазы  $d_\ell \approx 1$ , и применим Борн.

18.  $d(\kappa, \beta) = -\frac{i}{2\pi V} \int dz U(p, z);$   $p = \ell/K.$

19.  $\frac{f}{\ell} = \frac{\sqrt{6}}{2\pi k_B},$   $\sigma_U$  не зависит от скорости.

21. Для кулоновской оценки  $d_0 \sim \kappa a$  не применима, см. зад. 20.

22.  $\sigma = \frac{4\pi}{K^2} \ln^2 d_0;$   $f = \frac{d_0}{2\pi} \left( e^{2id_0} - \frac{2\pi}{\kappa - ik\beta/2a} \right),$

где  $\infty = \sqrt{2mU_0/h^2} + \kappa^2 \approx \sqrt{2mU/h^2};$   $\frac{2\pi}{\kappa} = KR/\sqrt{\frac{2K}{2a} - 1}.$

При  $\frac{2\pi}{\kappa} \gg K \approx KR;$   $\sigma \rightarrow 0$  (эффект Рамзера).

уровень дискретного спектра  $|E_0| = \frac{\hbar^2 K^2}{2m}$  при  $\gg K$  определяется соотношением  $\frac{2\pi}{\kappa} \gg \kappa a = -\frac{\pi}{K},$  при  $\gg K$  определяется соотношением  $\frac{2\pi}{\kappa} \gg \kappa a = -\frac{\pi}{K},$  так что полное амплитуда рассеяния лежит на линии полуоси и соответствует уровнем дисcreteного спектра. Резонансное сечение рассеяния  $\sigma = \frac{\kappa^2}{\kappa^2 + K^2} \approx \frac{\kappa^2}{K^2}.$

Для вертуального уровня ( $-K_0 = \frac{2\pi}{K} \gg 0$ )  $f = -[\kappa \ln \kappa];$  для отклонения ( $\sigma = 4\pi K^2 / \left( \frac{2\pi}{K} - 1 \right)^2$ ; при  $\gg K \gg 1$   $\sigma = 4\pi K^2 / \left( \frac{2\pi}{K} - 1 \right)^2$  - четверть больше классического).

23.  $d_0 = \kappa a / \left( \frac{p - \frac{1}{2}}{p + \frac{1}{2}} \right);$   $p = \sqrt{\frac{1}{4} + \frac{2mU_0^2}{h^2}};$   $\sigma = 4\pi a^2 / \left( \frac{p - \frac{1}{2}}{p + \frac{1}{2}} \right)^2.$

## § 10. Рассеяние

При  $V_0 \ll \hbar^2/m a^2$   $\sigma = \frac{\pi \hbar^2}{K^2} \left( \frac{2mU_0^2}{h^2} \right)^2$  совпадает с борновским.

24. При  $1 \gg K \gg 1$   $\sigma = \frac{\pi \hbar^2}{K^2} \left( \frac{2mU_0^2}{h^2} \right)^2,$   $f = -\frac{d_0}{\kappa} \approx -\frac{d_0}{K}.$

При  $\sqrt{m} \gg \kappa \gg 1$   $\sigma = \frac{\pi \hbar^2}{K^2} \approx \frac{1}{2} \frac{d_0^2}{\kappa^2}.$  Таким образом, в области  $1 \gg \kappa \gg 1$   $\sigma$  не зависит от  $\kappa.$  Отсюда  $d = A; \sigma = \frac{A}{\kappa} = \frac{d_0}{\kappa}.$

25.  $\sigma = \frac{\pi \hbar^2}{m(\varepsilon + \epsilon)} \left| \mu_{\text{в}} \right|^2 (\beta/2).$

Сечение  $\sigma \sim \frac{\pi \hbar^2}{m\varepsilon^2} = \frac{2\pi a^2}{\varepsilon^2}$  в 36 раз больше геометрического.

26.  $\delta \sigma_u > \delta \sigma_k$  при малых углах рассеяния  $\theta = \frac{\pi}{2} \frac{\sqrt{m\varepsilon}}{E}.$  При очень больших энергиях  $\sqrt{m\varepsilon} > \delta \sigma_k$  может быть при больших углах рассеяния за счет экспоненциального убывания ядерного сечения с углом (дифракционный конус).

27.  $d_0 = d_0'' = -0,1;$  отталкивание.

28.  $\tilde{\sigma}(\Sigma^+) = \tilde{\sigma}(\Sigma^-) = -\tilde{\sigma} + 2\sqrt{(\tilde{\sigma})^2}.$

29.  $P = \frac{2 \left[ |A|^2 + \text{Re}(AB^*) \right]}{|A|^2 + 3|B|^2}.$

30.  $|\varepsilon_E| \approx 0,06 \text{ MeV.}$

31. Амплитуда рассеяния на параводороде

$\langle \hat{P} \rangle = \frac{1}{2} (P_S + 3P_K);$   $\sigma = 4\pi / \langle \hat{P} \rangle^2.$

Для реального уровня применимые цифры дают  $\sigma \approx 43 \text{ барн, для вертуального } \sigma \approx 5,7 \text{ барн, что гораздо ближе к эксперименту. Как видно, достаточно определить сечение лишь по порядку величины.}$

32.  $\frac{d\sigma}{d\theta} = \frac{f_0(\theta)/\ell^2}{(1 + \ell^2 + \frac{1}{4}(\omega/\ell)^2)^2} \cdot (1 + \ell^2 + \frac{1}{4}(\omega/\ell)^2)^2 \cdot \frac{\sin \theta}{\ell}.$

При  $\ell \gg \omega$   $\frac{d\sigma}{d\theta} \approx \frac{\sin \theta}{\ell}.$  Для определения амплитуды рассеяния лежат на линии полуоси и соответствует уровнем дисcreteного спектра. Резонансное сечение  $\sigma = \frac{\kappa^2}{\kappa^2 + K^2} \approx \frac{\kappa^2}{K^2}.$

Для вертуального уровня ( $-K_0 = \frac{2\pi}{K} \gg 0$ )  $f = -[\kappa \ln \kappa];$  для отклонения ( $\sigma = 4\pi K^2 / \left( \frac{2\pi}{K} - 1 \right)^2$ ; при  $\gg K \gg 1$   $\sigma = 4\pi K^2 / \left( \frac{2\pi}{K} - 1 \right)^2$  - четверть больше классического).

33.  $f = \frac{\hbar^2 \omega^2}{2\pi c^2} \cdot \frac{1}{q^2} < \sigma_0 \cdot \sigma_{\text{в.}} / (g \times \sigma_{\text{в.}}) / (g \times \sigma_{\text{в.}}),$

$d\sigma/d\theta = \frac{f}{2} \left( \frac{\hbar^2 \omega^2}{2\pi c^2} \right)^2.$

109

### III. Сборник задач по квантовой механике

### § 10. Рассеяние

### III.

$\mu, M$  - магнитный момент нейтрона (в единицах  $e\ell/2mc^2$ ) и его массы;

$$35. f(\theta) = -a [1 + (\kappa a)^2 \cos \theta],$$

$$(\partial f/\partial \theta)_s = |f'(\theta) + f(\pi-\theta)|^2 = 4a^2,$$

$$(\partial f/\partial \theta)_t = |f'(\theta) - f(\pi-\theta)|^2 = 4a^2/(\kappa a)^2 \cos^2 \theta.$$

$$36. \frac{d\sigma}{d\Omega} \left( \frac{1}{2}; \frac{\eta}{2} \right) : d\sigma(0, 0) = 1 : 4.$$

$$\frac{(d\sigma/d\Omega)_t}{(d\sigma/d\Omega)_s} = 2 \left( 1 + \frac{1 + \eta^2}{\eta^2} \right) : \left( \alpha \frac{5}{10} / \alpha \tau \right)^2,$$

$$37. \frac{(d\sigma/d\Omega)_s}{(d\sigma/d\Omega)_t} = \left( \frac{\omega \sin \frac{\pi \omega}{\hbar c}}{\hbar \omega} \right)^2 \left[ 1 + \left( \frac{\eta^2}{2} / 2 \right)^2 \right].$$

Если  $\eta a \ll 1$ ;  $\frac{\eta^2}{20} = \frac{i}{2} \frac{\eta \epsilon}{\hbar \omega} / \alpha \tau$  - складывается амплитуда.

Если  $\eta a \gg 1$ ;  $\frac{\eta^2}{20} = 2 \left( \frac{\eta \epsilon}{\hbar \omega} \right)^2 / \alpha \tau$  - складывается сечение.

Интерференция наблюдается, если  $\kappa a \ll 1$ ;  $\epsilon \sim 10 \text{ эВ}$ .

$$38. \frac{d\sigma}{d\Omega} = \left( \frac{\partial \sigma}{\partial \Omega} \right)_s \cdot |F(\vec{q})|^2; F(\vec{q}) = \frac{1}{N} \sum_{\vec{k}} \frac{f_{\vec{k}} e^{i(\vec{q} \cdot \vec{k} + \frac{1}{2} \phi_{\vec{k}})}}{|\vec{k}|^2 / q_{\text{max}}^2},$$

при  $N \rightarrow \infty$ ;  $F(\vec{q}) = \frac{(2\pi)^3}{V} \delta(\vec{q} - 2\pi \vec{e})$ ;  $q = 2\pi \sin \frac{\theta}{2}$ ;  $\vec{e}$  - вектор обратной решетки. Условие Вульфа-Брэгга  $\vec{q}' = 2\pi \vec{e}$ .

Ширина дифракционных максимумов  $2\theta \sim 1/\hbar L$ .

$$39. \sigma = a_1 + a_2 - 2 \frac{q_1 q_2}{\hbar^2} \quad (\text{см. Смирнов [9]}).$$

$$40. f = f_1 e^{i\vec{q}_1 \cdot \vec{R}} + f_2 e^{-i\vec{q}_2 \cdot \vec{R}} + \frac{1}{\hbar^2} e^{i\vec{q}_1 \cdot \vec{R}} \left[ f_2 (\vec{K}_1 \vec{K}_2) f_1 (\vec{K}_2 \vec{K}_1) e^{i(\vec{q}_1 \vec{K}_1 - \vec{q}_2 \vec{K}_2)} \right],$$

где  $\vec{R} = \vec{z}_1 - \vec{z}_2$ ;  $\vec{q} = \vec{K}_1 - \vec{K}_2$ ;  $K_1 = \frac{\hbar}{2\pi} (\vec{r}_1 - \vec{r}_2)$ ,  $\vec{r}_1, \vec{r}_2$  - координаты рассеивающих центров,  $\vec{K}, \vec{K}'$  - волновые вектора до и после рассеяния (см. Гольдбергер, Вексон [10], стр. 684).

41. а) конечно, б) бесконечно.

$$42. \text{а) } d\sigma = 4\pi \left( \frac{e^2}{\hbar v} \right)^2 \frac{\alpha^2}{2} \left( \frac{\hbar \omega}{mc^2} \right)^2 e^{-\frac{\hbar^2 \omega^2}{2mc^2}},$$

$$б) \sigma = \frac{(e^2 I)^2}{4 \pi c^2 \epsilon^2} \frac{1}{E^2} \frac{2^8 (1 - \epsilon^2)}{(9/4 + 9^2 \alpha_0^2)^5}.$$

$$43. \dot{\varepsilon} = \int \frac{9\pi e^4}{m v} \ln \left( E/\hbar \omega \right).$$

$$44. d\sigma_{(n=2)} = \pi \left( \frac{e^2}{\hbar v} \right)^2 \frac{\alpha^2}{9^3} \cdot \frac{2^8 (1 - \epsilon^2)}{(9/4 + 9^2 \alpha_0^2)^5};$$

$$\sum d\sigma_{(n=2, \epsilon=0)} = d\sigma_{(n=2)} \cdot \frac{(9/5)^2}{(3/4) + (9/5)^2};$$

$$45. \text{Ответ, естественно, определяется формулой Резерфорда}$$

$$d\sigma = \frac{\pi e^4}{E^2} \cdot \frac{\alpha^2}{\epsilon^2}.$$

$$46. \sigma_{on} = \frac{8\pi e^2}{(h v)^2} (dr/d\omega)^2 \cdot \frac{\hbar}{m} \frac{U_{\text{eff}}}{U - U_f}.$$

$U$  - скорость электрона после рассеяния, ось  $x$  - вдоль вектора передачи импульса  $\vec{p}$ .  
Сечение поглощения линейно поляризованного кванта с импульсом  $\vec{K} \parallel \vec{U}$ , проинтегрированное по линии поглощения

$$\frac{1}{\omega_m} \int d\omega \sigma_{on} = \frac{(2\pi)^2}{h^2 c} \left| \frac{d\sigma}{d\omega} \right|_{\omega_m} / \epsilon^2 d\omega \approx \frac{4\pi^2}{h^2 c} \omega_{\text{max}} / d\omega \approx \frac{1}{\omega_{\text{max}}}.$$

так что  $\overline{\sigma}_{on} = \frac{2\pi^2}{h^2 c} \left( \frac{\epsilon}{\omega_{\text{max}}} \right)^2 \frac{d\omega}{d\omega} \sigma_{on} \approx \frac{2\pi^2}{h^2 c} \omega_{\text{max}}$ .

47. Вероятность перехода  $M = M_0 e^{-\nu t}$ , где  $\nu = 2 - \frac{e^2}{2\hbar} (q^2/k)^2$  величина, если  $T_{\text{спл}} \ll T_{\text{пер}}$ , где  $T_{\text{спл}}$  - время перехода. Отсюда  $R_{\text{спл}}^2 \leq e^2 q^2 / h v = (v_{\text{спл}} / v) \alpha_0^2$ .  
При таких приведенных параметрах  $\overline{W} = \frac{J_{\text{спл}}(T_{\text{спл}})}{M_0} = \frac{J_{\text{спл}}(T_{\text{спл}})}{M}$ .

48.  $d\sigma = \left( \frac{h^2}{\pi} \right)^2 \frac{N \sin^2 \theta}{\epsilon^4} \frac{1}{\theta^4} \frac{1}{\theta^2} \frac{1}{\sin^2 \theta - s^2} d\Omega \quad \text{с условием}$

$\cos \theta > \frac{s}{\sqrt{1-s^2}}$ ;  $\theta$  - угол вылета фонона с импульсом  $p = \frac{2\pi}{\hbar} (1/C_0 \theta - s^2)$ .

$$49. \text{а) } \overline{\sigma} (p \rho \rightarrow \pi n) = \frac{c^2 \rho^2}{\pi^2} \sigma(pn \rightarrow \pi p),$$

$$\text{б) } \overline{\sigma} (p n \rightarrow d \gamma') = \frac{3 (1/\omega)^2}{2 \pi c^2 (h \omega - E_0)} \sigma(d \rho \rightarrow p \gamma),$$

$M$  - масса нуклона.

$$50. \text{а) } d\sigma (ep \rightarrow H Y) = \frac{(e^2 I)^2}{4 \pi c^2 \epsilon^2} \frac{1}{E^2} d\sigma_B(\epsilon); \quad m=1,$$

$$\partial \bar{\psi} / \partial t - i\gamma^j \vec{p}_j \psi = \frac{(e + \vec{I}_3)^2}{mc^2} d\bar{\psi}_p / \varepsilon; \quad m=2,$$

$\varepsilon = \hbar\omega - I$ ,  $I$  - потенциал ионизации.

$$51. \quad d\bar{\psi} / (\pi\hat{n} - e^+e^-) = \frac{1}{\sqrt{\frac{E^2 - mc^2}{E^2 - m_e^2 c^2}}} d\bar{\psi} / (e^+e^- - \pi^+\pi^-),$$

то же отношение между полными сечениями  $\delta(\vec{p}^+e^- - \pi^+\pi^-)$ :

$$d\bar{\sigma} / (\pi^+\pi^- - e^+e^-) = d\bar{\sigma} / (e^+e^- - 2I), \quad (1 - \omega_e^2 c^2 / E^2),$$

$$\int \frac{d\bar{\sigma}}{d\bar{E}} (W - e^+e^-) d\bar{E} = \sigma / W - e^+e^- = 2\bar{\sigma} / (e^+e^- - 2I) / (1 - \frac{\omega_e^2 c^2}{E^2}).$$

### § II. Уравнение Дирака

3. Указанная инвариантность приводит к сохранению электромагнитного тока.

5.  $\bar{\psi}\psi = 2mc^2$ ,  $\bar{\psi}_L\psi_L = p_L$ ,  $\bar{\psi}_R\psi_R = 0$ . В нерелятивистском приближении  $\bar{\psi}_L\psi_L \approx 2mc^2\psi_L^0$ ,  $\bar{\psi}_R\psi_R \approx (2mc^2\psi_R^0 + \vec{p}_L^2/\varepsilon + \vec{p}_R^2/\varepsilon - \beta_L\beta_R)/4$ ,  $\bar{\psi}_L\psi_R \approx \psi_L^0\psi_R^0/(\beta_L^2 - \beta_R^2)/4$ , где  $\vec{p}_L$ ,  $\vec{p}_R$  - нерелятивистические групповые единицы.

$$6. \quad \gamma_\mu p_\mu = 0, \quad \gamma_\mu \gamma_\nu p_\mu = -2\delta_{\mu\nu}, \quad \gamma_\mu \gamma_\nu \gamma_\lambda p_\mu = 4\delta_{\mu\nu}.$$

$$\gamma_\mu \gamma_\nu \gamma_\lambda \gamma_\mu = -2\delta_{\mu\nu} \delta_{\lambda\lambda}.$$

$$7. \quad \bar{\psi}_L \psi_L = 4\delta_{\mu\nu}, \quad \bar{\psi}_R \psi_R = 4(\delta_{\mu\nu} \delta_{\alpha\beta} + \delta_{\mu\alpha} \delta_{\nu\beta} - \delta_{\mu\beta} \delta_{\nu\alpha}),$$

$$\bar{\psi}_L \gamma_\mu \gamma_\nu \psi_L = 0, \quad \bar{\psi}_R \gamma_\mu \gamma_\nu \psi_R = 4i\varepsilon_{\mu\nu\alpha\beta}.$$

9.  $v_m = c\alpha_m$ . Его собственные значения  $\pm c$ .

$$10. \quad \frac{d}{dt} (\vec{p} - \frac{e}{c}\vec{A}) = e\vec{E} + e\vec{a} \times \vec{B}.$$

$$15. \quad i\hbar \frac{\partial \psi}{\partial t} = \left[ \frac{1}{2m} \left[ \vec{p}^2 - \frac{e}{c}\vec{A} \right] \right]^2 + e\phi - \frac{\rho^2}{8mc^2} +$$

$$+ \frac{e\vec{a}^2}{8mc^2} \left[ -\vec{a} \cdot \vec{div} \vec{E} + 2\vec{E} \cdot \vec{p} \times \vec{B} \right] + i\hbar \vec{a} \cdot \vec{E} \right] \psi.$$

$$16. \quad E_{ij} = -\frac{\alpha^2 mc^2}{2m^2} \left[ 1 + \frac{\alpha^2}{m^2} \left( \frac{n}{j + \frac{1}{2}} - \frac{3}{4} \right) \right].$$

где  $J$  - полный момент,  $\alpha^2 = \frac{e^2}{\hbar c} = \frac{1}{3\beta^2}$ .

$$17. \quad i\hbar \frac{\partial \psi}{\partial t} = \sqrt{\frac{1}{2m} \left[ \vec{p}^2 - \frac{e}{c}\vec{A} \right]^2 + e\phi - \frac{\rho^2}{8mc^2}} J \psi.$$

$$E_{in} = -\frac{\alpha^2 mc^2}{2m^2} \left[ 1 + \frac{\alpha^2}{m^2} \left( \frac{n}{j + \frac{1}{2}} - \frac{3}{4} \right) \right].$$

18. В атоме водорода разрешены 7 переходов, приводящих к 5 различным линиям. В случае уравнения Клейна-Гордона было бы 3 разрешенных перехода и 3 различные линии.

$$19. \text{Димб-сплит: } \delta E \sim \alpha^5 mc^2 \ln \frac{1}{\alpha}.$$

20. Аномальный магнитный момент электрона:  $\delta E \sim \alpha^5 mc^2 \left( \frac{1}{\alpha} \right)^2$ , где  $\vec{J}$  - вектор Рунге-Ленца. Сверхтонкое расщепление:  $\delta E \sim \alpha^4 mc^2 \frac{m_p}{m_e}$ , где  $m_p$  - масса протона.

Конечность размеров ядра:  $\delta E \sim \alpha^2 mc^2 \left( \frac{1}{\alpha} \right)^2$ , где  $\varepsilon_0$  - радиус ядра,  $\alpha$  - боровский радиус.

21. Нерелятивистский предел:  $\delta E \sim \vec{J} \cdot \vec{H}$ , где  $\vec{J}$  - вектор Рунге-Ленца. С существованием этого интеграла связано двукратное вырождение уровней.

22. Чисто магнитное поле  $\vec{H} = (0, 0, H)$ . Выберем вектор-势  $\vec{A} = (0, Hx, 0)$ .

$$E_{mag} = \sqrt{e\hbar c H (2n - s + l)} + p_z^2 c^2 + m^2 c^4,$$

где  $p_z$  - импульс магнитного поля,  $s = \pm 1$ ,  $n = 0, 1, 2, 3\dots$

$$\psi_{s=1} = \frac{1}{\sqrt{L_x L_z 2E(E + mc^2)}} \begin{pmatrix} (E + mc^2) v_n(E) \\ 0 \\ c p_z v_n(E) \\ i \sqrt{2e\hbar c} H n v_{n-1}(E) \end{pmatrix} e^{\frac{i}{\hbar} (p_z y + p_x z)};$$

$$\psi_{s=-1} = \frac{1}{\sqrt{2e\hbar c H (n + 1) v_{n+1}(E)}} \begin{pmatrix} 0 \\ (E + mc^2) v_n(E) \\ i \sqrt{2e\hbar c} H n v_{n-1}(E) \\ c p_z v_n(E) \end{pmatrix} e^{\frac{i}{\hbar} (p_z y + p_x z)}.$$

$$\text{Здесь } \Xi = \sqrt{\frac{e\hbar c}{\kappa c}} (x - \frac{c p_y}{e \hbar}), \quad v_n(\Xi) = e^{-\frac{\Xi^2}{2\kappa c}} K_n(\Xi) = \frac{1}{\sqrt{2\pi n!}} \frac{1}{\sqrt{2\kappa c}},$$

где  $K_n(\Xi)$  - полином Эрия. Волновые функции удовлетворяют условию нормировки  $\int da / dy \int dz / dy \psi^\dagger \psi = 1$ .

22.  $\frac{e\hbar}{2mc}(1+\alpha).$

24.  $\frac{d\sigma}{d\Omega} = \frac{\epsilon^2 \alpha^2}{4p^2 \sin^2 \frac{\theta}{2}} \left(1 - \frac{v^2}{c^2} \sin^2 \frac{\theta}{2}\right).$

25.  $\frac{d\sigma}{d\Omega} = \frac{\epsilon^2 \alpha^2}{4p^2 v^2 \sin^2 \frac{\theta}{2}}.$

## ЛИТЕРАТУРА

1. ЛАНДАУ Л.Д., ЛИФШИЦ Е.М., Квантовая механика, Москва (1963).
  2. ЛАНДАУ Л.Д., ЛИФШИЦ Е.М., Механика, Москва (1958).
  3. БЕРЕСТЕКИЙ В.Б., ЛИФШИЦ Е.М., ШАТАЕВСКИЙ Л.П., Релятивистская квантовая теория, часть I (1968).
  4. КОГАН В.И., ГАШКИН В.М., Сборник задач по квантовой механике (1956).
  5. ГОЛЬДМАН И.И., КРАВЧЕНКОВ В.Д., Сборник задач по квантовой механике (1957).
  6. ФЕРМИ Э., Избранные научные труды (1972).
  7. ДАВЫДОВ А.С., Квантовая механика (1957).
  8. ЗЕЛЕВИНСКИЙ В.Г., Конспект лекций по квантовой механике, НУУ, 1970.
  9. ОМЯРНОВ Б.М., Физика слабоонизированного газа в задачах с решениями, Наука, 1972.
  10. ГОНДБЕРГ М., ВАТСОН К., Теория стеченияний, Мир, 1967.
  11. ФЕЙНМАН Р. и др., Фейнмановские лекции по физике, Мир, 1971.
  12. БАЗЬ А.И., ЗЕЛЬДОВИЧ Я.Б., ПЕРЕЛОМОВ А.М., Рассеяние, реакции и распады в нерелятивистской квантовой механике, Наука, 1971.
- § 12. Изотопический спин. Различные превалира отбора.  
Простейшие определения в квантовой электродинамике
4. 9:25I
6. Моменты четности
7. а) нет, б) нет, в) нет.
8. а) нет, б) да, в) да.
9. а) нет, б) нет.
13. Линейные поляризации ортогональны.
14. Нет.
15. Тривиальные  $S$ -уровни смещаются вверх на расстояние  $\sim \alpha^4 mc^2$ .
16.  $\delta \sim \pi \alpha^2 \left(\frac{\hbar}{mc}\right)^2 \frac{c}{v} = \pi \hbar^2 \frac{c}{v}, t_s = \frac{e^2}{mc^2}.$
17.  $\tau_{пара} \sim \frac{\hbar}{\alpha^5 mc^2} \sim 10^{-10}$  сек.,  $\tau_{свр} \sim \frac{\hbar}{\alpha^5 mc^2} \sim 10^{-7}$  сек.
18. Вероятность перехода с излучением выше примерно на 4 порядка ( $\sim \alpha^{-2}$ ).
19. Угловое распределение  $\sim \sin^2 \theta$ , пороговая зависимость  $\sim \rho^2$ .
20.  $\frac{\partial (\rho \rightarrow e^+ e^-)}{\partial t} \sim \left(\frac{m_e}{m_p}\right)^2.$
21.  $m_p \left(-\frac{e \hbar c}{m^2 c^3}\right).$
22. Уменьшается.
23.  $\delta \sim \alpha \frac{4}{c} \pi \alpha^2 \left(\frac{1}{\alpha}\right)^2 = \pi \hbar^2 \frac{c}{\alpha^2} \alpha^4, 1 = \frac{\hbar}{mc}.$